

Univerza
v Ljubljani

Fakulteta
*za gradbeništvo
in geodezijo*



Jamova cesta 2
1000 Ljubljana, Slovenija
<http://www3.fgg.uni-lj.si/>

DRUGG – Digitalni repozitorij UL FGG
<http://drugg.fgg.uni-lj.si/>

To je izvirna različica zaključnega dela.

Prosimo, da se pri navajanju sklicujte na
bibliografske podatke, kot je navedeno:

Lebeničnik, A. 2012. Kombinirana metoda
geodetske izmere. Diplomska naloga.
Ljubljana, Univerza v Ljubljani, Fakulteta
za gradbeništvo in geodezijo. (mentor
Stopar, B., somentorja Štebe, G., Marjetič,
A.): 88 str.

University
of Ljubljana

Faculty of
*Civil and Geodetic
Engineering*



Jamova cesta 2
SI – 1000 Ljubljana, Slovenia
<http://www3.fgg.uni-lj.si/en/>

DRUGG – The Digital Repository
<http://drugg.fgg.uni-lj.si/>

This is original version of final thesis.

When citing, please refer to the publisher's
bibliographic information as follows:

Lebeničnik, A. 2012. Kombinirana metoda
geodetske izmere. B.Sc. Thesis. Ljubljana,
University of Ljubljana, Faculty of civil
and geodetic engineering. (supervisor
Stopar, B., co-supervisors Štebe, G.,
Marjetič, A.): 88 pp.



Kandidatka:

ALENKA LEBENIČNIK

KOMBINIRANA METODA GEODETSKE IZMERE

Diplomska naloga št.: 12/TUN

COMBINED METHOD OF GEODETIC SURVEY

Graduation thesis No.: 12/TUN

Mentor:
prof. dr. Bojan Stopar

Predsednik komisije:
viš. pred. mag. Samo Drobne

Somentor:
asist. Gašper Štebe

asist.dr. Aleš Marjetič

Član komisije:
viš. pred. dr. Miran Ferlan

Ljubljana, 20. 09. 2012

STRAN ZA POPRAVKE

Stran z napako

Vrstica z napako

Namesto

Naj bo

IZJAVA O AVTORSTVU

Podpisana **ALENKA LEBENIČNIK** izjavljam, da sem avtorica diplomske naloge z naslovom:
»KOMBINIRANA METODA GEODETSKE IZMERE«.

Izjavljam, da je elektronska različica v vsem enaka tiskani različici.

Izjavljam, da dovoljujem objavo elektronske različice v repozitoriju UL FGG.

Alenka Lebeničnik

Ljubljana,

BIBLIOGRAFSKO-DOKUMENTACIJSKA STRAN Z IZVLEČKOM

UDK:	528.1/.2(043.2)
Avtor:	Alenka Lebeničnik
Mentor:	prof. dr. Bojan Stopar
Somentorja:	asist. dr. Aleš Marjetič, asist. Gašper Štebe
Naslov:	KOMBINIRANA METODA GEODETSKE IZMERE
Obseg in oprema:	88 str., 25 pregl., 31 slik, 11 pril.
Ključne besede:	kombinirana metoda izmere, RTK metoda izmere, polarna metoda izmere, GNSS, natančnost določitve koordinat, transformacija, transformacijski parametri, geodetski načrt

Izvleček

Diplomska naloga obravnava kombinacijo opazovanj klasične polarne detajlne izmere in RTK metode GNSS izmere. Vsaka metoda ima prednosti in slabosti, ki jih pri kombinirani metodi izmere poskusimo čim bolje kombinirati. S kombinirano metodo izmere smo na izbranem zaključenem območju izvedli detajljno izmerno.

Detajlnim točkam smo posneli položaj dvakrat; s polarno metodo izmere in z RTK metodo GNSS izmere. Med seboj smo primerjali koordinate točk in njihove natančnosti, ki smo jih pridobili z uporabo obeh metod. Položaji točk, določeni s polarno izmero oziroma z RTK metodo GNSS izmere za identično točko, so se medsebojno razlikovali. Vzroki za odstopanja so različni, v osnovi pa so posledica različne navezave posamezne metode izmere na merski prostor in omejene natančnosti ene in druge metode. Polarna detajlna izmerna je metoda terestrične geodezije, pri kateri so opazovanja vezana na težnostno polje Zemlje, opazovanja pri RTK metodi izmere pa so vezana na referenčno plосkev rotacijskega elipsoida.

Detajlne točke so določene v koordinatnem sistemu ETRS89. Za potrebe izrisa geodetskega načrta smo jih v koordinatni sistem D48/GK transformirali z lokalnimi transformacijskimi parametri.

BIBLIOGRAPHIC-DOCUMENTALISTIC INFORMATION

UDC:	528.1/2(043.2)
Autor:	Alenka Lebeničnik
Supervisor:	prof. dr. Bojan Stopar
Cosupervisor:	assist. dr. Aleš Marjetič, assist. Gašper Štibe
Title:	COMBINED METHOD OF GEODETIC SURVEY
Scope and tools:	88 p., 25 tab., 31 fig., 11 an.
Keywords:	combined method of geodetic survey, RTK method, polar method, coordinate accuracy, local transformation parameters, surveying plan

Abstract

Graduation thesis deals with combination of observations of terrestrial polar detailed method of surveying and RTK method of GNSS surveying. Every method for itself has advantages and disadvantages. We combine both methods into combined method of geodetic surveying for better results.

On a chosen completed range we measured identical detailed points twice, with polar method and RTK method of surveying. We gained couple of coordinates of detailed points and their accuracy values. Positions of points differentiated. Causes for discrepancies are different. But basically due to different metric place in base and limited accuracies both methods. Polar method survey is method of terrestrial geodesy; observations are bound to gravitational field of Earth. Observations of RTK method are related to referential plane of rotational ellipsoid.

Detailed points are determined in coordinate system ETRS89. For plotting of surveying plan within coordinate system of D48/GK, we needed to transform detailed points with local transformation parameters.

ZAHVALA

Za pomoč pri nastajanju diplomske naloge se iskreno zahvaljujem mentorju prof. dr. Bojanu Stoparju in somentorjema asist. dr. Alešu Marjetiču in asist. Gašperju Štebetu. Hvala geodetskemu podjetju ABC Geo za pomoč pri izvajanju terenskih meritev.

Zahvala gre tudi moji družini in sošolcem, ki so mi skozi vsa leta študija nudili pomoč in podporo.

KAZALO VSEBINE

1	UVOD	1
2	KOORDINATNI SISTEMI.....	2
2.1	Referenčne ploskve aproksimacije Zemlje.....	3
2.1.1	Rotacijski elipsoid	3
2.1.2	Geoid	4
2.2	Koordinatni sistemi v Sloveniji	7
2.2.1	Star državni koordinatni sistem D48/GK	8
2.2.2	Državni koordinatni sistem ETRS89/TM.....	9
2.2.3	Državni višinski koordinatni sistem.....	10
2.2.4	Sistemi višin	11
2.3	Transformacije med koordinatnimi sistemi.....	13
2.3.1	Transformacije v trirazsežnem prostoru	14
2.3.1.1	Transformacija	15
2.3.1.2	Dani transformacijski parametri	16
2.3.1.3	Lokalni transformacijski parametri	17
3	METODE GEODETSKE IZMERE	19
3.1	Klasična terestrična metoda izmere	19
3.1.1	Polarna detajlna izmera	20
3.1.2	Višinomerstvo	25
3.1.2.1	Trigonometrično višinomerstvo	25
3.1.2.2	Geometrični nivelman	27
3.2	GNSS-metode geodetske izmere.....	28
3.2.1	Splošno o delovanju GNSS	28
3.2.1.1	Določitev položaja.....	29
3.2.1.2	Določitev relativnega položaja na podlagi faznih opazovanj	31
3.2.2	Metode geodetske GNSS izmere	32
3.2.2.1	Statična GNSS izmera	33
3.2.2.2	Hitra statična metoda GNSS izmere	34
3.2.2.3	Kinematična metoda GNSS izmere	34
3.2.2.4	Stop-and-Go GNSS-metoda izmere	34
3.2.2.5	Real Time Kinematic - RTK GNSS-metoda izmere	35
3.3	Kombinirana metoda izmere.....	38
4	GEODETSKI NAČRT	41
5	TERENSKA IZMERA	43
5.1	Metoda izmere	43
5.2	Instrumentarij	43
5.3	Območje izmere in rekognosciranje terena	45

5.4	Zasnova izmeritvene mreže in stabilizacija točk	46
5.5	Pridobitev podatkov o obstoječih trigonometričnih točkah in izmera z RTK metodo izmere	48
5.6	Zasnova poteka terenskih meritev.....	49
6	OVREDNOTENJE IZMERE	51
6.1	Izmeritvena mreža.....	52
6.2	Kombinirana detajlна izmera	57
6.2.1	Polarna detajlна izmera	57
6.2.1.1	Izračun položajnih koordinat detajlnih točk in natančnosti horizontalnih koordinat	59
6.2.1.2	Izračun višinskih koordinat detajlnih točk in natančnosti višinskih koordinat	63
6.2.2	RTK detajlна metoda GNSS-izmere	64
6.2.3	Kombinirana metoda izmere	66
6.2.3.1	Razlika horizontalnih koordinat točk določenih z RTK metodo GNSS-izmere in polarno metodo.....	66
6.2.3.2	Razlika v višini točke izmerjeni z RTK metodo GNSS-izmere in polarno metodo izmere	68
6.2.3.3	Skupni pregled razlik v horizontalnega položaja in višine točk izmerjenih z RTK metodo GNSS-izmere in polarno metodo izmere.....	69
6.2.3.4	Izračun srednjih vrednosti horizontalnega položaja in višine točk izmerjenih z RTK metodo GNSS-izmere in polarno metodo izmere.....	71
6.3	Izračun lokalnih transformacijskih parametrov.....	71
7	GEODETSKI NAČRT	82
8	ZAKLJUČEK	83
9	VIRI IN LITERATURA.....	87

KAZALO PREGLEDNIC

Preglednica 1: Tipi višin (Stopar in sod, 2012).....	12
Preglednica 2: Tehnični podatki za tahimeter TCRP1201+R1000 (Priročnik za uporabnike)	44
Preglednica 3: Koordinate trigonometričnih točk v D48/GK koordinatnem sistemu (PREG, Geodetska uprava Republike Slovenije).	48
Preglednica 4: Merjene izmeritvene točke s pripadajočimi vrednostmi standardne elipse pogreškov in standardnega odklona višine (Priloga A)	55
Preglednica 5: Vrednosti testnih statistik Ti izračunanih za opazovanja izmeritvenih točk.....	56
Preglednica 6: Opazovanja iz prostih stojišč proti izmeritvenim točkam (priloga A)	57
Preglednica 7: Koordinate in višine prostih stojišč s pripadajočimi informacijami natančnosti določitve (Priloga B1)	58
Preglednica 8: Delež detajlnih točk posnetih s posameznega stojišča (Priloga C).	59
Preglednica 9: Povprečna vrednost polosi a standardne elipse pogreškov detajlnih točk glede na prosto stojišče (Priloga C).	61
Preglednica 10: Detajlne točke opazovane s stojišča PS3, ki po vrednosti polosi a v največji meri odstopajo od povprečja (Priloga C).....	61
Preglednica 11: Detajlne točke opazovane s stojišča PS4, ki po vrednosti polosi a , v največji meri odstopajo od povprečja (Priloga C).....	62
Preglednica 12: Povprečna vrednost standardnega odklona višine detajlnih točk opazovanih s prostega stojišča (Priloga C).	63
Preglednica 13: Največja odstopanja horizontalnih koordinat detajlnih točk merjenih z RTK metodo GNSS-izmere (Priloga D)	65
Preglednica 14: Največje vrednosti standardnih odklonov višine detajlnih točk merjenih z RTK metodo GNSS-izmere (Priloga D).	66
Preglednica 15: Povprečna vrednost natančnosti določitve horizontalnih koordinat in višine d etajlnih točk opazovanih z RTK metodo GNSS-izmere (Priloga C).....	66
Preglednica 16: Največja odstopanja horizontalnih koordinat pri detajlnih točkah, merjenih z obema metodama izmere (Priloga E1).	68
Preglednica 17: Največja odstopanja po višini pri točkah merjenih z obema metodama izmere (Priloga E1).	69
Preglednica 18: Detajlne točke izmerjene z dvema metodama izmere z največjimi horizontalnimi ali višinskimi odstopanjemi (Priloga E1).....	70
Preglednica 19: Vrednosti testnih statistik Ti izračunanih za opazovanja trigonometričnih točk	72
Preglednica 20: Horizontalne koordinate in višine trigonometričnih točk s pripadajočimi natančnostmi (Priloga F1).	73

Preglednica 21: Primerjava danih in transformiranih koordinat vseh veznih točk v projekcijski ravnini končnega koordinatnega sistema D48/GK.....	74
Preglednica 22: Rezultati izračuna lokalnih transformacijskih parametrov pri kombinaciji različnih veznih točk	76
Preglednica 23: Kombinacija veznih točk z 90209, 90213 in 90223 v primerjavi z 90209.....	77
Preglednica 24: Izračun lokalnih transformacijskih parametrov z najboljšo kombinacijo veznih točk	78
Preglednica 25: Primerjava transformiranih koordinat in višin izmeritvenih točk v koordinatnem sistemu D48/GK glede na različne transformacijske parametre	80

KAZALO SLIK

Slika 1: Rotacijski elipsoid.....	3
Slika 2: Primerjava med geoidom ter globalnim in lokalnimi elipsoidi.....	3
Slika 3: Geoid in nivojske ploskve.....	5
Slika 4: Odklon navpičnice	6
Slika 5: Ploskev absolutnega geoida na območju Slovenije (Stopar in sod., 2012).....	7
Slika 6: Prostorska transformacija med koordinatnima sistemoma.	15
Slika 7: Shematski prikaz postopka 7-parametrične transformacije (Stopar in Pavlovič Prešeren, 2011).....	16
Slika 8: Prikaz merjenja zunanjega vogal (slika levo) in notranjega vogala objekta (slika desno).	21
Slika 9: Polarna detajlna izmera.....	22
Slika 10: Trigonometrično višinomerstvo.....	26
Slika 11: Direktni prenos višine pri niveliraju iz sredine.....	27
Slika 12: RTK metoda izmere (ASG-EUPOS, http://www.asgeupos.pl/index.php?wpg_type=tech_rtk).....	35
Slika 13: Omrežje stalno delujočih GNSS postaj SIGNAL (Omrežje SIGNAL, http://www.gu-signal.si).....	36
Slika 14: Sistem SmartPole	45
Slika 15: Tahimeter TCRP1201+R1000	45
Slika 16: Območje kombinirane metode izmere	46
Slika 17: Območje kombinirane metode izmere	46
Slika 18: Območje izmere in izmeritvene točke	47
Slika 19: Stabilizacija izmeritvene točke s kovinskim žebličkom	47
Slika 20: Stabilizacija izmeritvene točke z lesenim količkom	47
Slika 21: Prostorska razporeditev trigonometričnih točk (vir: Google Earth). ..	49
Slika 22: Prostorska razporeditev izmeritvenih točk in prostih stojišč glede na območje izmere (Google Zemljevidi).....	50
Slika 23: Grafično predstavljena natančnost horizontalnih koordinat in višine za prosta stojišča (Priloga B1).....	58
Slika 24: Delež detajlnih točk izmerjenih z RTK metodo GMSS-izmere glede na vrednost daljše polosi <i>a</i> standardne elipse pogreškov (Priloga C).....	64
Slika 25: Vrednosti standardnih odklonov višine detajlnih točk izmerjenih z RTK metodo izmere ...	65
Slika 26: Horizontalno odstopanje med koordinatama identične točke posnete z RTK metodo GNSS-izmere in polarno metodo izmere (Priloga E1).....	67
Slika 27: Višinsko odstopanje identične točke posnete z RTK in polarno metodo izmere (Priloga D1).....	68

Slika 28: Prostorsko prikazane detajljne točke izmerjene z obema metodama izmere, ki so imele največja odstopanja po horizontalnem položaju in višini (geodetski načrt).....	70
Slika 29: Prostorska predstavitev najugodnejših veznih točk za določitev lokalnih transformacijskih parametrov (Google Earth).....	76
Slika 30: Transformacijsko območje Gorenjska (Geodetska uprava Republike Slovenije)	79
Slika 31: Razlika v transformiranih koordinatah glede na transformacijske parametre.....	81

KAZALO PRILOG

PRILOGA A: Rezultati terenske izmere izmeritvenih točk	A1
PRILOGA B: Prosto stojišče		
PRILOGA B1: Rezultati izmere prostih stojišč	B1
PRILOGA B2: Izpis poročila določitve prostih stojišč iz programa Leica Geo Office	B1
PRILOGA C: Polarna detajlna izmera	C1
PRILOGA D: Detajlne točke RTK metode GNSS-izmere z natančnostmi	D1
PRILOGA E: Kombinirana metoda geodetske izmere		
PRILOGA E1: Primerjava natančnosti horizontalnega položaja in višine detajlnih točk izmerjenih z RTK metodo GNSS-izmere in polarno metodo izmere	E1
PRILOGA E2: Izračunane srednje vrednosti detajlnih točk in z lokalnimi transformacijskimi parametri transformirane koordinate v koordinatni sistem D48/GK	E7
PRILOGA F: 7-parametrična transformacija		
PRILOGA F1: Rezultati terenske izmere trigonometričnih točk z RTK metodo GNSS-izmere	F1
PRILOGA F2: Izračun najboljših lokalnih transformacijskih parametrov	F2
PRILOGA G: Geodetski načrt		
PRILOGA G1: Certifikat geodetskega načrta	G1
PRILOGA G2: Grafični izris geodetskega načrta	G2

OKRAJŠAVE IN SIMBOLI

GRS80	Geodetic Reference System 1980
ITRF	International Terrestrial Reference System
ETRF	European Terrestrial Reference Frame
WGS84	World Geodetic System 1984
EVRS	European Vertical Reference System
GK	Gauß-Krugerjeva kartografska projekcija
TM	Transverzalna Mercatorjeva kartografska projekcija
ETRS	Evropski terestrični referenčni sistem
GNSS	Globalni navigacijski satelitski sistemi
GPS	Global Positioning System
RTK	Real Time Kinematic, izmera v realnem času
SIGNAL	SI-Geodezija-Navigacija-Lokacija, omrežje stalno delujočih GNSS postaj v Sloveniji
VRS	Virtualna referenčna postaja
PDOP	Position Dilution Of Precision, kakovost določitve položaja
RTCM	Radio Technical Commission for Maritime service, sklop standardov za pomorsko navigacijo in satelitske tehnologije

1 UVOD

Z razvojem moderne tehnologije so se pojavile spremembe tudi v geodeziji. Vse širša je uporaba globalnih navigacijskih sistemov, ki na nekaterih območjih zagotavljajo hitrejšo in enostavnejšo geodetsko izmerno, glede na klasične terestrične metode izmene.

Glede na namen in območje izvajanja geodetskih meritev, lahko izbiramo med različnimi merskimi metodami. Ali izberemo klasične terestrične metode izmene ali pa katero izmed GNSS metod izmene, je odvisno predvsem od razmer na terenu, ki omogočajo optimalno izvedbo opazovanj z eno izmed metod. Vsaka metoda ima prednosti in slabosti, ki jih je potrebno upoštevati.

Zanimalo nas je, v kolikšni meri se skladajo položaji točk, pridobljeni s terestrično polarno detajlno izmerno in RTK metodo GNSS izmene. Z izvedbo kombinirane metode geodetske izmene bomo na izbranem območju posneli detajljne točke in jih uporabili za izris geodetskega načrtova.

Med večkratno določenimi koordinatami identnih točk bo verjetno prišlo do razlik. Metodi sta že v osnovi različni, saj je polarna metoda izmene metoda terestrične geodezije in je vezana na težnostno polje Zemlje. RTK metoda GNSS izmene je metoda satelitske geodezije, kjer se položaj določa glede na geocentrični referenčni elipsoid. Razlike bodov je pri določanju višine.

Obe metodi izmene tudi ne omogočata enake natanosti določitve položaja. Pri RTK metodi GNSS izmene je ta lahko nekoliko slabša.

Po izvedeni terenski izmerni bomo primerjali vrednosti odstopanj med paroma horizontalnih koordinat in višino identnih točk ter natanosti določitve koordinat in višine. Analizirali bomo skladnost horizontalnih koordinat in višin, določenih z obema metodama. Glede na vrednosti bomo lahko sklepali, v kakšni meri metodi zagotavljata identične rezultate položajnih koordinat in višine identnih točk.

Geodetski načrt bomo izrisali s srednjimi vrednostmi položajnih koordinat in višine detajlnih točk, ki so bile izmerjene z obema metodama, ter z ostalimi detajlnimi točkami, posnetimi samo s polarno detajlno izmerno.

2 KOORDINATNI SISTEMI

Naloge geodezije so določitev oblike in površja Zemlje ter njenega težnostnega polja; natančna določitev položaja točk z različnimi merskimi tehnikami ter zajem, modeliranje, analiza in upravljanje s prostorskimi podatki.

Ena izmed nalog geodezije je torej določitev položajev oziroma lege točk na Zemlji. To ko v koordinatnem sistemu podamo s koordinatami. Sam položaj točke privzamemo kot absolutno kolikor in, koordinate pa kot relativno, ki je odvisna od lastnosti koordinatnega sistema.

Koordinatni sistem je potrebno:

1. teoretično definirati,
2. praktično realizirati in
3. mednarodno uveljaviti, kot sistem, ki je primeren za vsakdanjo uporabo.

Teoretična zasnova zajema oblikovanje lastnosti koordinatnega sistema:

- način povezave koordinatnega sistema s telesom Zemlje,
- elemente, ki vzpostavljajo koordinatni sistem: položaj izhodišča (geocentričen, topocentričen...), razsežnost koordinatnega sistema (eno-, dvo-, tri-, štiri-razsežen koordinatni sistem) in orientacija koordinatnih osi (levo je en, desno je en),
- vrsto koordinat (kartezične, polarne, sferne, kombinirane...),
- enoto posameznih koordinat ter
- referenčne ploskev, glede na katero se nanašajo koordinate (ravnina, krogla, elipsoid...).

Referenčni sestav je praktična realizacija koordinatnega sistema in predstavlja povezavo med teoretično zasnovanim koordinatnim sistemom telesom Zemlje. Povezava se izvede preko trajno stabiliziranih geodetskih točk na zemeljskem površju, ki imajo določene koordinate v izbranem koordinatnem sistemu.

Lego točke v trirazsežnem prostoru opišemo s horizontalnim položajem točke in njenim pripadajočim višinsko komponento. Ločitev horizontalne in višinske komponente je posledica geometrije težnostnega polja Zemlje in atmosferske refrakcije, ki mnogo bolj vplivata na določitev višine kot horizontalnega položaja.

Koordinatni sistemi za podajanje horizontalnega položaja kot referenčne ploskev uporabljajo matematično neodfinirano ploskev (kroglo, rotacijski elipsoid, triosni elipsoid, ravnino kartografske

projekcije); višinske koordinatni sistem pa za višinsko referenčno ploskev uporablja fizikalno definirano ploskev (geoid, kvazigeoid).

2.1 Referenčne ploskeve in njihova približevanje Zemlje

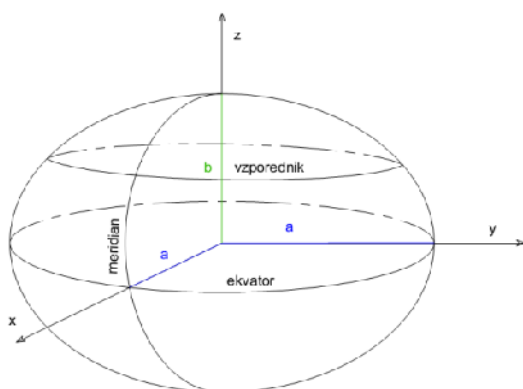
Zemlja je nebesno telo oblikovano z delovanjem sil na zemeljsko maso. Sile, ki delujeta na Zemljo, sta sila privlačnosti lastne mase in radialna sila, ki jo povzroči rotacija Zemlje okoli svoje osi. Zemlja je nepravilne oblike, zato jo opisujemo z različnimi približki: krogla, rotacijski elipsoid, geoid...

Najenostavnejša ploskev za opis Zemlje je krogla. Predstavlja najpreprostejše telo za preračunavanje različnih količin.

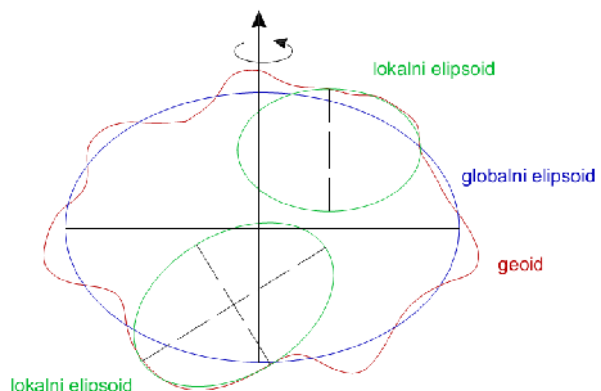
2.1.1 Rotacijski elipsoid

Drugi, boljši približek Zemlje je rotacijski elipsoid, ki je na sliki 1, ki je matematično definiran in omogoča vzpostavitev koordinatnega sistema. Nastane z rotacijo elipse okrog male polosi b . Na polih je splošen.

Del površine rotacijskega elipsoida, ki je namenjen upodobitvi površja Zemlje ali le njenega dela, imenujemo referenčni elipsoid. Glede na območje je geoida, ki ga z referenčnim elipsoidom želimo imeti bolje predstaviti, delimo referenčne elipsoide v globalne in lokalne. Globalni referenčni elipsoidi so definirani tako, da se najbolje prilegajo celotni Zemlji, lokalni pa se optimalno prilegajo manjšemu območju. Razlikujejo se po legi težišča (globalni referenčni elipsoidi ga imajo v središču Zemlje, lokalni praviloma ne), dolžini osi ter orientaciji rotacijske osi. Slika 2 predstavlja primerjavo med geoidom ter globalnim in lokalnimi elipsoidi.



Slika 1: Rotacijski elipsoid.



Slika 2: Primerjava med geoidom ter globalnim in lokalnimi elipsoidi.

Za območje Slovenije je bil definiran lokalni referenčni elipsoid Bessel. Določen je bil leta 1841 in je dolgo časa predstavljal elipsoid osnovnega državnega koordinatnega sistema Slovenije. Uporabljal se je tudi v Avstriji in Nemčiji. Parametri elipsoida Bessel so:

- $a = 6377397,155 \text{ m}$
- $f = \frac{1}{299,1528128533}$

Parameter f predstavlja prvo splošno enost elipsoida.

Najširše uporabljena globalna referenčna elipsoida sta GRS80 in WGS84. GRS80 (angl. Geodetic Reference System 1980) je elipsoid, ki se uporablja pri realizaciji dveh koordinatnih sestavov, in sicer ITRF in ETRF. Parametri elipsoida GRS80 so:

- $a = 6378137,000 \text{ m}$
- $f = \frac{1}{298,257222101}$

WGS84 (angl. World Geodetic System) je referenčna ploskev pri določanju položaja s tehnologijo GNSS. Po velikosti in obliki je precej enak elipsoidu GRS80. Razlikujeta se v položaju središča elipsoida in orientaciji osi. Parametri elipsoida WGS84 so:

- $a = 6378137,000 \text{ m}$
- $f = \frac{1}{298,257223563}$

2.1.2 Geoid

Zemljo najbolje aproksimirajo geoid. Geoid je telo, ki ga definira nivojska ploskev, ki povpada s srednjim nivojem morske gladine in se nadaljuje pod kontinenti. Je zaprta, zvezna ploskev, ki delno poteka znotraj in delno zunaj telesa Zemlje.

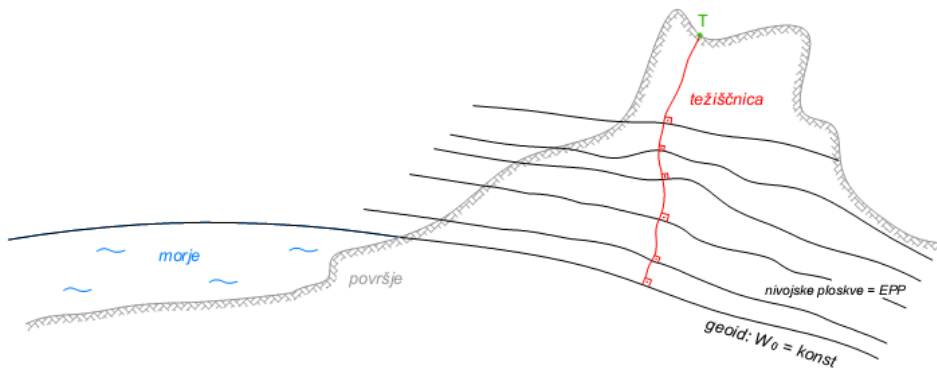
Srednji nivo morja predstavlja ničelnico ekvipotencialne ploskev, ki poteka skozi izbrano izhodiščno točko (mareograf). Nivojska ploskev je v vsaki točki pravokotna na vektor sile teže in ima konstanten težnostni potencial (Zupančič, 1991).

Geoid zapišemo kot:

$$W_0 = \text{konst.}$$

kjer je:

W_0 težnostni potencial.



Slika 3: Geoid in nivojske ploskve.

Slika 3 prikazuje potek geoida na morju in pod kontinentom ter potek težiščnice, ki je pravokotna na nivojske ploskve.

Geoid ima fizikalno osovo in je matematično težko opisljiva ploskev. Uporabljamo ga za obravnavo težnostnega polja Zemlje ter za določevanje višin, ki imajo fizikaleni pomen.

Predstavimo ga lahko z množico točk z geoidnimi višinami in odklonom navpične nice ali pa z matematičnimi izrazi (analitičnimi vrstami). Pri tem si pomagamo s primerjavo z rotacijskim elipsoidom preko relacij:

- dejansko težnostno polje – normalno težnostno polje;
- dejanska ekvipotencialna ploskev (geoid) – normalna ekvipotencialna ploskev (elipsoid);
- dejanska težiščnica – normalna težiščnica;
- navpična nica – normala.

Geoidna višina N predstavlja razliko v višini geoida glede na referenčni elipsoid. Gre za pravokotno oddaljenost geoida od elipsoida po normali. Geoidna višina je dana z izrazom:

$$N = h - H, \quad (1)$$

kjer je:

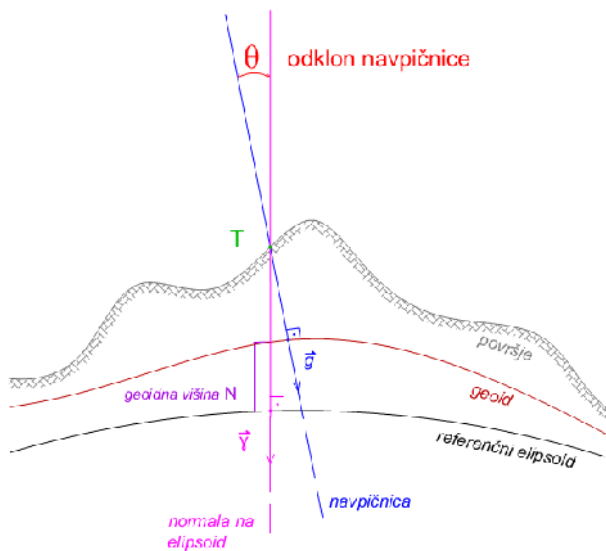
h ... elipsoidna višina,

H ... ortometrična višina.

Ena ba (1), s katero matematično opisemo geoidno višino je pomembna pri nalogah, kjer pridobimo elipsoidno višino h to H (predvsem naloge v povezavi z GNSS).

Odklon navpičnice je kot med vektorjem dejanske in normalne sile teže, geometrijsko pa je to kot med navpičnico in normalo. Smer vertikalne osi horizontiranega geodetskega instrumenta povpada s smerjo navpičnice v to ki, ki je nasprotna smeri vektorja dejanske sile teže \vec{g} . Navpičnica je pravokotna na ploskev geoida. Normala predstavlja smer, ki je nasprotna smeri vektorja normalne sile teže \vec{y} in je pravokotna na referenčni elipsoid.

Spodnja slika 4 shematsko prikazuje elipsoid, geoid, geoidno višino, navpičnico, normalo in kot θ med normalo in navpičnico.



Slika 4: Odklon navpičnice.

Odklon navpičnice je prostorski kot in ga lahko razstavimo na dve ortogonalni komponenti:

- ξ je naklon v smeri meridiana,
- η je naklon v smeri prvega vertikala.

Komponenti odklona navpičnice dobimo s povezavo astronomskih geografskih koordinat v toki, astronomski širine ϕ in astronomski dolžine λ , z geodetskimi oziroma geografskimi koordinatami, geodetsko širino φ in geodetsko dolžino λ . Zveza je dana z enačbo:

$$\xi = -\varphi, \quad (2)$$

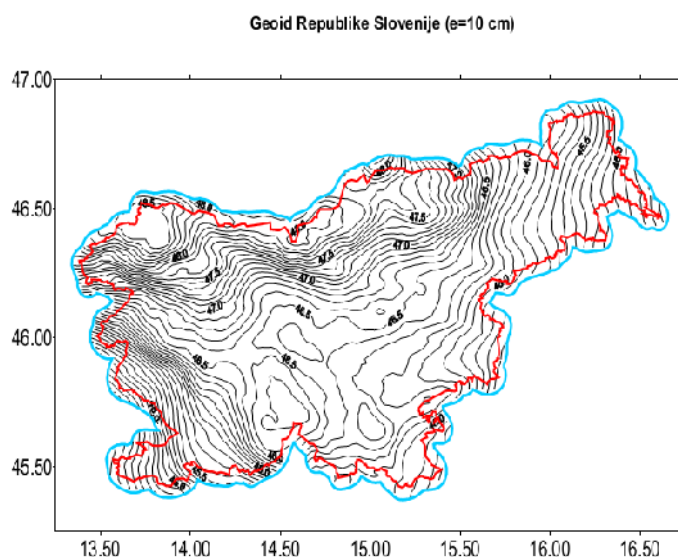
$$\eta = (-\lambda) \cdot \cos \varphi. \quad (3)$$

V Sloveniji uporabljamo model geoida, ki je bil določen leta 2000, in je uporaben z izmero GNSS. Določen je bil z uporabo opazovanih odklonov navpičnice in geoidnih višin, dobljenih iz različnih GPS višin in višin preciznega nivelmana. Predstavlja ga gridna mreža.

Gre za absolutni geoid, izračunan glede na referenčni elipsoid GRS80. Izračunan je po metodi najmanjših kvadratov s tehniko »remove – restore« s pomočjo kolokacije. V izračunu ploskve geoida za območje Slovenije je bilo vključenih 98 točk z izmerjenimi odkloni navpičnice, 155 GPS/niveliranih točk in 4605 točk kastih anomalij težnosti (Digitalni model geoida Slovenije, 2012).

Model geoida Slovenije, prikazan na sliki 5, omogoča izračun (interpolacijo) geoidne višine v poljubnem točki znotraj območja modela geoida: $45^{\circ}15' < \varphi < 47^{\circ}00'$ ter $13^{\circ}15' < \lambda < 16^{\circ}45'$.

Natanost pridobljenih izračunanih geoidnih višin je v povprečju ± 3 cm, lahko pa je tudi višja na območju jih, kjer je bilo število točk z znanimi geoidnimi višinami večje.



Slika 5: Ploskev absolutnega geoida na območju Slovenije (Stopar in sod., 2012).

2.2 Koordinatni sistemi v Sloveniji

Države imajo za svoja državna ozemlja vzpostavljene državne koordinatne sisteme, ki so v tem primeru rezultat znanstvenega in tehnološkega stanja v tem času njihove vzpostavitev. Državni koordinatni sistem definirajo:

- geometrijski in fizikalni parametri, ki opisujejo Zemljo kot planet (geodetski referenčni sistem) ter
- datumski parametri (geodetski datum).

Prostorski koordinatni sistem tvorijo geometrijske in fizikalne komponente. Zato ločeno obravnavamo horizontalni in višinski koordinatni sistem.

V Sloveniji je bil do leta 2008 državni koordinatni sistem D48/GK, ki velja za lokalni koordinatni sistem. S 1.1.2008 pa je Geodetska uprava Republike Slovenije sprijemila odločitev o uvedbi novega državnega pravokotnega koordinatnega sistema ETRS89/TM, ki je del enotnega evropskega prostorskega referenčnega sistema. Še vedno pa je v uporabi tudi star koordinatni sistem D48/GK.

Višinski državni koordinatni sistem v Sloveniji predstavlja Višinska temeljna geodetska mreža Slovenije, ki jo podajajo višine reperjev v normalnem ortometričnem sistemu višin.

2.2.1 Star državni koordinatni sistem D48/GK

Na območju Slovenije je razvita državna trigonometrična mreža, katere točke imajo določene položajne koordinate (y, x) v koordinatnem sistemu D48/GK.

D48/GK koordinatni sistem je ravninski koordinatni sistem z geodetskim datumom 1948 ter definiran s pomočjo Gauß-Krügerjeve kartografske projekcije. Referenčna ploskev je lokalno orientirana na Besselov elipsoid iz leta 1841.

Lastnosti Gauß-Krügerjeve kartografske projekcije so:

- drugo ime za projekcijo je transverzalna Mercatorjeva projekcija,
- je projekcija površja Zemlje na eliptični valj, ki se razvije v ravnino,
- je konformna projekcija, torej brez deformacij kotov,
- os valja leži v ravnini ekvatorja, ki predstavlja za etni vzporednik,
- za etni meridijan poteka skozi Greenwich ($\lambda_0 = 0^\circ$),
- širina cone je 3° ,
- modulacija merila vzdolž srednjegameridijana je 0,9999.

Znaš ilnosti horizontalnega koordinatnega sistema D48/GK:

- izhodišče koordinatnega sistema je presečiščo med glavnim meridijanom $\lambda_0 = 15^\circ$ in ekvatorjem $\varphi_0 = 0^\circ$,
- koordinatni osi y in x sta med seboj pravokotni:
 - os y predstavlja projekcijo ekvatorja na projekcijsko ravnino, njena pozitivna smer kaže v smeri vzhoda,
 - os x predstavlja projekcijo dotikalnega meridijana na projekcijsko ravnino, njena pozitivna smer kaže v smeri severa,
- horizontalni položaj točke podajata koordinati (y, x):
 - y -koordinata predstavlja oddaljenost točke od glavnega meridijana,
 - x -koordinata predstavlja oddaljenost točke od ekvatorja,

- pomik izhodišča koordinatnega sistema proti severu je -5000000 m in pomik proti vzhodu je 500000 m,
- modulacija merila je 0,9999,
- v prvotni obliki sta imeli koordinati Gauß-Krügerjeve kartografske projekcije prvo števko enako 5; pri y-koordinati je 5 pomenila 5. cono, pri x-koordinati pa za to ke v Sloveniji velja, da so toliko oddaljene od ekvatorja (5000000 m). Pred leti so koordinatamay in x zaradi krajšega zapisa prenehali zapisovati številko 5.

2.2.2 Državni koordinatni sistem ETRS89/TM

S 1.1.2008 je v Sloveniji poleg prej obstoječega v uporabi tudi nov državni horizontalni koordinatni sistem, ki ga uvaja Zakon o evidentiranju nepremičnin v 3. odstavku 139.lena (ZEN, Uradni list Republike Slovenije, št. 47/2006 in 65/07 – odl. US):»Eno leto po vzpostavitvi omrežja stalnih postaj GNSS na območju Republike Slovenije, najpozneje pa do 1. januarja 2008, morajo biti vse spremembe in koordinate novih zemljiškokatastrskih točk določene v koordinatnem sistemu ETRS89/TM.«

ETRS (ang. European Terrestrial Reference System) je evropski terestrični referenčni sistem, realiziran leta 1989. Referenčni ploskev je geocentrični elipsoid GRS80. V Sloveniji je v okviru ETRS89 določena tudi kartografska projekcija in sicer transverzalna Mercatorjeva projekcija.

Zna ilnosti slovenskega horizontalnega koordinatnega sistema ETRS89/TM:

- izhodiščko koordinatnega sistema je presečiščo glavnega meridijana $\lambda_0 = 15^\circ$ in ekvatorja $\varphi_0 = 0^\circ$,
- koordinatni osi n in e sta med seboj pravokotni:
 - os e predstavlja projekcijo ekvatorja na projekcijsko ravnino, njena pozitivna smer kaže v smeri vzhoda,
 - os n predstavlja projekcijo dotikalnega meridijana na projekcijsko ravnino, njena pozitivna smer kaže v smeri severa,
- horizontalni položaj točke podajata koordinati (E, N):
 - koordinata E predstavlja oddaljenost točke od glavnega meridijana,
 - koordinata N predstavlja oddaljenost točke od ekvatorja,
- pomik proti severu je -5000000 m in pomik proti vzhodu je 500000 m,
- modulacija merila je 0,9999.

2.2.3 Državni višinski koordinatni sistem

Temeljna geodetska višinska mreža Republike Slovenije je podana z višinami reperjev v normalnem ortometričnem sistemu višin. Višine vseh reperjev so izračunate v vertikalnem datumu Trst. Vertikalni datum predstavlja srednji nivo morja, ki je bil določen leta 1875 na osnovi enoletnih mareografskih opazovanj na pomolu Sartorio v Trstu.

Nivelmanska mreža Republike Slovenije je navezana na avstroogrskifundamentalni reper številka No 394 (FR 1049), ki je stabiliziran pod Pohorjem v bližini Ruš (Stopar in sod., 2012).

V letih 1999 in 2000 se je izvedel končni preračun višinske mreže na območju Slovenije. Vsi reperji imajo izračuno normalno ortometrično višino v vertikalnem datumu Trst. Osnovna mreža za preračun je sestavljena iz sedmih nivelmanskih zank, ki vključujejo poligone iz II. NVM, poligonov 1. reda izmerjenih po letu 1980 in nivelmanskega vlaka 1-5 (Postojna-Rupa-Reka).

Za sistem normalnih ortometričnih višin v splošnem ne obstaja geometrijska izhodiščna ploskev. Referenčna ploskev predstavlja ničelnica nivojska ploskev, ki jo geometrijsko določa položaj vseh točk, ki so določene v normalnih ortometričnih višinah na ozemlju Slovenije. Ploskve se ne da strogoanalitično izračunati. Normalne ortometrične višine so metrične višine, ki pa nimajo enolično podano višino in nimajo geometrijskega pomena. Preko matematičnih izrazov lahko vzpostavimo povezavo z elipsoidnimi višinami.

Pri izračunu normalnih ortometričnih višin so v preteklosti zaradi zapletenih in dolgotrajnih meritev težnosti v izrazu za geopotencialno koto, ki predstavlja osnovo za določitev višin, namesto dejanske težnosti g uporabili srednjo vrednost normalne težnosti \bar{y}_i .

Metrične višine so dobili z izrazom:

$$H_i^{NO} = \frac{c_i^N}{\bar{y}_i}. \quad (4)$$

V praksi višinsko razliko v sistemu normalnih ortometričnih višin izračunamo tako, da merjeno višinsko razliko popravimo za normalni ortometrični popravek NOP_{ij} , za izračun katerega v Sloveniji uporabljamo izraz (Stopar, B. in sod., 2012):

$$NOP_{ij} = -0,000025685 \cdot H_S \Delta \varphi, \quad (5)$$

kjer je:

H_S ... srednja normalna ortometri na višina točk i in j v metrih,

$\Delta\varphi$... razlika geografskih širin točk i in j v ločnih sekundah,

NOP_{ij} ... normalni ortometri ni popravek v milimetrih.

Za poenotenje višinskih sistemov v Evropi je, podobno kot je bil namen vzpostavitev koordinatnega sistema ETRS, definiran evropski višinski referenčni sistem EVRS (ang. European Vertical Reference System), ki je fizikalno definiran in temelji na težnosti. Višinski sistem je definiran na osnovi geopotencialnih kot in omogoča izračun normalnih višin. EVRS je definiran z višinskim datumom EVD, ki ga definira vrednost težnostnega potenciala ekvipotencialne ploskve mareografa v Amsterdamu.

Z analizami obstoječe nivelmanske mreže je bilo ugotovljeno, da iz obstoječih podatkov ni smiselnno izvesti realizacije novega višinskega sistema, saj je oblika nivelmanske mreže Slovenije neustrezna, vsebuje pomanjkljive podatke in dokaj velike spremembe višin točk preko slovenskega ozemlja. Z ustreznim sodobno izmerjenim geometričnim nivelmanom in ustreznim gravimetrijom nimi opazovanji bodo v prihodnjih letih lahko uvedli enotni evropski višinski sistem (Stoparin sod., 2007).

2.2.4 Sistemi višin

Pri višinomerstvu se je potrebno zavedati, da se merske operacije izvajajo v težostnem polju Zemlje in so rezultati teh meritev obremenjeni z geometrijo težostnega polja Zemlje. Poznavanje geometrijskih lastnosti težostnega polja nam omogoča gravimetrijo, ki zagotavlja podatke o velikosti težnega pospeška.

Gravimetri na mreži skupaj z geometričnimi nivelmanom omogočajo določitev višin v težostnem polju Zemlje s klasičnimi geodetskimi metodami izmere ali s pomočjo GNSS metod izmere.

Nivelirane višinske razlike ne dajo enolično določene višinske razlike, ampak so odvisne od poti niveleranja, zato niso primerne za določitev višin točk. Za pridobitev enolične vrednosti višine je potrebno pretvoriti rezultate terenske izmere in izračuna višine točke, ki so odvisni od poti niveleranja v rezultate, ki so od poti določitev višine neodvisni.

Osnovo vsem sistemom višin predstavlja geopotencialna kota C_i , izračunana z enačbo (6), ki je definirana kot negativna razlika potencialov v točki in na geoidu.

$$C_i = -(W_i - W_0). \quad (6)$$

Praktično se razlika geopotencialnih kot ΔC_{ij} med dvema točkama T_i in T_j izračuna po ena bi:

$$\Delta C_{ij} = \sum_{k=1}^j \bar{g}_k \delta l_k, \quad (7)$$

kjer je:

$\bar{g}_k = \frac{g_{k-1} + g_k}{2}$... povprečna vrednost težnosti med točkama T_{k-1} in T_k ,

g_k ... opazovana vrednost težnosti v točki T_k ,

δl_k ... opazovana višinska razlika med točkama T_{k-1} in T_k .

Na osnovi znane geopotencialne kote lahko pridobimo razlike tipe višin preko izraza:

$$H = \frac{c}{g}. \quad (8)$$

Tip višine je odvisen samo od izbrane vrednosti težnosti:

- dinamična višina H^D : konstantna referenčna težnost g_R ,
- ortometrična višina H^O : srednja vrednost dejanske težnosti vzdolž težišnice \bar{g}'_i ,
- normalna višina H^N : srednja vrednost normalne težnosti \bar{g}'_i .

Preglednica 1 povzema glavne značilnosti posameznih tipov višin.

Preglednica 1: Tipi višin (Stopar in sod, 2012)

	Dinamične višine H^D	Ortometrične višine H^O	Normalne višine H^N
Osnovna ploskev	geoid	geoid	kvazigeoid
Višina neodvisna od predpostavk	Da	Ne Obstaja več približnih izrazov za določitev \bar{g}'_i .	Da
Popravki merjenih višinskih razlik	- Nivelirani višinski razliki prištejemo dinamični popravek DP. - DP lahko dokaj velik (do nekaj metrov).	- Nivelirani višinski razliki prištejemo ortometrični popravek OP. - DP dokaj majhen (do nekaj decimetrov)	- Nivelirani višinski razliki prištejemo normalni popravek NP. - NP dokaj majhen (do nekaj decimetrov)
To ke z isto višino na isti nivojski ploskvi	Da To ke z enakimi dinamičnimi višinami so na isti ekvipotencialni ploskvi.	Ne Ne zagotavljajo enakih vrednosti višin točk na isti ekvipotencialni ploskvi.	Ne Osnovna ploskev je matematično definirana in ne fizikalno.

Se nadaljuje ...

... nadaljevanje Preglednice 1.

	Dinamične višine H^D	Ortometrične višine H^O	Normalne višine H^N
<i>Geometri na razlaga višine</i>	Ne	Da Dolžina vzdolž težišnice med geoidom in točko na površju.	Da Dolžina vzdolž normale med točko na površju in kvazigeoidom.
<i>Uporaba</i>	Uporabne v vseh nalogah, kjer je potrebno fizikalno poznavanje okolja, npr. hidronaloge.	Uporabne v večini praktičnih nalog.	Vignalove višine so normalne višine v novem državnem višinskem koordinatnem sistemu.
<i>Problem</i>	Pomanjkanje podatkov o težnosti za pridobitev ustreznih popravkov geometrijsko pridobljenih višinskih razlik.		

2.3 Transformacije med koordinatnimi sistemami

Večkrat se srečamo s problemom, ko imamo podatke o točkah v različnih koordinatnih sistemih. Za neposredno primerjavo podatkov je tako potrebno koordinate preraunati oz. transformirati v isti koordinatni sistem. Mednarodni standard ISO19111 v poglavju Lociranje s koordinatami (ang. Spatialreferencingbycoordinates) definira pomen transformacije kot preraunava koordinat med dvema koordinatnima sistemoma, ki se nanašata na dva različna datuma.

Obstaja več tipov transformacij. Ti se med seboj razlikujejo v lastnostih transformacijskega modela in v številu transformacijskih parametrov. Transformacija koordinat je lahko linearna ali pa nelinearna, lahko nastopi v dvorazsežnem, trirazsežnem prostoru oziroma v n-razsežnem koordinatnem sistemu.

V splošnem predstavlja pretvorba iz enega v drug koordinatni sistem linearno transformacijo vektorja \mathbf{x} v vektor \mathbf{y} v obliki enačbe:

$$\mathbf{y} = \mathbf{M}\mathbf{x} + \mathbf{t}, \quad (9)$$

kjer je:

\mathbf{M} ... transformacijska matrika,

\mathbf{t} ... vektor premika – translacija.

Transformacija med prostorskimi pravokotnimi koordinatnimi sistemi se v splošnem poenostavi z uporabo rotacijskih in refleksijskih matrik.

Najpogosteje uporabljeni transformaciji je podobnostna transformacija. Njene lastnosti so:

- merilo je enako v vseh smereh,
- je konformna - ohranja oblike,
- dolžine linij in položaji točk v mreži se lahko spremenijo,
- uporabljamo jo pod predpostavko, da v koordinatnih sistemih ni sistematičnih deformacij,
- odstranjuje lokalne deformacije merila in orientacije.

V dvorazsežnem prostoru je definirana s štirimi transformacijskimi parametri:

- 2 premika izhodišča koordinatnega sistema glede na drugega,
- kot zasuka koordinatnih osi koordinatnega sistema glede na drugega,
- sprememba merila pri prehodu iz enega v drug koordinatni sistem.

V trirazsežnem prostoru je definirana na osnovi sedmih transformacijskih parametrov:

- 3 premiki izhodišča koordinatnega sistema glede na drugega,
- 3 zasuki koordinatnih osi koordinatnega sistema glede na drugega,
- sprememba merila pri prehodu iz enega v drug koordinatni sistem.

Koordinatna sistema se torej razlikujeta po položaju, orientaciji in enoti merila.

Podobnostna transformacija se lahko izvede z različnimi modeli:

- matematični model podobnostne transformacije,
- model Bursa-Wolf,
- model Molodensky-Badekas,
- standardni model Molodensky.

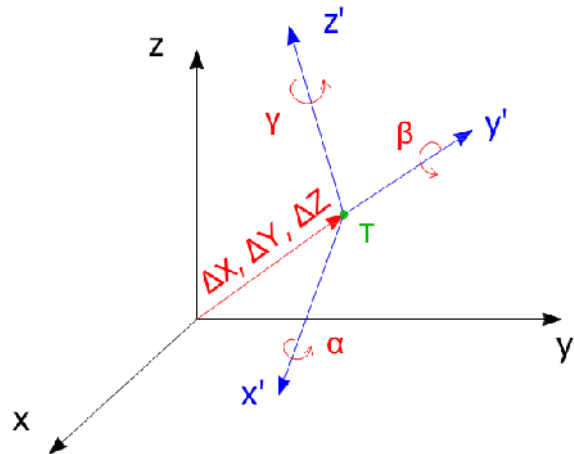
2.3.1 Transformacije v trirazsežnem prostoru

Najobičajnejša transformacija koordinatnih sistemov v geodeziji je 7-parametrična transformacija. V veliko primerih se izkaže kot idealno orodje, v drugih pa lahko zabriše določena dejstva o koordinatnih sistemih, predvsem o posameznih (nehomogenih) delih koordinatnih sistemov. Če uporabimo 7-parametrično transformacijo za veliko območje (mrežo), lahko izgubimo del informacije o lokalnih spremembah merila in orientacije posameznih delov območja (mreže) (Kuhar in Stopar, 2001).

Parametri 7-parametrične transformacije so:

- 3 premiki: X , Y , Z ,
- 3 zasuki: (okrog osi x), (okrog osi y), (okrog osi z) ter
- sprememba merila: m .

7-parametrična podobnostna transformacija najpogosteje uporabljamo tudi za transformacijo koordinat iz koordinatnega sistema D48/GK v koordinatni sistem ETS89/TM in obratno. Pri tem potrebujemo vrednosti sedmih transformacijskih parametrov. Imamo več možnosti. Lahko uporabimo dane (predhodno določene) transformacijske parametre ali pa jih izračunamo sami.



Slika 6: Prostorska transformacija med koordinatnima sistemoma.

Prostorsko transformacijo med koordinatnima sistemoma X in X' s transformacijskimi parametri prikazuje slika 6.

2.3.1.1 Transformacija

Vhodne podatke za transformacijo koordinat točk predstavljajo prostorske pravokotne koordinate točk (X, Y, Z). Koordinatam točk, ki so podane z geografskimi (λ, ϕ) ali horizontalnimi (GK ali TM) koordinatami, je potrebno dodati višino točke, da zagotovimo pretvorbo v prostorske pravokotne koordinate. Višina točke je lahko ortometrična višina H ali elipsoidna višina h (Kozmus Trajkovski in Stopar, 2012).

V primeru transformacije, kjer se višinski sistem izhodič nega koordinatnega sistema razlikuje od višinskega sistema kontra nega koordinatnega sistema, npr. elipsoidna in nadmorska višina, je potrebno vzpostaviti povezavo med obema sistemoma preko preoblikovanja enačbe (1) v obliko:

$$h = H + N.$$

Transformacija iz GRS80 na Besselov elipsoid poteka preko 7-parametrične transformacije. To kam izračunamo transformirane koordinate z osnovno eno bo (10) 7-parametrične transformacije:

$$\begin{bmatrix} X_{Bessel} \\ Y_{Bessel} \\ Z_{Bessel} \end{bmatrix} = \begin{bmatrix} \Delta X \\ \Delta Y \\ \Delta Z \end{bmatrix} + (1 + m) \cdot \mathbf{R} \cdot \begin{bmatrix} X_{GRS80} \\ Y_{GRS80} \\ Z_{GRS80} \end{bmatrix}. \quad (10)$$

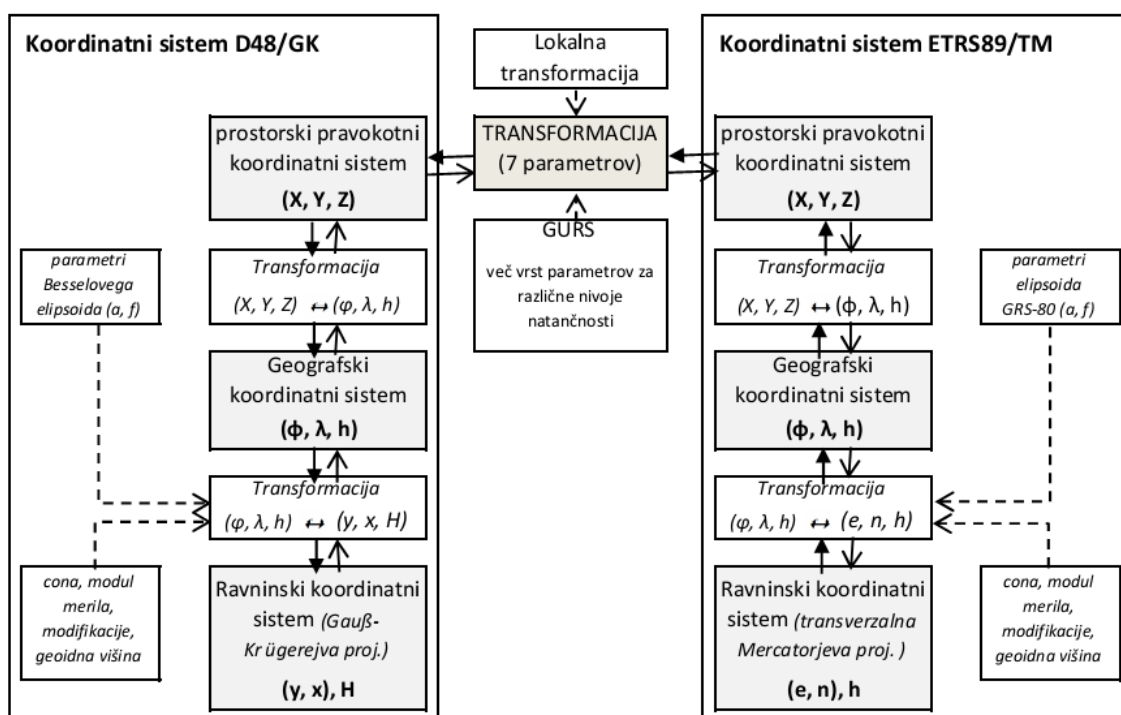
Kjer so $\Delta X, \Delta Y, \Delta Z$ parametri premika in m sprememba merila. \mathbf{R} je ortogonalna rotacijska matrika, za katero velja $\mathbf{RR}^T = \mathbf{I}$, in je predstavljena s tremi zaporednimi zasuki okrog osi x , osi y in osi z .

Splošna oblika Cardanijeve ortogonalne rotacijske matrike \mathbf{R} je predstavljena z izrazom:

$$\mathbf{R} = \mathbf{R}(\alpha, \beta, \gamma) =$$

$$\begin{vmatrix} \cos \beta \cos \gamma & \cos \alpha \sin \gamma + \sin \alpha \sin \beta \cos \gamma & \sin \alpha \sin \gamma - \cos \alpha \sin \beta \cos \gamma \\ -\cos \beta \sin \gamma & \cos \alpha \cos \gamma - \sin \alpha \sin \beta \sin \gamma & \sin \alpha \cos \gamma + \cos \alpha \sin \beta \sin \gamma \\ \sin \beta & -\sin \alpha \cos \beta & \cos \alpha \cos \beta \end{vmatrix}. \quad (11)$$

Rezultat 7-parametri ne podobnostne transformacije so transformirane koordinate to k v izbranem koordinatnem sistemu.



Slika 7: Shematski prikaz postopka 7-parametri ne transformacije (Stopar in Pavlovič Prešeren, 2011).

Slika 7 prikazuje shematski potek 7-parametri ne transformacije iz koordinatnega sistema D48/GK v koordinatni sistem ETRS89/TM oziroma v obratni smeri, z vmesnimi pretvorbami koordinat in potrebnimi vhodnimi podatki.

2.3.1.2 Dani transformacijski parametri

Dane transformacijske parametre za 7-parametri ne podobnostno prostorsko transformacijo podaja Geodetska uprava Republike Slovenije. Za območje Slovenije so parametri razdeljeni v tri skupine, ki se med seboj ločijo po nivoju točnosti transformiranih koordinat.

Parametri so dani za celotno državno ozemlje, ki ima nivo natanosti transformacije okoli 1 metra. Transformacijski parametri za 3 pokrajine imajo nivo natanosti transformacije okoli 50 centimetrov. Parametri za 7 regij imajo nivo natanosti transformacije okoli 30 centimetrov (Zbirke prostorskih podatkov, 2012).

2.3.1.3 Lokalni transformacijski parametri

Lokalne transformacijske parametre, za potrebe 7-parametrične transformacije, izračunamo iz vsaj treh veznih točk, ki imajo dane koordinate v obeh koordinatnih sistemih. Z danimi koordinatami treh veznih točk, pri katerih imata dve točki dani vse tri koordinate in ena točka ima dano višino, lahko oblikujemo sedem enačb za enolično rešitev sedmih neznank (sedmih transformacijskih parametrov).

Priporočljivo je, da vezne točke za izračun lokalnih transformacijskih parametrov obdajajo območje, ki jih želimo transformirati, ter so enakomerno razporejene, tako da pokrijejo celotno območje izmere. Izberemo jih lahko iz seznama ETRS točk primernih za transformacijo, ki jih vodi Geodetska uprava Republike Slovenije, ki vsebuje kakovostno določeno točko v obeh koordinatnih sistemih (Tehnično navodilo za uporabo novega koordinatnega sistema ..., 2007).

Izračun lokalnih transformacijskih parametrov poteka po postopku:

1. pridobitev podatkov o ustreznih veznih točkah (koordinate v obeh koordinatnih sistemih),
2. zapis matematične zvezne med koordinatami v obeh koordinatnih sistemih in parametri transformacije z eno bo 7-parametrične podobnostne transformacije v obliki enačb opazovanj splošnega modela izravnave,
3. določitev vrednosti transformacijskih parametrov v postopku izravnave po metodi najmanjših kvadratov.

Izračunati želimo vrednosti sedmih transformacijskih parametrov: $X, Y, Z, \alpha, \beta, \gamma, m$.

Dane imamo koordinate treh veznih točk z vsemi tremi koordinatami v obeh koordinatnih sistemih:

$A(X_{Bessel}^A, Y_{Bessel}^A, Z_{Bessel}^A)$, $B(X_{Bessel}^B, Y_{Bessel}^B, Z_{Bessel}^B)$, $C(X_{Bessel}^C, Y_{Bessel}^C, Z_{Bessel}^C)$ ter $A(X_{GRS80}^A, Y_{GRS80}^A, Z_{GRS80}^A)$, $B(X_{GRS80}^B, Y_{GRS80}^B, Z_{GRS80}^B)$, $C(X_{GRS80}^C, Y_{GRS80}^C, Z_{GRS80}^C)$.

Za vsako vezno točko oblikujemo enačbo (12) po vzoru splošne enebe (10) 7-parametrične transformacije:

$$\mathbf{y} = \mathbf{m} \cdot \mathbf{R} \cdot \mathbf{x} + \mathbf{t}, \quad (12)$$

kjer je:

y... vektor koordinat vezne točke v konkretnem koordinatnem sistemu,

x... vektor koordinat vezne točke v zatem koordinatnem sistemu,

t... vektor translacije izhodišča koordinatnega sistema,

R... skupna rotacijska matrika, ena na (8),

m... merilo.

V primeru treh danih točk z vsemi tremi koordinatami v obeh koordinatnih sistemih, pridobimo 9 enačb za rešitev sedmih neznank. Vrednosti parametrov določamo z izravnavo po metodi najmanjših kvadratov. Za izravnavo transformacije je primeren splošni model izravnave, ki omogoča skupno obravnavo opazovanj in neznank. Koordinate veznih točk obravnavamo kot opazovanja s pripadajočimi natanostjo, neznanke so transformacijski parametri.

Pridobimo vrednosti treh zasukov, treh premikov, sprememb merilain pripadajočimi natanostmi.

Pri vrednotenju kakovosti izračuna transformacijskih parametrov uporabimo:

- odstopanja med danimi in transformiranimi koordinatami veznih točk (točke, ki smo jih uporabili za izračun transformacijskih parametrov),
- vrednost referenčne variance a-posteriori za nastavljen model izravnave po metodi najmanjših kvadratov v procesu izračuna transformacijskih parametrov,
- vrednost neznank (transformacijskih parametrov),
- variančni nökovariančni matriko vektorja neznank in vektorja popravkov ter
- če je mogoče, koordinate kontrolnih točk (točke, ki niso bile vključene v izračun transformacijskih parametrov, imajo pa koordinate določene v obeh koordinatnih sistemih).

Pri vrednotenju kakovosti rezultatov transformacije moramo upoštevati, da so ti odvisni od privzetih natanost koordinat točk v obeh koordinatnih sistemih.

Pri izračunu transformacijskih parametrov je priporočljivo uporabiti nadštevilna opazovanja (več kot tri vezne točke), saj napaka pri transformaciji vodi v uporabo podatkov z napačnim položajem v koordinatnem sistemu v katerega smo podatke transformirali (Stopar in Pavlovič Prešeren, 2011).

3 METODE GEODETSKE IZMERE

Ena izmed osnovnih nalog geodezije je natančna določitev položaja točk z različnimi merskimi tehnikami. To nam omogoča različne metode izmere.

Na zemeljski površini s klasificiranimi in GNSS-metodami geodetske izmere vzpostavimo geodetske mreže, ki tvorijo izhodišče – koordinatno osnovo izmere. Z detajlno izmero iz geodetske mreže zajamemo numerične podatke oblike zemeljskega površja in objektov v trirazsežnem merskem prostoru. Tako združimo koordinatni in merski prostor. Tako pridobljene točke z določenimi koordinatami, lahko predstavimo na različne načine, najpogosteje pa z geodetskim načrtom.

Klasificirane metode izmere sta horizontalna izmračevanje in višinomerstvo. GNSS-metodi izmere sta statična in kinematična metoda izmere, glede na to ali sprejemnik med izmero miruje ali se giblje. GNSS metode vključujejo določitev tako horizontalnega položaja kot tudi višinske komponente.

Klasificirane GNSS metode izmere lahko med seboj združimo v kombinirano metodo izmere.

3.1 Klasi na terestrične metode izmere

Osnova klasificiranih terestričnih metod izmere so merjenja kotov, dolžin in višinskih razlik. Glede na postopek izmere ločimo eno obravnavamo horizontalne in višinske mreže. Za določanje horizontalnega položaja točk uporabljamo metode triangulacije, trilateracije ali njuno kombinacijo. Za določanje višinske komponente položaja točk pa uporabljamo trigonometrična merjenja nega višinomerstvo in geometrična neganivelmana.

Za izmero horizontalnih smeri in kotov ter in zenithnih razdalj uporabljamo teodolit.

Za izmero dolžin uporabimo navaden ali jeklen merski trak, bazno lato ali pa elektronski razdaljemer. Osnovni princip merjenja dolžin z elektronskim razdaljemerom je določitev velikosti dolžine na osnovi merjenega razstavja, v katerem elektromagnetno valovanje prepotuje pot med zemeljsko površino in instrumentom nega razdaljeno točko ter nazaj.

Postopek merjenja dolžine z uporabo elektronskega razdaljemera:

- instrument postavimo na stojisko, ga centriramo in horizontiramo ter izmerimo višino instrumenta i ,

- na vizirno točko postavimo reflektor, ga centriramo in horizontiramo ter izmerimo višino reflektorja l ,
- z instrumentom viziramo v sredino prizme,
- na instrumentu sprožimo merjenje dolžine,
- isto asno merimo še temperaturo zraka T in zračni tlak P .

Na terenu merimo poševne dolžine. Na rti pa so prikazani v izbrani horizontalni ravnini projekcije, zato moramo dolžine ustreznost reducirati. Merjene dolžine reduciramo za:

- meteorološke popravke,
- geometrične popravke,
- projekcijske popravke.

Za izvedbo klasične metode izmere se v praksi najpogosteje uporablja elektronski tachimeter. Elektronski tachimeter je univerzalni geodetski instrument za merjenje horizontalnih smeri, dolžin in zenithnih razdalj. Združuje teodolit in razdaljemer. Današnji sodobni elektronski tachimetri imajo vgrajen elektrooptični razdaljemer in sistem za elektronsko odvajanje horizontalnih smeri in zenithnih razdalj. Horizontalna dolžina, višinska razlika in koordinate se lahko izračuna samodejno in se shranijo skupaj z meritvami in dodatnimi informacijami na ustrezeni pomnilniški medij.

3.1.1 Polarna detajlna izmara

Za potrebe izdelave geodetskega načrtu izvedemo detajljno izmerno s katero direktno določamo relativne koordinate detajlnih točk glede na dane geodetske točke.

Najpogosteje uporabljena je polarna metoda detajljne izmere. Temelji na direktni izmeri relativnih prostorskih koordinat detajljne točke. Numerične podatke meritev pretvorimo preko različnih načinov v grafično obliko (npr. s premerom unavanjem polarnih v pravokotne koordinate). Prednost polarne izmere je v skupni določitvi vseh treh koordinat hkrati preko merjenja horizontalnih smeri, zenithnih razdalj in poševnih dolžin. Ker pri detajljni izmerti merimo točke le v eni krožni legi, mora biti instrument preizkušen in rektificiran.

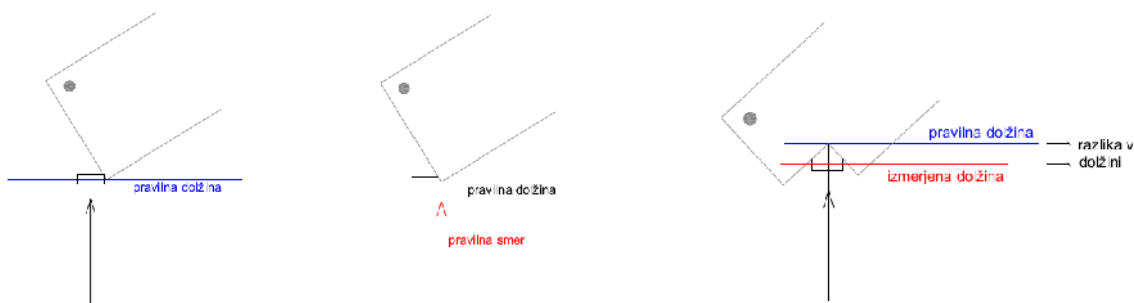
Postopek detajljne izmere:

- instrument postavimo na dano točko,
- instrument centriramo in horizontiramo ter izmerimo višino instrumenta i ,
- instrument orientiramo, naviziramo dano poligonsko točko B in izmerimo horizontalno smer α_A^B ,

- za nemo z detajlno izmero: togo grezilo z reflektorjem postavimo na detajlno točko, pri tem pazimo, da doznalibelavrhuni, ter sprožimo od itke horizontalne smeri α_A^j , poševne dolžine d_A^j in zenitne razdalje z_A^j , shranimo si višino reflektorja l ,
- detajlno točko označimo na skici ter ji pripisemo številko, ki je enaka številki registrirani v instrumentu,
- dodatno vodimo zapisnik o izmeri, v katerega vpisujemo merske podatke o stojišču, orientaciji, številu detajlne točke, višini instrumenta in tare, ter razlike ne dodatne posebnosti,
- med izmero kontroliramo stabilnost instrumenta tako, da na vsakih izmerjenih 20 do 30 detajlnih točk naviziramo orientacijsko točko B; od itka se morata ujemati na $30''$, druga pa ponovimo izmero vseh točk od zadnje kontrole naprej,
- ko smo izmerili vse detajlne točke vidne iz enega stojišča, zaključimo izmero z zaključno vizuro na začetno točko B, pri čemer se od itka ne smeta razlikovati za več kot $30''$,
- pred prestavitevijo instrumenta na novo poligonsko točko moramo z merskim trakom izmeriti kontrolne mere (fronte izmerjenih objektov).

Težave se pojavijo pri snemanju objektov, saj je potrebno določiti položaj vogalov. Pri uporabi elektronskega tahimetra za izmero zunanjih vogalov objektov postavimo reflektor pravokotno ob vugal proti smeri instrumenta, in izmerimo dolžino. Sledi premik v horizontalni smeri levo oziroma desno toliko, da imamo naviziran vugal objekta. Sprožimo od itek izmere horizontalnesmeri in zenitne razdalje. Pazimo, da pri premiku ne spremenimo vrednosti zenitne razdalje in da dolžine ne merimo ponovno.

Za izmero notranjega vogala objekt imamo več možnih pristopov. Reflektor postavimo v notranji vugal objekta in z elektronskim tahimetrom registriramo vse tri kolikosti. Z žepnim trakom izmerimo odmik reflektorja od vogala ter dobljeno vrednost odmika prištejemo registrirani dolžini. V kolikor imamo pri elektronskem tahimetru možnost izmere dolžine brez reflektorja, lahko izmerimo notranji vugal na ta način. Notranji vugal pa lahko tudi skonstruiramo preko izmerjenih front.



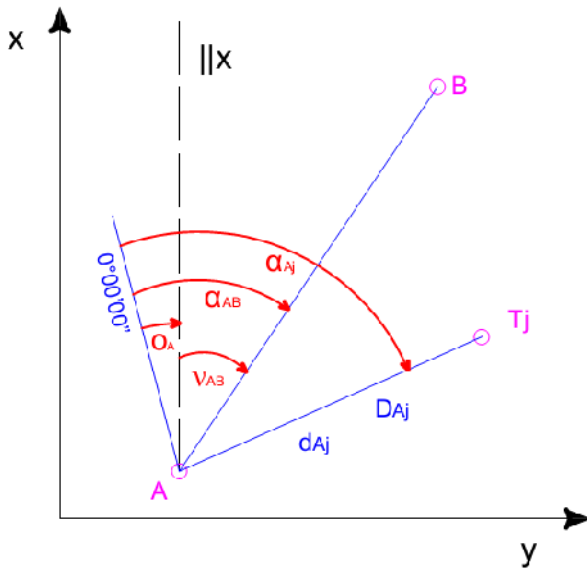
a) merjenje zunanjega vogala

b) merjenje notranjega vogala

Slika 8: Prikaz merjenja zunanjega vogala (slika levo) in notranjega vogala objekta (slika desno).

Slika 8 a) prikazuje postopek merjenja zunanjega vogala objekta, najprej z registracijo pravilne dolžine ter nato po premiku še od itka horizontalne smeri in zenitne razdalje. Slika 8 b) prikazuje pridobitev prave dolžine z upoštevanjem odmika reflektorja, pri izmeri notranjega vogala.

Koordinate detajlne točke T_j dobimo preko računskega postopka. Spodnja slika 9 prikazuje situacijo izmere pri polarni detajlni izmeri: stojiš na A , orientacijska točka B in detajlna točka T_j ; izmerjena dolžina d_A^j in izračunana dolžina D_A^j do detajlne točke, opazovani horizontalni smeri α_A^B , α_A^j ter izračunane vrednosti smernega kotu v_A^B in orientacijskega kota o_A .



Slika 9: Polarna detajlna izmera.

Imamo podatke:

- izhodiš na točko A je stojiš in ima znane koordinate (y_A, x_A) ,
- orientacija instrumenta na točko B z zanimimi koordinatami (y_B, x_B) ,
- izmerjena horizontalna smer α_A^B od stojišča proti orientacijski točki B ,
- opazovana horizontalna smer α_A^j od stojišča proti detajlni točki T_j ,
- izmerjena poševna dolžina d_A^j od stojišča do detajlne točke T_j .

Najprej izračunamo smerni kot v_A^B med danima točkama z ena bo:

$$v_A^B = \arctan \frac{\Delta y}{\Delta x}. \quad (13)$$

Sledi izračun orientacijskega kota o_A po enačbi:

$$o_A = \alpha_A^j - v_A^B. \quad (14)$$

V primeru, da je vrednost orientacijskega kota negativna se pridobljeni vrednosti ena be (14) prišteje 360° .

Smerni kot med dano in detajlno točko v_A^j se izračuna z izrazom:

$$v_A^j = \alpha_A^j - o_A. \quad (15)$$

V primeru, da smerni kot računašmo iz merjene horizontalne smeri in ustreznega orientacijskega kota, ta kot imenujemo orientirana smer φ . Za ena bo (15) tako pridobimo orientirano smer φ_A^j . V primeru, da je vrednost dobljene orientirane smeri φ_A^j , negativna, je potrebno prišteati 360° .

V primeru, da je horizontalnasmera α_A^B enaka $0^\circ 00' 00''$, je $o_A = -v_A^B$. Sledi:

$$v_A^j = \alpha_A^j + v_A^B. \quad (16)$$

Na terenu merjeno poševno dolžino d_A^j reduciramo za meteorološki popravek po ena bi (17), za geometrični popravek, ena bi (18) in (19), in projekcijski popravek, ena bi (20). Pridobimo dolžino S_A^j na ničelnih nivojskih ploskvah.

Za meteorološki popravek reducirana dolžina se izračuna z ena bo:

$$D = d_A^j(1 + k_{nr}), \quad (17)$$

kjer je:

d_A^j ... merjena poševna dolžina,

k_{nr} ... relativna vrednost prvega popravka hitrosti, od itana iz nomograma za uporabljen instrument.

Pri upoštevanju geometričnega popravka je najprej potrebno izvesti redukcijo zaradi horizontalne ekscentricitete razdaljemera in reflektora z ena bo:

$$S_r = D + k_a, \quad (18)$$

kjer je:

k_a ... adicijska konstanta razdaljemera in reflektora.

Sledi izračun poševne dolžine med točko kama na nivoju terena z enačbo:

$$S_K = S_r - (l - i) \cdot \cos z_A^j + \frac{(l-i) \cdot \sin z_A^j}{2S_r}. \quad (19)$$

Potrebno je še reducirati poševno dolžino na nivoju terena na nivelo nivojsko ploskev preko enačbe:

$$S_A^j = R \cdot \tan \frac{S_K \cdot \sin z_A^j}{(R + H_A) + S_K \cdot \cos z_A^j}, \quad (20)$$

kjer je:

R ... radij Zemlje sprizveto vrednostjo 6370 km.

Sledi še redukcija dolžine na nivelo nivojskih ploskv v Gauß-Krügerjevo projekcijsko ravnino z enačbo:

$$D_A^j = S \cdot \left(1 + \frac{\bar{y}_{sr}^2}{2 \cdot R^2} - 0,0001 \right), \quad (21)$$

kjer je $\bar{y}_{sr} = \frac{y_A + y_j}{2}$.

Horizontalni koordinati detajlne točke j se izračunata po enačbah:

$$y_j = y_A + D_A^j \cdot \sin \varphi_A^j, \quad (22)$$

$$x_j = x_A + D_A^j \cdot \cos \varphi_A^j. \quad (23)$$

Izračun višine detajlne točke j ob upoštevanju popravka zaradi ukrivljenosti Zemlje in popravka zaradi refrakcije, pa se izračuna po enačbi:

$$H_j = H_A + d_A^j \cdot \cos z_A^j + i + l + \frac{D_A^j}{2R} - k \cdot \frac{D_A^j}{2R}, \quad (24)$$

kjer sta:

R ... radij Zemlje s privzeto vrednostjo 6370 km,

k ... koeficient refrakcije s privzeto vrednostjo 0,13.

Rezultat so pridobljene prostorske koordinate detajlne točke $T_j(y_j, x_j, H_j)$, izračunate preko enačb (22), (23) in (24).

Polarna detajlna izmera temelji na izračunu detajlnih točk pri čemer imamo znane koordinate stojišča in orientacijske točke. V primeru, ko nimamo možnosti postavitev instrumenta na poligonsko točko z znanimi koordinatami, uporabimo prosto stojišče.

Prosto stojišče je poljubno in postavljeno tako, da se iz njega lahko posnamejo imenovanje detajlnih točk. Njegov položaj se izračuna na podlagi merjenja horizontalnih smeri, poševnih dolžin in zenithnih razdalij proti najmanj dvema točkama z znanimi koordinatami v izbranem koordinatnem sistemu. V primeru nadstevilnih meritev je potrebno izvesti izravnavo, s katero pridobimo tudi oceno natanosti določitve položaja.

Zahteve, ki jih prosto stojišče mora izpolnjevati glede na Navodila za izvajanje klasične geodetske izmere v novem državnem koordinatnem sistemu (Kogoj in sod., 2006):

- oddaljenost prostega stojišča od točk izmeritvene mreže ne sme presegati 200 m,
- oddaljenost od najbližje točke izmeritvene mreže mora biti manjša kot je najkrajša oddaljenost med točkami izmeritvene mreže,
- nadstevilne meritve (minimalno 2 horizontalni smeri, 2 zenithni razdalji ter 2 poševni dolžini),
- izračun koordinat prostega stojišča z izravnavo po metodi najmanjših kvadratov,
- oceno natanosti položaja in višine prostega stojišča:
 - daljša polos standardne elipse zaupanja v koordinati točke je krajša od 2 cm,
 - standardni odklon višine je manjši od 2 cm.

3.1.2 Višinomerstvo

Za določanje višin se na ravninskem in preglednem terenu uporabimometodo geometrične nivelmane. Na razgibanem in strmem zemljišču je primernejše določanje višinskih razlik s trigonometričnim višinomerstvom. Z obema metodama višinomerstva pridobimo višinsko razliko med dvema točkama.

Pri geometričnem nivelmanu opazujemo neposredno višinske razlike med točkami. V primeru trigonometričnega višinomerstva opazujemo zenithno razdaljo ali vertikalne kote ter poševno dolžino med točkama, ter preko računskega postopka pridemo do vrednosti višinske razlike.

3.1.2.1 Trigonometrično višinomerstvo

Višinske razlike med točkami, ki med seboj niso oddaljene več kot 250 m in kjer zadošča centimetrska natanost, določamo s trigonometričnim višinomerstvom. Za izmero potrebujemo teodolit, žepni

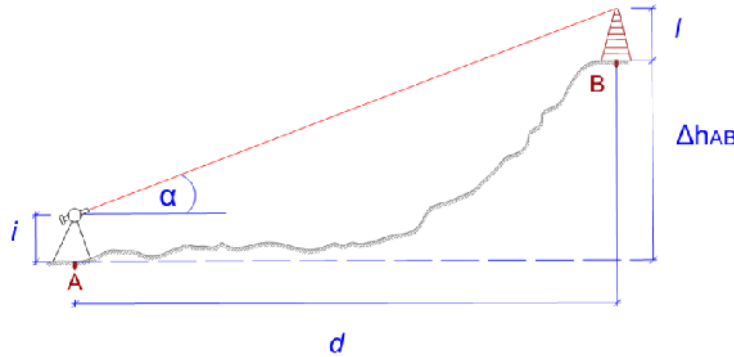
merski trak in signalno tarivo. Z upoštevanjem višine teodolita i in višine signala l izračuna se višinsko razliko po enačbi:

$$h_A^B = d \cdot \tan \alpha + i - l, \quad (25)$$

kjer je:

d ... horizontalna razdalja na niveli nivojski ploskvi med točkama A in B,

α ... vertikalni kot.



Slika 10: Trigonometrično višinomerstvo.

Slika 10 prikazuje merjene vrednosti: višino instrumenta i , višino signala l in vertikalni kot α , ter z razliko upoštevati še popravek zaradi ukrivljenosti Zemlje k_R in popravek zaradi refrakcije k_r . Popravka računa se po enačbama (26) in (27) (Zupančič, 1991):

$$k_R = \frac{d^2}{2R}, \quad (26)$$

$$k_r = -k \cdot \frac{d^2}{2R}, \quad (27)$$

kjer sta:

R ... radij Zemlje s privzeto vrednostjo 6370 km,

k ... koeficient refrakcije s privzeto vrednostjo 0,13.

Popravljena višinska razlika je vsota vrednosti popravkov in višinske razlike izračunane z enačbo (25).

3.1.2.2 Geometri ni nivelman

Geometri ni nivelmanje metoda, kjer se višinska razlika med to kama določi s pomočjo nivelerja, ki zagotavlja horizontalno vizurno linijo in itanjarazdelbe vertikalno postavljenih nivelmanskih lat. Je najnatančnejša klasi na metoda merjenja višinskih razlik. Omogoča direktni ali postopni prenos višine. Kadar je oddaljenost med to kama daljša, višinsko razliko izmerimo »po delih« in jo prenašamo preko asno stabiliziranih točk-izmeniš, ki predstavljajo stojišča za late.

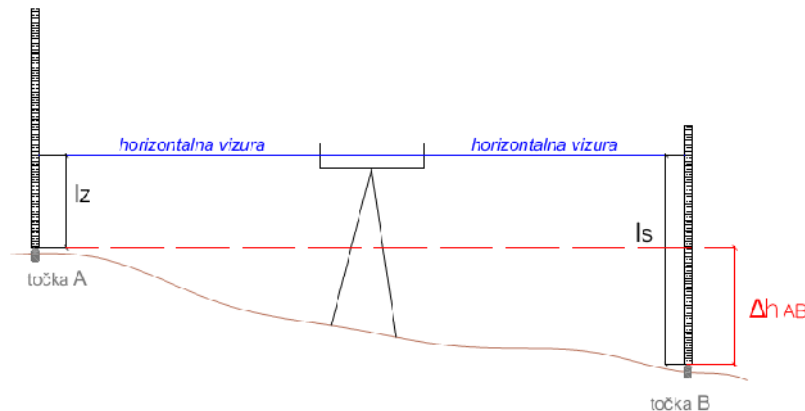
itamo od itke na lati, ki predstavlja vertikalno oddaljenost od pete late do višine vizure. Višinska razlika med točko A in B, pri direktnem prenosu višine se ob nivelerjanju iz sredine, izračuna z ena bo:

$$h_A^B = l_Z - l_S, \quad (28)$$

kjer sta:

l_Z ... oditek na lati zadaj, ki je lata na točki A,

l_S ... oditek na lati spredaj, ki je lata na točki B.



Slika 11: Direktni prenos višine pri nivelerjanju iz sredine.

Pri večjih oddaljenostih med točkama predstavlja višinsko razliko med točko A in B vsota vmesnih višinskih razlik med izmenišči v nivelmanskem vlaku. Računamo po ena bi:

$$h_A^B = h_1 + h_2 + \dots + h_n = l_1^Z - l_1^S + l_2^Z - l_2^S + \dots + l_n^Z - l_n^S$$

oziroma

$$h_A^B = \sum_{i=1}^n l_i^Z - \sum_{i=1}^n l_i^S. \quad (29)$$

3.2 GNSS-metode geodetske izmere

GNSS-metode izmere so vse metode s katerimi določamo koordinate tokrat s pomočjo GNSS tehnologije, ki se nanaša na enega ali več globalnih navigacijskih satelitskih sistemov na osnovi katerih se določajo koordinate tokrat v enem izmed globalnih koordinatnih sistemov.

GNSS-metode izmere imajo primerjavi z drugimi metodami nekaj prednosti:

- dež, meglja in sneg praviloma ne vplivajo na zmožnost in kakovost določitve položaja,
- možnost orientacije in navigacije v popolnoma nepoznanem svetu,
- usmerjeno približevanje cilju,
- poznavanje točnega položaja in višine v vseh vremenskih razmerah in ponavljajoči.

Satelitsko podprtta navigacija in orientacija ima tudi omejitve:

- GNSS-tehnologija določanja položaja zahteva sprejem satelitskega signala, kar je mogoče le izven zaprtih prostorov,
- sprejem signalov lahko zmanjšajo ali preprečijo stavbe, relief in vegetacija,
- GNSS signal je precej šibek radijski signal, ki ne potuje skozi kovinske predmete, tekočine ter druge predmete, ki lahko močno zmanjšajo kakovost sprejetega signala,
- višina je manj točna določena kot horizontalni položaj.

Klasični metodi geodetske GNSS-izmere, kot sta stati na in hitra stati na metoda, sta se izkazali kot zelo zanesljivi pri določanju položajev tokrat z veliko natanostjo na velikih območjih, ob velikem prihranku pač pa in dokaj nenapornem terenskem delu.

Med metodami geodetske GNSS-izmere, ki so se pojavile v novejšem času in so primerne za uporabo na manjšem območju, sta posebno pomembni kinematični, Stop-and-Go ter Real Time Kinematic – RTK metoda GNSS-izmere.

3.2.1 Splošno o delovanju GNSS

Globalni navigacijski satelitski sistemi (GNSS), ki so trenutno vzpostavljeni oziroma so v izgradnji:

- NAVSTAR-GPS (ang. Global Positioning System) so razvile Združene države Amerike.
- GLONASS je bil zasnovan s strani Rusije.
- GALILEO je navigacijski sistem zasnovan znotraj sodelovanja Evropske unije.
- COMPASS oziroma BeiDou je zasnovala Kitajska.

Med naštetimi navigacijskimi sistemi je GPS najbolj razširjen.

Splošno je satelitski sistem sestavljen iz treh segmentov:

- Vesoljski segment predstavlja navigacijski sateliti, ki »krožijo« okrog Zemlje in neprekinjeno oddajajo signal, ki vsebuje informacije za določitev položaja.
- Kontrolni segment ima nalogo ugotavljanja stanja sistema in posameznih satelitov na osnovi sprejetih signalov, določanje parametrov tirnic satelitov, ugotavljanje urinega teka satelitovih ur in periodi nega obnavljanja navigacijskih sporočil.
- Uporabniški segment sestavlja uporabniki GNSS sistema, ki opazujejo, shranjujejo in obdelujejo sprejeti signal, ki omogoča določitev asa, položaja in hitrosti.

Vsek satelit oddaja unikaten navigacijski signal. Signal v osnovi sestoji iz:

- dveh nosilnih valovanj,
- merskih kod ter
- navigacijskega sporočila.

Signal je postavljen na elektromagnetni valovanji L1 in L2 s frekvencama $f_{L1} = 1575,42 \text{ MHz}$ in $f_{L2} = 1227,60 \text{ MHz}$. Valovni dolžini obeh valovanj sta $\lambda_{L1} = 0,19 \text{ mm}$ in $\lambda_{L2} = 0,24 \text{ m}$.

Nosilni valovanji L1 in L2 omogočata prenos merskih kod in navigacijskega sporočila. Merske kode in navigacijsko sporočilo so naneseni na nosilno valovanje z modulacijo. Valovanje L1 je modulirano s C/A (ang. CoarseAcquisition) kodo, P (ang. Precise) kodo in navigacijskim sporočilom. Valovanje L2 je modulirano s P kodo in navigacijskim sporočilom.

Navigacijsko sporočilo omogoča izvajanje navigacije v realnem času in vsebuje informacije:

- efemeride satelitov,
- popravke urinega teka satelitovih ur,
- informacije o stanju sistema,
- model ionosfere.

3.2.1.1 Določitev položaja

Položaj v vseh navigacijskih satelitskih sistemih na osnovi GNSS opazovanj določimo glede na opazovanjarazdalje med satelitom in sprejemnikom. Za določitev položaja sprejemnika je potrebno:

- določiti položaj satelita,
- izmeriti razdaljo med satelitom in sprejemnikom ter
- izračunati položaj sprejemnika po principu prostorske trilateracije (za določitev položaja nove točke uporabimo opazovane razdalje med danimi točkami – sateliti in novo točko – sprejemnikom).

Pridobimo lahko absolutni ali relativni položaj GNSS sprejemnika.

Absolutni položaj je določen samo na osnovi danih položajev GNSS satelitov v izbranem koordinatnem sistemu v asu opazovanj in opazovanih razdalj med satelitom in sprejemnikom. Relativni položaj pa je določen relativno na znani položaj ene ali več kot danih v privzetem koordinatnem sistemu, ob danih položajih satelitov in opazovanih razdaljih med satelitom in sprejemnikom. Razdaljo med oddajnikom in sprejemnikom določamo na osnovi hitrosti potovanja signala ter asovnega intervala med trenutkom oddaje in trenutkom sprejema signala (Stopar in Pavlovič Prešeren, 2011).

Imamo dva tipa opazovanj, kodna in fazna opazovanja.

Kodna opazovanja so opazovanja asovnega intervala od trenutka oddaje do trenutka sprejema kode. Primerjata se sprejeta in v sprejemniku generirana koda. Tako pridobimo asovni interval potovanja signala. Čas potovanja signala merita ura satelita in sprejemnikova ura, ki bi med seboj morali biti popolnoma usklajeni, da bi s pridobljenim asovnim intervalom, pomnoženim s svetlobno hitrostjo, lahko pridobili geometrijsko razdaljo med satelitom in sprejemnikom. Zaradi določitve časa potovanja signala z uporabo dveh ur, ter njunih napak, imenujemo tako pridobljeno razdaljo med satelitom in sprejemnikom psevdorazdalja.

Za določitev koordinat sprejemnika (x_k, y_k, z_k) moramo v nekem trenutku poznati psevdorazdalje od sprejemnika do štirih satelitov. Določitev absolutnega položaja na osnovi kodnih opazovanj omogoča določitev položaja z natanostjo $\sigma_P = 10 - 30$ m, določitev relativnega položaja dveh sprejemnikov pa je mogoča z natanostjo $\sigma_P = 2 - 3$ m (Stopar in Pavlovič Prešeren, 2011).

Pri opazovanjih faze izmerjena vrednost faze predstavlja razliko med fazo sprejetega valovanja in v sprejemniku generiranega valovanja. S faznimi opazovanji lahko prav tako pridobimo čas potovanja signala in geometrijsko razdaljo med satelitom in sprejemnikom.

Satelit se relativno na sprejemnik giblje, zato se razdalja med satelitom in sprejemnikom nenehno spreminja. Spreminja pa se tudi vrednost opazovane faze, kar nam predstavlja merilo za spremembo razdalje med satelitom in sprejemnikom. Sprejemnik za ne spremiljati sprejetoto valovanje v začetnem trenutku opazovanj ter potem v naprej predvidenih asovnih intervalih izvaja fazna opazovanja. V začetnem trenutku opazovanj sprejemnik ne more zaznati vrednosti števila celih valov N , ki ostane spremenjeno ves čas meritev, e ne pride do prekinitev sprejemnega signala. Opazovanja faze sprejemnik izvaja v okviru ene valovne dolžine in beleži njene spremembe za vrednost cele valovne

dolžine od za etnega trenutka opazovanj do izbranega trenutka posameznega opazovanja (Stopar in Pavlovič Prešeren, 2011).

Razdaljo med satelitom in sprejemnikom pridobimo, e poznamo valovno dolžino valovanja, število celih valov N v za etnem trenutku opazovanj, fazo sprednjega in fazo generiranega valovanja v izbranem trenutku posameznega opazovanja. Fazna opazovanja so podobna kodnemu opazovanju, vendar je pridobitev geometrijske razdalje med satelitom in sprejemnikom mnogo bolj kompleksna v primeru faznih opazovanj. Težavna je predvsem zanesljiva določitev neznanega števila za etnega števila celih valov N .

Poleg pogreškov ur sprejemnikov in satelitov ter neznanega za etnega števila celih valov imamo pri določanju položaja s pomočjo GNSS tehnologije opravka s številnimi vplivi. Vplive na opazovanja želimo im bolj zmanjšati ali celo odstraniti iz vrednosti opazovanj. V postopkih določitev relativnega položaja na osnovi faznih opazovanj uporabljamo v ta namen fazne razlike, ki so ključne kolikor ne pri določanju relativnih položajev točk z geodetsko natanostjo. Uporabljamo jih lahko v primeru, ko z dvema ali več GNSS sprejemniki istočasno sprejemamo signal oddan s štirih ali več GNSS satelitov.

Določanje relativnega položaja je možno na osnovi enojnih, dvojnih ali trojnih faznih razlik, vendar se različni tipi faznih razlik uporabljajo v različnih fazah postopka določanja relativnega položaja. Trojne fazne razlike se uporabljajo za odstranitev neznanega števila celih valov ob začetku opazovanja (Stopar in Pavlovič Prešeren, 2011).

3.2.1.2 Določitev relativnega položaja na podlagi faznih opazovanj

Relativni položaj predstavlja položaj, podan relativno glede na točko ali množico točk. Podan je torej z vektorjem, ki povezuje dve točki. Vektor, ki podaja relativni položaj dveh točk, imenujemo bazni vektor. E poznamo položaj točke A v določenem koordinatnem sistemu, je položaj točke B dan z enačbo:

$$\mathbf{r}_B = \mathbf{r}_A + \Delta\mathbf{r}_{AB}, \quad (30)$$

kjer je bazni vektor $\Delta\mathbf{r}_{AB}$ določen z:

$$\Delta\mathbf{r}_{AB} = \begin{bmatrix} x_B - x_A \\ y_B - y_A \\ z_B - z_A \end{bmatrix}.$$

Določitev relativnega položaja z natanostjo, ki ustreza potrebam geodezije, je mogoča z istočasnim opazovanjem faze nosilnega valovanja na referenčni (bazni) točki in na novi točki.

Za določitev relativnega položaja na osnovi faznih opazovanj je potrebno določiti neznano za etnoštevilo celih valov med satelitom in sprejemnikom. Določitev neznane števila celih valov v asu izvajanj meritev in v povezavi s kinematičnimi metodami izmere imenujemo inicializacija GNSS sprejemnika. Inicializacija je izvedena na osnovi faznih opazovanj, opravljenih v najmanj dveh trenutkih.

Referenčni sprejemnik nam lahko predstavlja lastna GNSS bazna postaja postavljena na toki z znanimi koordinatami v koordinatnem sistemu ETRS89, permanentna GNSS postaja, ki je del omrežja permanentnih GNSS postaj, lastna GNSS bazna postaja ali pa virtualna referenčna postaja (VRS) ter nam s tem omogoča določitev relativnega položaja sprejemnika. Za izmero potrebujemo samo še premični sprejemnik.

Natanost določitev položaja na osnovi GNSS opazovanj je odvisna od:

- geometrijske razporeditve opazovanih satelitov in
- od kakovosti opravljenih opazovanj.

Kakovost opravljenih opazovanj pa je poleg kakovosti sprejemnika, odvisna tudi od kakovosti obravnave vplivov na opazovanja. Vplive na GNSS opazovanja, glede na njihov izvor, delimo v tri skupine:

- vplivi z izvorom v satelitih, ki v glavnem vključujejo pogreške satelitov ur in tirnic satelitov,
- vplivi z izvorom v sprejemniku, ki vključujejo pogrešek ure sprejemnika, odboj signala (ang. multipath), sprememjanje položaja faznega centra antene in šum sprejemnika,
- vplivi z izvorom v mediju skozi katerega signal potuje, ki vključujejo ionosfersko in troposfersko refrakcijo.

Nekateri izmed vplivov so sistematični in nekateri slučajni. Predvsem je potrebno biti pozoren na sistematične vplive, ki jih lahko odstranimo z uporabo ustreznih matematičnih modelov (vplivi ionosferske in troposferske refrakcije), lahko pa jih zmanjšamo ali celo odstranimo z ustreznim opravljenim GNSS-izmerom ali ustreznim obdelavo podatkov opazovanj.

3.2.2 Metode geodetskeGNSSizmere

Vse metode GNSS izmere, ki jih uporabljamo v geodeziji temeljijo na faznih opazovanjih ter so metode za določanje relativnega položaja, saj le te omogočajo doseganje natanosti položaja, ki je primerna za uporabo v geodeziji. Metode se nanašajo na relativno določitev koordinat točk glede na izbrano referenčno točko (stalno GNSS postajo, VRS postajo ali ETRS točko).

GNSS-metode izmere se lahkoporabi vedno, ko so na območju delovišča izpolnjeni osnovni pogoji za izvedbo meritev (Tehnično navodilo za uporabo novega koordinatnega sistema ..., 2007):

- vsaj 5 do 6 GNSS satelitov nad obzorjem, ki so ugodno geometrijsko razporejeni,
- odsotnost fizičnih ovir v neposredni bližini detajlnih točk (visoki objekti, drevesa, neugoden relief), na severni Zemljini polobli posebej južno od točke izmere,
- odsotnost motenjih ravnih površin v neposredni bližini detajlne točke (npr. ploščevinastih strel), ki povzročajo odboje signalov,
- odsotnost motenjih virov elektromagnetnega valovanja v neposredni bližini detajlnih točk (npr. oddajniki, radijski pretvorniki, transformatorske postaje), ki lahko interferirajo z GNSS signali.

3.2.2.1 Stati na GNSS izmera

Stati na GNSS izmera je osnovna metoda za določanje relativnega položaja.

Značilnosti stati na izmerek:

- Sprejemnik se postavi na točko, kjer preko izmerek miruje.
- Opazovanja se izvajajo daljše asovno obdobje, tipično od 30 do 120 minut, pri najnatančnejših nalogah tudi po več dneh.
- Temelji na velikem številu opazovanj in sprememb geometrijske razporeditve satelitov v času opazovanj.
- Izmera se običajno izvaja s številom sprejemnikov, ki je manjše od števila točk, zato jo izvedemo v več serijah.
- Končni rezultat so izravnava pridobljeni bazni vektorji v GPS mreži.
- Pri obdelavi podatkov je potrebno uporabiti matematične modele za modeliranje ionosferske refrakcije ter algoritme za določitev neznanega zetnega števila celih valov.
- Ob kakovostni izvedbi opazovanj in uporabi natančnih tirnic satelitov ter ustrezne obdelave opazovanj, lahko pridobimo bazne vektorje dolžine D z relativno natančnostjo do 0,1 ppm · D .

Metoda je primerna za uporabo v specifičnih nalogah, kjer je zahtevana zelo visoka natančnost.

Stati na in hitra stati na metoda izmerek sta primerni za:

- določitev položaja stalnih GNSS postaj,
- geodinamične raziskave,
- določitev položaja geodetskih točk in drugih točk.

3.2.2.2 Hitra stati na metoda GNSS-izmere

V bistvenih lastnostih je enaka stati ni metodi izmere. Razlika je v krajšem času trajanja opazovanj, navadno znaša od 10 do 30 minut, odvisno od dolžine baznega vektorja in pogojev za izvedbo GNSS opazovanj.

Metoda se je pojavila z razvojem algoritmov za uinkovito določitev neznanega za etnega števila celih valov ob uporabi različnih tipov opazovanj in različnih kombinacij teh opazovanj, kar omogoča hitro in zanesljivo določitev za etnih neznanih vrednosti celih valov. Določitev teh neznank je naju inkovitejša ob sprejemanju signalov petih ali več signalov.

3.2.2.3 Kinematična metoda GNSS-izmere

Kinematična metoda GNSS omogoča določitev relativnega položaja. Zna ilnosti kinematične metode izmere:

- določitev položaja premi nega sprejemnika glede na mirujoči bazni sprejemnik,
- najpomembnejša je inicializacija, kjer se določijo neznane vrednosti za število celih valov med sateliti in GNSS sprejemniki,
- pomembno je zagotoviti neprekinjen sprejem signala najmanj 4 satelitov ves čas izmere,
- opazovanja so lahko zaradi kratkotrajnih opazovanj na posamezni tok obremenjena s sistematičnimi vplivi z izvorom v okolini sprejemnika,
- obdelava opazovanj poteka naknadno v pisarni.

Metoda se uporablja na področjih:

- geodezije in evidentiranja nepremičnin,
- geoinformacijskih storitev,
- gradbeništva,
- varstva kulturne dediščine,
- aerofotogrametrija in laserske tehnike daljinskega zaznavanja.

Metodo vse bolj izpodriva RTK metoda GNSS-izmere.

3.2.2.4 Stop-and-Go GNSS-metoda izmere

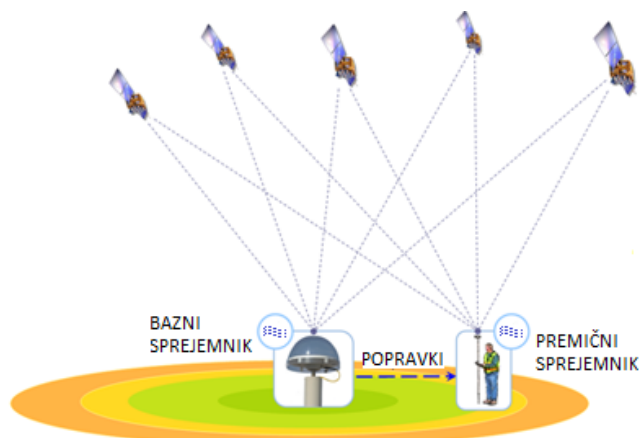
Pri Stop-and-Go metodi se opazovanja izvajajo na enak način kot pri kinematičniGNSS-izmeri, le da se na takih, katerih položaj nas zanima, zaustavimo za nekaj sekund do nekaj minut. S tem pridobimo nadštevilna opazovanja, ki nam omogočajo določitev položaja višje kakovosti.

3.2.2.5 Real Time Kinematic - RTK GNSS-metoda izmere

Ta metoda je v osnovi kinematična metoda, lahko je tudi Stop-and-Go metoda ali kombinacija kinematične in hitre statične metode GNSS izmere. Omogoča določitev položaja v realnem času.

Znaš ilnosti RTK GNSS-metode izmere (Stopar in Pavlovič Prešeren, 2011):

- temelji na faznih opazovanjih,
- uspešnost metode temelji na algoritmih za zanesljivo določitev neznane številce celih valov v etnem trenutku opazovanj,
- istočasno se izvaja izmera z dvema sprejemnikoma, en sprejemnik je postavljen na dano točko (bazu), z drugim (premetnim) izvajamo izmero,
- potrebna je povezava preko radijskih valov ali preko omrežja mobilne telefonije med baznim in premetnim sprejemnikom v realnem času za sprejemanje RTCM popravkov opazovanj, ki jih tvori in pošilja bazni sprejemnik premetniemu,
- obdelava podatkov obeh sprejemnikov se izvaja v času izmere, za kar potrebujemo ustrezeno programsko opremo,
- že med samo izmero pridobimo informacijo o količini in kakovosti opravljenega terenskega dela (koordinate točk z natanostjo določiteve),
- uporablja se pri različnih geodetskih nalogah, od detajlne izmere v katastrski izmeri do inženirske geodezije.



Slika 12: RTK metoda izmere (ASG-EUPOS, http://www.asgeupos.pl/index.php?wpg_type=tech_rtk).

Slika 12 prikazuje sestavljanje spremstva za prejem signalov 5 satelitov baznega in premetnega sprejemnika ter prenos popravkov preko radijske povezave od baznega do premetnega sprejemnika.

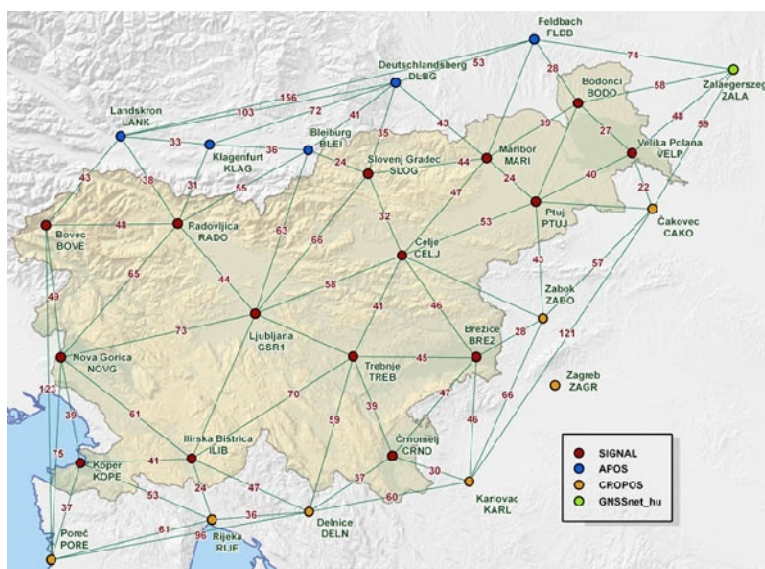
Bazna točka, s katere isto asno izvajamo GNSS opazovanja, nam služi za navezavo v izbran koordinatni sistem, kjer gre za določitev relativnega položaja nove točke glede na referenčno točko.

Za navezavo na ETRS89/TM koordinatni sistem imamo veliko možnosti:

- navezava na ETRS89/TM,
- stalno delujoči GNSS postaji,
- VRS točko ali
- omrežje stalno delujočih GNSS postaj.

V Sloveniji je vzpostavljeno omrežje permanentnih GNSS postaj z imenom SIGNAL (Slovenija-Geodezija-Navigacija-Lokacija), ki tvori temeljno državno geoinformacijsko infrastrukturo za določanje položaja s sodobno satelitsko tehnologijo GNSS na celotnem ozemlju Republike Slovenije. Predstavlja ogrodje novega slovenskega koordinatnega sistema. Omrežje se je začelo vzpostavljati leta 2000 in je bilo z letom 2006 dokončano ter predano v operativno uporabo.

Omrežje SIGNAL tvori 15 stalnih GNSS postaj, ki so razporejene enakomerno po vsej državi tako, da so maksimalne oddaljenosti med njimi manjše od 70 km. Permanentne postaje so vzpostavljene na takih mestih, ki so optimalne za izvajanje GNSS opazovanj, in so primerno stabilizirane. Na vseh postajah se nahajajo dvojni GNSS sprejemniki z antenami, ki 24 ur na dan in 365 dni v letu neprekinjeno izvajajo GNSS opazovanja (Omrežje Signal, 2012).



Slika 13: Omrežje stalno delujočih GNSS postaj SIGNAL (Omrežje SIGNAL, <http://www.gu-signal.si>).

Slika 13 prikazuje permanentne postaje omrežja SIGNAL v navezavi s permanentnimi postajami v Avstriji, na Madžarskem in Hrvaški.

Enakomerna razporeditev postaj po celotni Sloveniji uporabnikom omogoča doseganje visoke natanosti določitve položaja na celotnem območju države ob uporabi VRS opazovanj. Izračun VRS opazovanj je možen samo v omrežjih, ki so kot omrežje SIGNAL, centralno vodena.

Virtualna referenčna postaja je navidezna točka, ki nadomešča fizično GNSS postajo v bližini uporabnika. Pridobljena virtualna opazovanja vključujejo vplive na opazovanja, določene na osnovi opazovanj celotnega omrežja in ne le stalne GNSS postaje najbližje lokaciji uporabnika. Za uporabo VRS se odločimo zato, ker so stalne GNSS postaje preverjene oddaljene od našega deloviska, in da nam ni potrebno iskati točke s koordinatami v referenčnem koordinatnem sistemu, kamor bi morali postaviti lastno GNSS postajo. Pogoji, ki mora biti izpolnjeni, da lahko uporabimo VRS je, da naš sprejemnik omogoča dvosmerno komunikacijo – oddajanje in sprejemanje podatkov.

Sprejemnik najprej določi absolutni položaj, ki ga v obliki NMEA sporočila pošlje v center omrežja stalno delujočih GNSS postaj. V centru na podlagi opazovanj vseh GNSS postaj v omrežju izračuna unajtev interpolirane vrednosti vplivov na opazovanja za položaj našega sprejemnika. Na podlagi modeliranih vplivov izračuna unajtev vrednosti opazovanj, ki bi jih izvedel fizični sprejemnik na lokaciji v bližini našega sprejemnika – ta opazovanja se imenujejo VRS opazovanja, položaj za katerega so opazovanja generirana pa VRS postaja. Center omrežja nam nato pošilja podatke VRS postaje v obliki RTCM sporočila, ki jih obravnavamo enako kot bi obravnavali sporočila z opazovanji fizične GNSS postaje (Omrežje SIGNAL, 2012).

Način določitve položaja našega sprejemnika ostaja nespremenjen, natanost določitve položaja pa je lahko zelo visoka, kljub veliki oddaljenosti od najbližje fizične GNSS postaje.

Za potrebe izmerek v zemljiškem katastru je RTK metoda izmerek optimalna GNSS-metoda izmerek, ker omogoča hitro in kakovostno določitev koordinat v realnem času.

Priporočljivi parametri nastavitev in izvedbe RTK metode izmerek so:

- interval registracije je 1 sekunda,
- število izmerjenih epoh pri Stop-and-Go načinu je vsaj 10, pri pogojih, ko imamo nad obzorjem oziroma pod kotom večjim od 15° vsaj 8 satelitov (ob njihovi enakomerni razporeditvi lahko tudi 6) oziroma ko je PDOP manjši od 2,
- najmanjši višinski kot satelitov je 10° ter faktor PDOP je manjši od 6.

Pri delu na terenu uporabljamo dva tipa postopkov za oceno kakovosti opazovanj:

- kontrola inicializacije,
- kontrola izračuna unanih koordinat v realnem času.

Kontrola inicializacije, ki je lahko isto asno tudi kontrola koordinat v realnem času poteka tako, da izvedemo meritve na kontrolni točki, ki je lahko katerakoli stabilizirana točka s koordinatami v ETRS89/TM koordinatnem sistemu določenimi z eno izmed GNSS metod izmere. Na kontrolni točki se izvedejo tako meritve na za etku in koncu opazovanj na delovišču ter po vsakokratni izgubi inicializacije in ponovni inicializaciji (Tehnično navodilo za uporabo novega koordinatnega sistema ..., 2007).

Kontrola izračuna unanih koordinat zahteva ponovitev meritve na vsaki točki. Potrebni sta vsaj dve neodvisni meritvi na vsaki točki in avtomatični interval med zaporednima meritvama naj bi bil vsaj 30 minut. V 30 minutah se spremeni geometrijska razporeditev satelitov, kar omogoča določitev neodvisnega položaja točke.

Kakovost koordinat je v veliki meri odvisna od postopka inicializacije, zato se priporoča izvedbo inicializacije na najbolj odprttem delu delovišča, kjer ni ovir za GNSS signal.

3.3 Kombinirana metoda izmere

Tako terestrična opazovanja kot tudi GNSS opazovanja imajo pomanjkljivosti. V nekaterih primerih je zato smiselno za določitev položaja točke na nekem območju uporabiti kombinacijo terestričnih in GNSS izmernih metod. Za to metodo izmere se odločimo v primeru, če je na nekaterih delih območja izmere onemogočena kakovostna izvedba GNSS izmere:

- v naseljih sprejem GNSS signala ovirajo objekti,
- v gozdovih in na robovih gozdov, sprejem GNSS signala moti vegetacija,
- na območjih razgibanega terena, sprejem GNSS signala motijo strma pobočja,
- na območjih močnih virov elektromagnetskega valovanja.

Splošno se ena od GNSS metod izmere uporabi za določitev koordinat izmeritvene mreže ter za določitev koordinat detajlnih točk, klasi na terestrična metoda izmere pa se uporabi za določitev koordinat detajlnih točk. Koordinate točk izmeritvene mreže, določene s GNSS metodo izmere, služijo kot orientacija oziroma omogočajo navezav terestričnih meritv na koordinatni sistem (v večini primerov gre za koordinatni sistem ETRS89/TM).

Za kakovostno izvedbo kombinirane metode moramo upoštevati:

- na vsaj nekaterih delih območja izmere morajo biti zagotovljeni pogoji za izvedbo kakovostne GNSS izmere,

- izmeritvene točke določene z GNSS metodo izmere morajo zagotoviti kakovostno osnovo za vklop klasičnih meritev v ETRS89/TM koordinatni sistem (natanost točk izmeritvene mreže naj bo boljša od 2 centimetrov).

Koordinate izmeritvenim točkam v koordinatnem sistemu ETRS89/TM določimo z relativno določitvijo položaja z navezavo na:

- dano ETRS točko,
- stalno delujejoči GNSS postajo ali
- omrežje stalno delujejočih GNSS postaj.

Koordinate detajlnih točk v koordinatnem sistemu ETRS89/TM se izračunajo z navezavo na predhodno določene izmeritvene točke. Pri vklopu klasičnih opazovanj (opazovanj dolžin in kotov) na izmeritvene točke, je potrebno upoštevati natanost določitve položaja izmeritvenih točk, saj lahko samo tako ocenimo natanost koordinat detajlnih točk (Tehnično navodilo za uporabo novega koordinatnega sistema ..., 2007).

Za izračun natanosti koordinat detajlnih točk določenih na podlagi opazovanj kombinirane metode izmere je potrebno izračunati:

- natanost izmeritvenih točk, ki so bile določene v okviru GNSS-metode izmere in
- natanost detajlnih točk glede na izmeritvene točke, ki so določene znatnoj detajljnejši izmere.

Koordinati detajljne točke sta izračunani z ena bama (22) in (23). Standardni odklon izračunanih horizontalnih koordinat detajlnih točk, izračunamo s prenosom varianc in kovarianc po ena bahan:

$$\sigma_{E_D} = \sqrt{\sigma_{E_A}^2 + \sigma_{\Delta E_D}^2}, \quad (31)$$

$$\sigma_{N_D} = \sqrt{\sigma_{N_A}^2 + \sigma_{\Delta N_D}^2}, \quad (32)$$

kjer je:

$\sigma_{E_A}^2, \sigma_{E_A}^2 \dots$ varianci posameznih koordinat izmeritvene točke,

$\sigma_{\Delta E_D}^2, \sigma_{\Delta N_D}^2 \dots$ varianci relativnih koordinat detajljne točke.

Natanost koordinat točk predstavimo s parametri elipse zaupanja: daljša polos a , krajsa polos b in kotom zasuka elipse θ .

Višino detajlne točke izračunamo po enačbi:

$$H_j = H_{ST} + \Delta H_{ST}^j, \quad (33)$$

kjer je:

H_{ST} ... višina stojišča,

ΔH_{ST}^j ... višinska razlika med stojiščem in detajlno točko izračunano z enačbo (25) in upoštevanjem popravkov ukrivljenosti Zemlje in refrakcije.

Pri oceni natanosti določitve višine detajlnih točk izhajamo iz ene beza za izračun višinskih razlik ob upoštevanju popravka ukrivljenosti Zemlje in refrakcije. Natanost ocenimo z uporabo zakona o prenosu varianc in kovarianc s poenostavitevami. Pridobimo vrednost standardnega odklona višine.

4 GEODETSKI NA RT

Definicijo geodetskega na rta, njegovo vsebino, izdelavo in namen določa Pravilnik o geodetskem na rtu, UL RS, št. 40/2004. V 2. členu prvega odstavka navaja: »Geodetski na rt je prikaz fizičnih struktur in pojavov na zemeljskem površju, nad in pod njim v pomanjšanem merilu po kartografskih pravilih.«

Geodetski na rt je sestavljen iz dveh delov: grafičnega prikaza in certifikata geodetskega na rta.

Grafični prikaz zajema prikaz vsebine geodetskega na rta s topografskimi znaki skladno s topografskim ključem.

Vsebina geodetskega na rta pa je odvisna od namena uporabe, ki ga določi naročnik geodetskemu podjetju pri naročilu izdelave geodetskega na rta. Največkrat se izdelujejo geodetski na rti v namene priprave dokumentacije za graditev objekta, posnetek novega stanja zemljišča ter za pripravo državnega in občinskega lokacijskega na rta.

Najpogostejši podatki, ki jih geodetski na rt vsebuje, so podatki o (Pravilnik o geodetskem na rtu, UL RS, št. 40/2004.):

- stavbah,
- gradbeno inženirskih objektov,
- gospodarski javni infrastrukturi,
- reliefu in rastlinstvu,
- vodah,
- rabi zemljišč z mejo vrste rabe,
- zemljiških parcelah s parcelno številko,
- zemljepisnih imenih,
- geodetskih točkah,
- administrativnih mejah in
- drugih fizičnih strukturah in pojavih.

Certifikat geodetskega na rta je namenjen potrditvi skladnosti geodetskega na rta s predpisi, ki določajo izdelavo geodetskega na rta ter znamenom uporabe geodetskega na rta. Izpolni in podpiše ga odgovorni geodet. Vsebovati mora:

- podatke o naročniku geodetskega na rta,
- izjavo odgovornega geodeta,
- številko geodetskega na rta,
- podatke o namenu uporabe in o vsebini geodetskega na rta,

- pogoje za uporabo geodetskega načrtne rta,
- podatke o kraju in datumu izdaje certifikata in
- osebni žig in podpis odgovornega geodeta, žig geodetskega podjetja in podpis odgovorne osebe.

Pogoji za uporabo določajo primernost geodetskega načrtne rta za namen uporabe in dajejo navodila za uporabo geodetskega načrtne rta.

Geodetski načrt se izdela na podlagi podatkov uradnih evidenc, ki vsebujejo podatke izbrane vsebine. V primeru, da podatki niso vzdrževani, dovolj natančni ali nepopolni oziroma ne zadoščajo za izdelavo geodetskega načrtne rta, se podatke zajame z geodetsko izmero.

Izdela se v državnem ali drugem koordinatnem sistemu. V primeru, ko je geodetski načrt izdelan v drugem koordinatnem sistemu je to potrebno navesti v certifikatu ter dodati pogoje uporabe in opisati navezavo na državni koordinatni sistem.

5 TERENSKA IZMERA

Za namen izdelave geodetskega načrtu smo opravili kombinirano metodo geodetske izmere. Ve je število detajlnih tokov smo izmerili z RTK metodo GNSS-izmere in polarno detajlno metodo izmere.

Priprava na terensko izmerno je vsebovala:

- izbira metode izmere,
- izbira ustreznega instrumentarija,
- določitev območja izmere,
- rekognosciranje terena,
- zasnova oblike izmeritvene mreže s približnimi lokacijami in stabilizacijo izmeritvenih tokov,
- pridobitev podatkov o obstoječih trigonometričnih točkah v bližini območja izmere,
- zasnova poteka terenskih meritev.

5.1 Metoda izmere

Izvedli smo kombinirano metodo izmere za potrebe izdelave geodetskega načrtu. Osnovo predstavlja RTK metoda GNSS-izmere z nazivom Stop-and-Go, z uporabo VRS (navezava na omrežje SIGNAL), s katero smo izmerili točke izmeritvene mreže.

Detajlne točke smo, kjer so bili izpolnjeni vsi pogoji, izmerili tako s klasično polarno detajlno izmerno kot tudi z RTK metodo izmere. Točke, ki niso mogle biti posnete z obema metodama (RTK metoda izmereni bila mogoča), so pa potrebne za ustrezni prikaz posnetka terena na geodetskem načrtu, sobile izmerjene samo s terestrično detajlno metodo izmere.

Vse meritve so vezane na ETRS89/TM koordinatni sistem. Geodetski načrt pa je izdelan v D48/GK koordinatnem sistemu s prikazom višin v državnem višinskem sistemu. Med koordinatnima sistemoma ETRS89/TM in D48/GK bomo izvedli transformacije z uporabo spletnih programske aplikacije za transformacije koordinatnih sistemov SiTraNet.

5.2 Instrumentarij

Na razpolago za kombinirano metodo izmere smo imeli instrumente:

- LeicaGeosystems TCRP1201+R1000, samodejni tachimeter z možnostjo daljinskega upravljanja,
- LeicaViva GS15, GNSS sprejemnik ter
- CS15 terenski kontroler.

Radijska povezava med merskima instrumentoma omogoča uporabo sistema SmartPole, ki zagotavlja enostavno izvedbo kombinirane metode izmere.

Tahimeter TCRP1201+R1000 je instrument za izvedbo klasičnih terestričnih meritev. Gre za avtomatiziran tahimeter, ki ga lahko preko radijskega vmesnika brezplačno upravljamo s kontrolerjem. Ima funkcije kot so PowerSearch (samodejno iskanje reflektorja), ATR (samodejno precizno viziranje reflektorja), LOCK (samodejno sledenje reflektorja), izdelavo elektronske skice (Geoservis, 2012).

Preglednica 2 podaja natanost merjenja horizontalnih in vertikalnih kotov ter merjenja dolžin z/brez uporabe reflektorja, ki jih zagotavlja tahimeter.

Preglednica 2: Tehnični podatki za tahimeter TCRP1201+R1000 (Priročnik za uporabnike)

Tip instrumenta: TCRP1201+R1000		
Natanost merjenja horizontalnih smeri in vertikalnih kotov	ISO 17123-3	1"
Merjenje dolžin z uporabo reflektorja	std. dev. ISO 17123-4, standardna prizma	1 mm + 1,5 ppm
Merjenje dolžin brez uporabe reflektorja	std. dev. ISO 17123-4 za dolžine med 0 in 500 m	2 mm + 2 ppm

SmartAntena Leica Viva GS15 je GNSS sprejemnik, ki je zasnovan za samostojno delovanje, v povezavi s terenskim kontrolerjem, spletnim vmesnikom ali pa tahimetrom. Sprejemnik podpira vse obstoječe in predvidene GNSS signale, vsebuje tehnologijo za sledenje, obdelavo signalov, odpravljanje šumov in več potja, neprekinjeno kontrolo rezultatov, tehnologijo za homogeno natanost in sledljivost v RTK omrežjih, vsebuje komunikacijske vmesnike (Bluetooth, WLAN, radijski modemi) (Geoservis, 2012).

Kombinacija tehnologij TPS in GNSS oblikuje sistem SmartPole, ki ga v kompletu predstavlja GNSS sprejemnik SmartAntena, terenski kontroler CS z naloženo programsko opremo, avtomatiziran TPS instrument, togo grezilo in 360° reflektor.

Prednosti sistema SmartPole se pri izvedbi kombinirane metode izmere kažejo v:

- na točem grezilu imamo nameščen reflektor in GNSS sprejemnik, s klikom na kontrolerju v trenutku preklopimo iz načina GNSS-izmere v TPS izmero ter izmerimo točko z obema tehnologijama,
- s celotnim sistemom lahko preko kontrolerja upravlja ena oseba.

Dodatni instrumentarij, ki je potreben za izvedbo meritev, sestavljajo še:

- stativ za postavitev tahimetra,
- trinožnik za zagotovitev stabilnosti togega grezila z reflektorjem in GNSS sprejemnikom med meritvijo,
- 360° reflektor in/ali navadna vizirna tarča na togem grezilu,
- žepni merski trak.

Na spodnjih slikah 14 in 15 je prikazan tahimeter TCRP1201+R1000 in togo grezilo z GNSS sprejemnikom, 360° reflektorjem in dvonožnik, s pomočjo katerega smo zagotovili mirovanje togega grezila med obema meritvama.



Slika14: Sistem SmartPole



Slika15: Tahimeter TCRP1201+R1000

5.3 Območje izmere in rekognosciranje terena

Območje terenske izmere z uporabo kombinirane metode izmere za potrebo izdelave geodetskega načrtovanja je bilo izbrano na podlagi pogojev:

- omogočena bo GNSS-izmerta (odsotnost visokih objektov, dreves in ravni odbojnih površin ter odprt obzorje na južni strani, da bo omogočen dober sprejem signala),
- omogočena bo klasi na terestri na izmerta (vidnost med stojiščem in detajlno točko ter stojiščem in orientacijskimi točkami, zagotovitev ustrezne razdalje med stojiščem in orientacijskimi točkami)
- omogočena bo kombinacija tako GNSS-metode izmere kot klasi na terestri ne detajlne izmere za isto točko,
- bližina trigonometričnih točk z znanimi koordinatami v koordinatnem sistemu D48/GK za potrebe izvedbe transformacije,

- ustrezeno veliko območje z reprezentativno vsebinou za izris geodetskega načrtne (objekt, cesta, komunalna infrastruktura, vegetacija...).

Vsi postavljeni kriteriji za območje terenske izmere so bili izpolnjeni na obrobju naselja Križ v občini Komenda. Leži na severnem predelu Kamniško-Mengeškega polja in je reliefno manj razgibano območje. Odsotni so večji objekti, drevesa, ravne odbojne površine, mote in izvori elektromagnetnega valovanja, ki bi vplivali oziroma motili sprejem signala. Odprta ravnina je omogočala dobro medsebojno vidljivost točk za izvedbo terestrične nepolarne detajlne izmere.

Območje izmere je vsebovalo stanovanjski objekt s pripadajočim dvoriščem, vrtom z nekaj sadnimi drevesi ter dva manjša gospodarska objekta, ki jih prikazuje spodnjega slika 16. Zajeta je bila še širša okolica z lokalno cesto, njivami in travnikami, ki jih prikazuje spodnjega slika 17.



Slika 16: Območje je kombinirane metode izmere



Slika 17: Območje je kombinirane metode izmere

5.4 Zasnova izmeritvene mreže in stabilizacija točk

Za potrebe izvedbe meritev je bilo potrebno vzpostaviti izmeritveno mrežo, ki je predstavljala osnovo za terestrično detajlno izmerno. V bližini območja izmere ni bilo nobene že stabilizirane točke, ki bi nam lahko služila za izmerno, zato je bilo potrebno na novo določiti in stabilizirati izmeritvene točke. Njihovo število in položaj na terenu je bil izbran glede na kriterije, ki jih morajo orientacijske točke za nadaljnjo detajlno izmerno izpolnjevati:

- položaj točke je mogoče določiti z izvedbo GNSS opazovanj oziroma RTK metode izmere,
- točka se stabilizira na način, ki bo omogočil ponovitev izmere in zagotovil ustrezeno natanost,
- pri določitvi prostega stojišča morata biti vidni vsaj dve orientacijski točki,
- smeri med stojišči in orientacijo morajo biti im bolj enakomerno razporejene,

- oddaljenost orientacijskih točk od stojišča naj bi bila večja kot je največja oddaljenost med stojiščema in detajlno točko,
- oddaljenost od najbližje točke izmeritvene mreže mora biti manjša, kot je najkrajša oddaljenost med točkami izmeritvene mreže.

Stabilizirali smo te točke izmeritvene mreže: GPS1000, GPS2000, GPS3000 in GPS4000, ki so izpolnjevale zgoraj naštete zahteve. Slikovno so prikazane na spodnjem sliki 18.



Slika 18: Območje je izmere in izmeritvene točke

Točki GPS1000 in GPS3000 sta bili stabilizirani s kovinskimi žebelji kom z vdolbeno glavo zabitimi na robu asfalta lokalne ceste Križ-Mengeš. Točki GPS2000 in GPS3000 pa sta bili stabilizirani z leseni koli kom z vdolbeno jamico zabitimi v stabilna tla na robu njive.



Slika 19: Stabilizacija izmeritvene točke s kovinskimi žebelji kom



Slika 20: Stabilizacija izmeritvene točke z leseni koli kom

Slika 19 prikazuje stabilizacijo izmeritvene točke GPS3000 s kovinskim žebelji kom z vdolbeno glavo, ki je bil zabit v asfalt na lokalni cesti. Slika 20 prikazuje stabilizacijo izmeritvene točke GPS2000 z uporabo lesenega količka z vdolbeno jamico, ki smo ga zabili v tla.

5.5 Pridobitev podatkov o obstoju teh trigonometričnih točkah in izmera z RTK metodo izmere

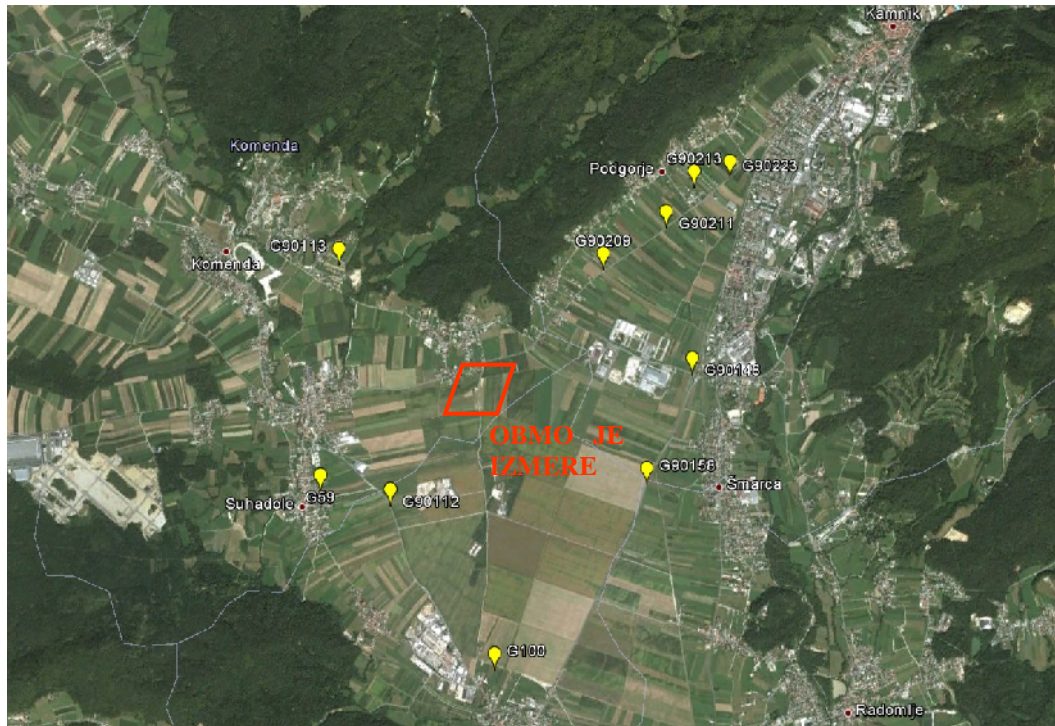
Detajlne točke smo določili v koordinatnem sistemu ETRS89/TM. Geodetski načrti smo izdelali v koordinatnem sistemu D48/GK, zato smo morali izvesti transformacijo. Za izračun transformacijskih parametrov na lokalnem nivoju potrebujemo točke z danimi koordinatami v obeh koordinatnih sistemih.

Podatke o obstoju teh horizontalnih temeljnih geodetskih točkah v bližini našega območja smo pridobili v sistemu PREG, ki ga je Geodetska uprava Republike Slovenije zgradila za vzpostavitev, vodenje in vzdrževanje vseh podatkov zemljiškega katastra na nivoju centralne baze. Med vsebinskimi sklopi za pregledovanje podatkov, so tudi podatki o geodetskih točkah. Pridobljene koordinate in višine trigonometričnih so zbrane v preglednici 3.

Preglednica 3: Koordinate trigonometričnih točk v D48/GK koordinatnem sistemu (PREG, Geodetska uprava Republike Slovenije).

Št. točke	Koordinata Y [m]	Koordinata X [m]	Nadmorska višina H [m]
100	467211,81	114636,43	326,230
59	465662,11	116112,17	329,860
90112	466267,11	116011,83	334,000
90113	465752,74	118057,58	355,450
90148	468811,86	117229,30	356,250
90158	468457,84	116273,76	345,890
90209	468019,17	118096,06	357,750
90211	468543,54	118474,14	363,403
90213	468768,97	118825,40	366,482
90223	469071,26	118921,22	369,621

Ustreznih trigonometričnih točk na obrobju našega območja je bilo deset. Njihova prostorska razporeditev je prikazana na spodnji sliki 21. Te točke so določene v D48/GK koordinatnem sistemu, za določitev koordinat še v ETRS89/TM je potrebno opraviti še RTK metodo izmere. Vseh deset točk je bilo posnetih v treh serijah.



Slika21: Prostorska razporeditev trigonometričnih točk (vir: Google Earth).

5.6 Zasnova poteka terenskih meritev

Pri RTK metodi GNSS izmere je inicializacija ključna nega pomena. To nostenje inicializacije ob različnih pogojih ni zanesljiva, zato je potrebno točke izmeritvene mreže ob ponovno vzpostavljeni inicializaciji izmeriti večkrat. Med posameznimi meritvami mora preteči vsaj 30 minut, da se pogoji meritev (predvsem geometrija satelitov) dovolj spremenijo. V primeru večjih odstopanj, slabo meritev pri naknadni obdelavi izložimo.

Koordinate toček izmeritvene mreže morajo biti določene s tem boljšo natanostjo in točnostjo, zato jih določamo večkrat v razmaku vsaj 30 minut.

Vsaka orientacijska točka je bila izmerjena z RTK metodo izmere, z načinom zajema Stop-and-Go. Interval registracije je bil 1 sekunda ter število izmerjenih epoh 90. To ki GPS1000 in GPS4000 sta bili izmerjeni trikrat, to ki GPS2000 in GPS3000 štirikrat, zavojni interval med zaporednima meritvama je bil minimalno 2 ur.

Za izvedbo klasične terestrične detajljne izmere potrebujemo stojišča kamor postavimo tachimeter. Njegov položaj mora omogočati vidnost do orientacijskih oziroma izmeritvenih točk ter do njih večjega števila detajlnih točk. Iz ogleda terena je bilo sklenjeno, da se postavijo štiri stojišča PS1, PS2, PS3 in PS4. Ker v bližini ni bilo ustrezne dane točke s koordinatami, ki bi nam služila za stojišče, so

vsa štiri stojišča in prosta stojišča z orientacijami na tri oziroma štiri točke izmeritvene mreže. Prostorsko razporeditev izmeritvenih točk in stojišč tahimetra glede na območje posnetka prikazuje slika 22.



Slika22: Prostorska razporeditev izmeritvenih točk in prostih stojišč glede na območje posnetka je izmere (Google Zemljevidi).

Točke detajljne izmere so bile v pogojih, ki so omogočali tako izvedbo RTK meritve kot tudi klasične terestrične izmeritev, merjene z obema metodama istočasno.

Z RTK metodo izmere so bile zajete z načinom Stop-and-Go. Interval registracije je bil 1 sekunda ter število izmerjenih epoh 10. Pri klasični terestrični detajljni izmeritvi je bila do vsake točke izmerjena poševna dolžina, zenitna razdalja in horizontalna smer.

Opazovanja in rezultate pridobljene na terenu, smo prenesli v računalniški program LeicaGeo Office. Pri obdelavi podatkov polarne izmere, nismo delali meteoroloških in projekcijskih popravkov dolžin, prav tako jih ni delal program LeicaGeo Office.

Program nam izpiše elipsoidne koordinate izmerjenih točk v koordinatnem sistemu ETRS89 in elipsoidno višino. Poda načina in določitev koordinat (izmerjena – MEAS, izračunana – MEAN), natančnosti določitev položaja in višine, izpiše elemente stohastičnega modela izravnave ter meritev. Položaje koordinat in višine točk smo zaradi lažje predstave prikazovali v koordinatnem sistemu D96/TM z ortometrično višino. Za prehod v projekcijo ravnine smo elipsoidne koordinate in elipsoidne višine pretvorili s spletno aplikacijo SiTraNet, ETRS89 → D96.

6 OVREDNOTENJE IZMERE

Kot smo spoznali pri pregledu terestrične metode izmere in GNSS-metod izmere, imajo opazovanja obeh metod pomanjkljivosti, zato je v nekaterih primerih smiselno uporabiti kombinacijo terestričnih in GNSS metod izmere. Izvedba kombinirane metode izmere se uporabi v primerih, kjer na delovišču:

- prihaja do večkratne izgube inicializacije,
- pogostih prekinitev signala,
- na obzorju je manj kot 5 satelitov ali je njihova geometrijska razporeditev preslabka,
- v okolini detajlnih točk so prisotne ovire, ki povzročajo omejen sprejem, prekinitev in odboj signala,
- RTK metoda GNSS izmere ne zagotovi zahtevane natančnosti.

Kombinirana metoda izmere se v splošnem izvede tako, da se ena izmed GNSS metod izmere uporabi za določitev koordinat točk izmeritvene mreže, klasi na terestrična detajlna metoda izmere pa se uporabi za določitev koordinat detajlnih točk. To je, ker so določene v izmeritveni mreži z GNSS-metodo izmere, služijo za navezavo oziroma orientacijo klasičnih meritev na koordinatni sistem ETRS89/TM.

Pri izvedbi kombinirane izmere na našem območju, smo zasnovali izmeritveno mrežo iz štirih točk, ki smo jih določili koordinate z RTK metodo GNSS-izmere. Detajlne točke pa smo v pogojih, ki so omogočali tako GNSS metodo izmere kot tudi klasično terestrično izmerilo, izmerili z obema metodama. Med meritvama smo togo gresilo z GNSS-sprejemnikom in prizmo stabilizirali s pomočjo dvonožnika. Za isto točko pridobimo tako koordinate, določene z dvema različnima metodama izmere. Odstopanja pri meritvah se bodo pojavljala zaradi dejstva, da se opazovanja izvedena terestrična metoda izmere vežejo na težnostno polje Zemlje. Z GNSS metodo izmere pa pridobimo opazovanja, ki temeljijo na določenju položaja v terestričnem sistemu in so vezana na geocentrične referenčne elipsoid. Del odstopanj pa je tudi posledica omejene natančnosti metode RTK.

Prvi pogoji za kakovostno izvedbo kombinirane metode izmere je zagotovitev kakovostne osnove za vključevanje klasičnih meritev v izbrani koordinatni sistem ETRS89/TM. To zagotovi kakovostno izvedeno GNSS-metodo izmere ter izmeritvene mreže.

Geodetskim podjetjem se pri izvajaju kombinirane metode izmere v zemljiškem katastru priporoča določitev izmeritvenih točk z boljšo natančnostjo od 2 centimetrov, ki jo predstavlja daljša polos a standardne elipse pogreškov (Mozetič in sod., 2008).

6.1 Izmeritvena mreža

Vsako to ko izmeritvene mreže smo z RTK metodo GNSS-izmere izmerili večkrat ter tako pridobili več nizov koordinat, ki se med seboj nekoliko razlikujejo. Pri nadalnjem računanju koordinat detajlnih tokov potrebujemo eno samo vrednost posameznih koordinat izmeritvene točke. Ker imamo nadštevilna opazovanja, izvedemo izravnavo za določitev optimalne vrednosti koordinat.

Izravnano vrednost koordinat posamezne izmeritvene točke nam poda program LeicaGeo Office pod oznako MEAN, vrednosti so predstavljene v preglednici 4. Gre za izračunano u težno sredino E_p za koordinato E , ki je identična na izravnavi v primeru, ko v izravnavi nastopajo le diagonalni elementi matrike kofaktorjev \mathbf{Q} .

Utežna sredina za koordinato E se izračuna po enačbi:

$$E_p = \frac{\sum_{i=1}^n E_i \cdot p_i}{\sum_{i=1}^n p_i}, \quad (33)$$

kjer so:

E_i ... koordinata i-te meritve,

n ... število vseh meritiv,

$p_i = \frac{1}{\sigma^2}$... utež i-te meritve,

σ ... standardni odklon i-te meritve.

Standardni odklon utežne sredine za koordinato E se izračuna po enačbi:

$$\sigma_{E_p} = \sqrt{\frac{\sum (E_i - E_p)^2 \cdot p_i}{(n-1) \cdot \sum p_i}}. \quad (34)$$

Standardni odklon utežne sredine za koordinato N se izračuna po enakem postopku z uporabo enačbe (33) in (34).

Točko zapišemo s podatki o natanosti določitev koordinat s pripadajočimi elipsami pogreškov. Po izravnavi je potrebno ugotoviti ali so pridobljeni rezultati zanesljivi. Pri tem gre za ugotavljanje in odstranjevanje grobo pogrešenih opazovanj.

Da smo se prepričali, da katero izmed opazovanj ni grobo pogrešeno, smo izvedli t.i. t -test. Gre za statistični test, ki ugotavlja prisotnost grobih pogreškov na osnovi rezultatov izravnave znanega

referenčno varianco a-posteriori $\hat{\sigma}_0^2$, ter se povezuje s porazdelitvijo verjetnosti popravkov opazovanj in njihovo skladnostjo s predpostavljenim porazdelitvijo opazovanj po porazdelitvi τ .

Kot nihelno hipotezo smo si postavili trditev:

H_0 : Model je pravilen in popoln; porazdelitvene predpostavke se ujemajo s stvarnostjo. (Med opazovanji ni grobih pogreškov.)

Nasproti alternativne hipoteze je:

H_1 : Model ni pravilen; porazdelitvene predpostavke se ne ujemajo s stvarnostjo. (Med opazovanji so grobi pogreški.)

Test izvedemo z uporabo testne statistike T_i , izračunane po ena bi (34), ki se pod predpostavko nihelne hipoteze porazdeljuje po porazdelitvi τ z r -prostostnimi stopnjami. Število r predstavlja število nadštevilnih opazovanj.

$$T_i = \frac{|v_i|}{\hat{\sigma}_{v_i}} = \frac{|v_i|}{\hat{\sigma}_0 \sqrt{q_{v_i} v_i}} \sim \tau(r), \quad (35)$$

kjer so:

$\hat{\sigma}_0$... referenčni standardni odklon,

$q_{v_i} v_i$... diagonalni element matrike kofaktorjev popravkov opazovanj, ki pripada popravku v_i .

Za stopnjo značilnosti testa izberemo $\alpha = 5\%$ ter določimo kritično vrednost $\tau_{\alpha/2}$, ki je odvisna od števila nadštevilnih opazovanj $r = n - n_0$, in jo izračunamo z ena bo (Grigillo in Stopar, 2003):

$$\tau_{\alpha/2}(r) = \frac{\bar{r} t_{\alpha/2}(r-1)}{\sqrt{r-1 + t_{\alpha/2}^2(r-1)}}. \quad (36)$$

Test uporabimo zaporedoma za vse standardizirane popravke T_i . Ni nihelno hipotezo zavrnemo, če je posamezna vrednost testne statistike T_i popravka v_i presegla kritično vrednost $\tau_{\alpha/2}$.

e velja: $\frac{|v_i|}{\hat{\sigma}_{v_i}} > 1$, je nakazana možnost, da popravek v_i pripada verjetno grobo pogrešenemu opazovanju.

Takrat je potrebno ugotoviti, ali so odkriti popravki verjetno grobo pogrešenih opazovanj v_i posledica grobih pogreškov v opazovanjih. Opazovanje z največjo vrednostjo testne statistike izpustimo in ponovimo izravnavo z $n - 1$ opazovanji, s katerimi dobimo popravke ter novo oceno a-

posteriorireferenčne variance $\hat{\sigma}_0^2$. Določimo novo vrednost α in ponovimo test z $r - 1$ prostostnimi stopnjami (Grigillo in Stopar, 2003).

Za izvedbo testa τ potrebujemo znano vrednost referenčne variance a-posteriori $\hat{\sigma}_0^2$, ki se izračuna po ena bi:

$$\hat{\sigma}_0^2 = \frac{\mathbf{v}^T \mathbf{P} \mathbf{v}}{r}, \quad (37)$$

kjer sta:

v ... vektor popravkov opazovanj,

P ... matrika uteži posamezne meritve.

Popravek opazovanj smo izračunali preko razlike med izravnano in merjeno vrednostjo opazovanja. Utež posamezne meritve je določena z izrazom in predstavlja vrednost $p_i = \frac{1}{\sigma_i^2}$. Standardni odklon posamezne meritve imamo podan v podatkih znotraj programa LeicaGeo Office.

Pri izračunu standardiziranega popravka T_i je vrednost referenčne standardnega odklona $\hat{\sigma}_0$ enaka vrednosti $\sqrt{\hat{\sigma}_0^2}$ za izravnano meritev, ki nam jo poda program LeicaGeo Office.

Diagonalni elementi matrike kofaktorjev popravkov opazovanj so določeni z izračunom matrike kofaktorjev popravkov opazovanj \mathbf{Q}_{vv} po ena bi:

$$\mathbf{Q}_{vv} = \mathbf{Q} - \mathbf{B} \cdot \mathbf{N}^{-1} \cdot \mathbf{B}^T, \quad (38)$$

kjer so:

Q ... matrika kofaktorjev opazovanj,

B ... matrika koeficientov ena b popravkov,

N ... matrika sistema normalnih ena b.

Matriko kofaktorjev opazovanj **Q** izrazimo s \mathbf{P}^{-1} ter matriko sistema normalnih ena b zamenjamo z matriko kofaktorjev določitve neznank $\mathbf{Q}_{\Delta\Delta}$, ki jo poda program Leica Geo Office. Dobimo ena bo:

$$\mathbf{Q}_{vv} = \mathbf{P}^{-1} - \mathbf{B} \cdot \mathbf{Q}_{\Delta\Delta} \cdot \mathbf{B}^T. \quad (39)$$

Preglednica 4: Merjene izmeritvene točke s pripadajočimi vrednostmi standardne elipse pogreškov in standardnega odklona višine (Priloga A)

Točka	Položajni koordinati v D96/TM		Ortometri na višina H [m]	Polos a elipse pogreškov [m]	Polos b elipse pogreškov [m]	Orientacija elipse pogreškov [°]	Standardni odklon višine [m]	
GPS1000	117384,2860	466623,2300	343,8510	0,0044	0,0028	0,0000	0,0137	IZRA UNANA UTEŽENA SREDINA
GPS1000/1	117384,2930	466623,2280	343,8620	0,0090	0,0046	6,4953	0,0121	merjena
GPS1000/2	117384,2770	466623,2290	343,8230	0,0111	0,0060	2,4080	0,0150	merjena
GPS1000/3	117384,2860	466623,2380	343,8710	0,0100	0,0075	7,8899	0,0205	merjena
GPS2000	117573,2810	466674,8120	344,3890	0,0077	0,0052	0,0000	0,0103	IZRA UNANA UTEŽENA SREDINA
GPS2000/1	117573,2860	466674,8180	344,4120	0,0081	0,0039	10,3960	0,0109	merjena
GPS2000/2	117573,2950	466674,7990	344,3890	0,0067	0,0053	-22,9912	0,0099	merjena
GPS2000/3	117573,2830	466674,8060	344,3590	0,0104	0,0049	0,8303	0,0141	merjena
GPS2000/4	117573,2620	466674,8230	344,3820	0,0068	0,0050	8,4379	0,0128	merjena
GPS3000	117649,6750	466628,8930	345,1470	0,0041	0,0019	0,0000	0,0097	IZRA UNANA UTEŽENA SREDINA
GPS3000/1	117649,6800	466628,8920	345,1660	0,0073	0,0034	12,8068	0,0104	merjena
GPS3000/2	117649,6750	466628,9010	345,1540	0,0075	0,0054	-34,0040	0,0108	merjena
GPS3000/3	117649,6820	466628,8920	345,1270	0,0086	0,0041	-1,7348	0,0122	merjena
GPS3000/4	117649,6630	466628,8890	345,1280	0,0074	0,0052	8,8805	0,0127	merjena
GPS4000	117470,4600	466494,4780	342,2020	0,0015	0,0011	0,0000	0,0118	IZRA UNANA UTEŽENA SREDINA
GPS4000/1	117470,4630	466494,4800	342,2180	0,0085	0,0037	14,5575	0,0129	merjena
GPS4000/2	117470,4580	466494,4780	342,2050	0,0081	0,0050	-41,8604	0,0115	merjena
GPS4000/3	117470,4610	466494,4760	342,1740	0,0106	0,0052	-4,9863	0,0156	merjena

Za določitev kritične vrednosti $\tau_{\alpha/2}$ smo za stopnjo značilnosti testa α privzeli vrednost 0,05, ki pri $1 - \alpha/2$ podaja verjetnost gotovosti 97,5%. Vrednost porazdelitve t pri prostostni stopnji 2 je $t_{1-\frac{\alpha}{2}(2)} = 4,303$; pri prostostni stopnji 3 pa je vrednost $t_{1-\frac{\alpha}{2}(3)} = 3,182$.

Izračunamo kritične vrednosti po ena, bi (36) za prostostni stopnji 2 in 3.

Vrednosti sta $\tau_{\alpha/2}(2) = 1,378$ in $\tau_{\alpha/2}(3) = 2,337$.

Posamezni standardizirani popravek primerjamo s kritično vrednostjo porazdelitve τ . Kjer je testna statistika večja od vrednosti kritične vrednosti $\tau_{\alpha/2}$, predvidevamo, da opazovanje vsebuje grobog pogrešek.

Preglednica 5: Vrednosti testnih statistik T_i izračunanih za opazovanja izmeritvenih točk

Točka	Ti			Kritična vrednost testa 1- /2	Testna statistika je presegla kritično vrednost
	Koordinata N	Koordinata E	Ortometrična višina H		
GPS1000/1	1,60410	0,71319	0,78950	1,378	ja, za koordinato N
GPS1000/2	2,06265	0,35663	2,01034	1,378	ja, za koordinato N in višino
GPS1000/3	0,00000	2,85340	1,46214	1,378	ja, za koordinato E in višino
GPS2000/1	0,64521	1,14406	2,25615	2,337	ne
GPS2000/2	1,80656	2,47885	0,00000	2,337	ja, za koordinato N
GPS2000/3	0,25809	1,14407	2,91751	2,337	ja, za višino
GPS2000/4	2,45177	2,09747	0,73909	2,337	ja, za koordinato N
GPS3000/1	1,21078	0,53039	1,99618	2,337	ne
GPS3000/2	0,00000	4,24385	0,81709	2,337	ja, za koordinato E
GPS3000/3	1,69514	0,53041	1,98586	2,337	ne
GPS3000/4	2,48523	2,12177	1,93415	2,337	ja, za koordinato N
GPS4000/1	2,06181	0,00000	1,35980	1,378	ja, za koordinato N
GPS4000/2	0,00000	0,00000	0,22804	1,378	ne
GPS4000/3	0,00000	1,76836	2,40715	1,378	ja, za koordinato E

Več opazovanj presegajo kritično vrednost τ testa in so bila označena kot verjetno grobo pogrešena opazovanja. Teh opazovanj ne bomo izključili, saj imamo zelo malo število nadštevilnih meritev. Zato izločujemo še preostalih nadštevilnih meritev bi izgubili na zanesljivosti rešitve. Kritična vrednost je bila presežena v manjši vrednosti, zato smo se odločili, da opazovanj ne bomo izključili iz nadaljnje izračuna.

Kot pravo vrednost izmeritvene oziroma orientacijske točke privzamemo izravnano vrednost, ki nam jo poda program LeicaGeo Office.

e privzamemo kriterij za določitev natanosti izmeritvenih točk v zemljiškem katastru, da je polos standardne elipse pogreškov mora biti krajša od 2 centimetra, so vse izmeritvene točke določene s predpisano natanostjo.

6.2 Kombinirana detajlna izmera

Po vzpostavljivosti izmeritvene mreže s točkami ustrezne natanosti določitev horizontalnega položaja, smo pričeli s kombinirano detajljno izmero: istočasno izmero detajlnih točk s klasificacijo polarno detajljno izmero in RTK metodo GNSS-izmere. Na območju izmere geodetskega posnetka smo zajeli 217 detajlnih točk, od tega jih je bilo 162 točk posnetih z obema metodama izmerek.

6.2.1 Polarna detajlna izmera

Pri polarni detajljni izmeri opazujemo dolžine in horizontalne smeri. Na območju izmerek smo izbrali štiri mesta, ki bodo služila kot stojišča atahimetra. Vsa štiri stojišča so prosta stojišča in določena preko opazovanj smeri in dolžin proti danim točkam. Za določitev prostih stojišč smo izvedli meritve proti izmeritvenim točkam kot prikazuje preglednica 6.

Preglednica 6: Opazovanja iz prostih stojišč proti izmeritvenim točkam (priloga A)

Prosto stojišče	Opazovanja na izmeritvene točke
PS1	GPS2000, GPS3000, GPS4000
PS2	GPS2000, GPS3000, GPS4000
PS3	GPS1000, GPS2000, GPS3000, GPS4000
PS4	GPS1000, GPS2000, GPS3000

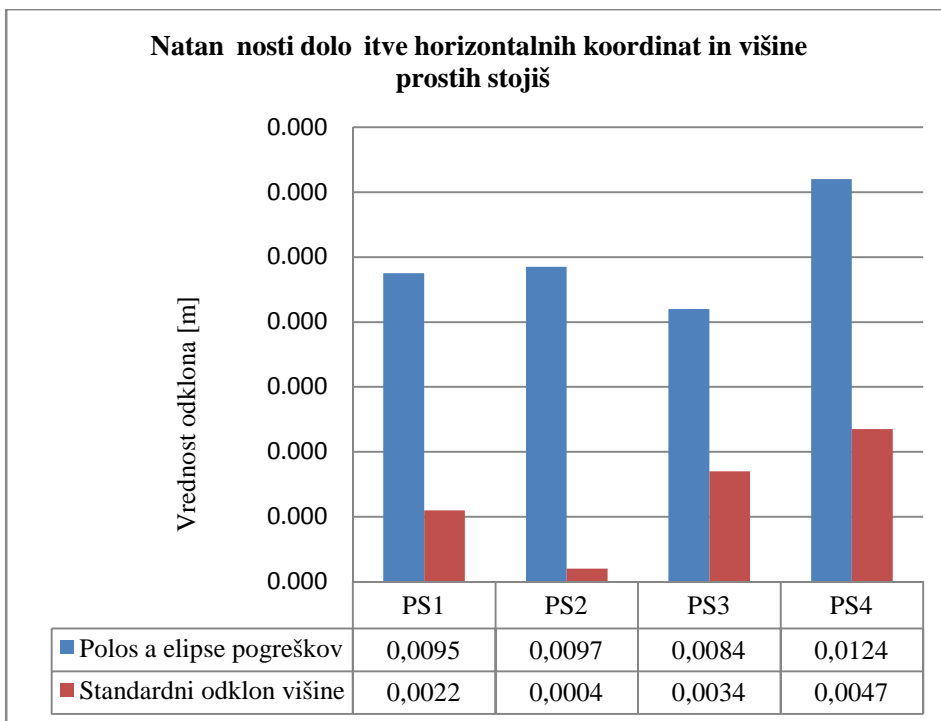
Instrument preko metode »Resection« sam izračuna koordinate in višino stojišča aterizračuna njihove natanosti. V primeru, da je z metodo »Resection« narejeno več kot minimalno število opazovanj na dane točke, instrument uporabi metodo najmanjših kvadratov za izravnavo opazovanj za določitev položaja stojišča in instrumenta.

Vpliv na natanost določitev položaja stojišča ima tudi natanost določitev izmeritvenih točk, na katera se posamezna prosta stojišča orientirajo. Preglednica 7 povzema izravnane vrednosti prostih stojišč s pripadajočimi natanostmi horizontalnih koordinat in višine.

Preglednica 7: Koordinate in višine prostih stojiš s pripadajočimi informacijami natanosti določitve (Priloga B1)

Stojiš e	Horizontalni koordinati v D96/TM		Ortometri na višina H [m]	Polos a elipse pogreškov [m]	Polos b elipse pogreškov [m]	Orientacija elipse pogreškov [°]	Standardni odklon višine [m]
	N [m]	E [m]					
PS1	117516,8030	466574,5140	344,8110	0,0095	0,0089	90	0,0022
PS2	117513,0260	466539,7990	344,3640	0,0097	0,0094	0	0,0004
PS3	117544,0920	466621,7080	345,4270	0,0084	0,0082	90	0,0034
PS4	117496,7500	466601,8520	345,7470	0,0124	0,0121	90	0,0047

Najboljša natanost določitve horizontalnega položaja stojiša PS3. Natanost višine ima nekoliko slabšo. Prosto stojiš e PS4 ima koordinate in višino določene z najslabšo natanostjo. Razmerje med natanostjo določitve horizontalnega položaja in višine za posamezno prosto stojiš e prikazuje slika 23.



Slika 23: Graf prikazuje natanost določitve horizontalnih koordinat in višine za prosta stojiš a (Priloga B1).

S klastno polarno detajlno izmerilo smo nato posneli 217 detajlnih tokov. Največ smo jih posneli s stojišem PS2 in PS3. Stojišči sta bili postavljeni tako, da sta zajeli širši del okolice objektov. Prosti stojišči PS1 in PS2, sta bili postavljeni tako, da smo lahko posneli objekte z očjo okolico (dvorišče, vrt). Število detajlnih tokov posnetih s teh dveh stojišč je zato manjše. Deležvseh detajlnih tokov posnetih s posameznega stojišča prikazuje preglednica 8.

Preglednica 8: Delež detajlnih tokov posnetih s posameznega stojišča (Priloga C).

Prosto stojišče	Delež opazovanih detajlnih tokov
PS1	11%
PS2	37%
PS3	44%
PS4	9%

Sledil je izračun koordinat detajlnih tokov ter pripadajočih natanosti.

Program Leica Geo Office nam poda izračune elipsoidne koordinate in elipsoidne višine detajlnih tokov ter vrednosti standardnih odklonov horizontalnih koordinat in višine. Določitev horizontalnega položaja in višine bomo obravnavali ločeno.

6.2.1.1 Izračun položajnih koordinat detajlnih tokov in natanosti horizontalnih koordinat

Natanost določitve horizontalnega položaja detajlnih tokov, najlažje predstavimo s standardno elipso pogreškov, ki določa območje, znotraj katerega se nahajata pravi koordinati detajlne toke z verjetnostjo 39,4%. Parametri standardne elipse pogreškov:

- daljša polos a ,
- krajsa polos b in
- zasuk daljše polosi elipse θ .

Parametri standardne elipse pogreškov se izračuna po ena bah:

$$a = \sqrt{\frac{\sigma_N^2 + \sigma_E^2}{2} + \sqrt{\frac{(\sigma_N^2 - \sigma_E^2)^2}{4} + \sigma_{NE}^2}}, \quad (40)$$

$$b = \sqrt{\frac{\sigma_N^2 + \sigma_E^2}{2} - \sqrt{\frac{(\sigma_N^2 - \sigma_E^2)^2}{4} + \sigma_{NE}^2}}, \quad (41)$$

$$\tan(2 \cdot \theta) = \frac{2 \cdot \sigma_{NE}}{\sigma_N^2 - \sigma_E^2}, \quad (42)$$

kjer so:

σ_E, σ_N ... standardni odklon ravninskih koordinat (N, E),

σ_{NE} ... kovarianca ravninskih koordinat.

Za izračun natanosti določitve horizontalnih koordinat detajlnih tokov pri polarni detajlni izmeri uporabimo prenos varianc in kovarianc z upoštevanjem natanosti določitve smeri in dolžin, ki jih zagotavlja instrument.

Za določitev horizontalnega položaja imamo dane vrednosti opazovanj x_i (dolžine d in kot α) ter pripadajoč standardne odklone opazovanj σ_d in σ_α . Sestavimo kovarianco matriko opazovanj Σ_{XX} .

$$\Sigma_{XX} = \begin{bmatrix} \sigma_d^2 & 0 \\ 0 & \sigma_\alpha^2 \end{bmatrix}$$

Oblikujemo funkcionalno zvezo med neznanimi kolonami y_j in opazovanji x_i ter izračunamo vrednosti neznank y_i . Pri polarni metodi sekoordinatni razlikidetajljne točke glede na stojiščno točko izračunataz ena bama:

$$E_D = d \cdot \sin \nu, \quad (43)$$

$$N_D = d \cdot \cos \nu. \quad (44)$$

Izračunamo parcialne odvode funkcionalnih zvez po opazovanjih ter sestavimo Jacobijevu matriko J .

$$J = \begin{bmatrix} \frac{\partial E_D}{\partial d} & \frac{\partial E_D}{\partial \nu} \\ \frac{\partial N_D}{\partial d} & \frac{\partial N_D}{\partial \nu} \end{bmatrix}$$

Sledi izračun kovarianco matrike neznank Σ_{YY} po enačbi:

$$\Sigma_{YY} = J \cdot \Sigma_{XX} \cdot J^T. \quad (45)$$

Pri natanosti določitve horizontalnih koordinat detajlnih tokov je potrebno upoštevati tudi vpliv natanosti določitve koordinat stojišča. Vrednosti standardnih odklonov detajlnih tokov podanih s programom LeicaGeo Office ne upoštevajo natanosti določitve koordinat stojišča, zato se prave vrednosti standardnih odklonov horizontalnih koordinat detajlnih tokov, izračunajo preko prenosa varianc in kovarianc.

Imamo enačbo (46) in (47) za določitev koordinat tokov v odvisnosti od stojiščne točke instrumenta:

$$E_D = E_{ST} + \Delta E_D, \quad (46)$$

$$N_D = N_{ST} + \Delta N_D. \quad (47)$$

Standardna odklona posamezne koordinate detajljne tokov se tako določita z enačbo:

$$\sigma_{E_D} = \sqrt{\left(\frac{\partial E_D}{\partial E_{ST}}\right)^2 \cdot \sigma_{E_{ST}}^2 + \left(\frac{\partial E_D}{\partial \Delta E_D}\right)^2 \cdot \sigma_{\Delta E_D}^2} = \sqrt{\sigma_{E_{ST}}^2 + \sigma_{\Delta E_D}^2}, \quad (48)$$

$$\sigma_{N_D} = \sqrt{\left(\frac{\partial N_D}{\partial N_{ST}}\right)^2 \cdot \sigma_{N_{ST}}^2 + \left(\frac{\partial N_D}{\partial \Delta N_D}\right)^2 \cdot \sigma_{\Delta N_D}^2} = \sqrt{\sigma_{N_{ST}}^2 + \sigma_{\Delta N_D}^2}, \quad (49)$$

kjer so:

$\sigma_{\Delta E_D}, \sigma_{\Delta N_D}$... standardna odklonakoordinatnih razlik N, E detajlne točke,

$\sigma_{N_{ST}}, \sigma_{E_{ST}}$... standardna odklonahorizontalnihkoordinat N, E prostega stojišča, s katerega je bila posnetna detajlna točka.

Z izračunanimi vrednostmi standardnih odklonov horizontalnih koordinat posamezne detajlne točk, lahko izračunamo vrednosti elementov standardne elipse pogreškov z enačbami (40), (41) in (42). Povprečne vrednosti polosi a standardne ellipse pogreškov so predstavljene v preglednici 9.

Preglednica 9: Povprečne vrednosti polosi a standardne ellipse pogreškov detajlnih točk glede na prostotočišča (Priloga C).

Stojišče	Povprečna vrednost polosi a standardne ellipse pogreškov detajlnih točk [m]
PS1	0,0096
PS2	0,0098
PS3	0,0086
PS4	0,0126

Opazimo, da ima v našem primeru največji vpliv na določitev koordinat detajlnih točk, vpliv natanosti določitve koordinat stojišča instrumenta (glej preglednico 7).

Glede na povprečno vrednost daljše polosi standardne ellipse pogreškov detajlnih točk določenih s stojiščem PS3, se opazi odstopanje pri devetih detajlnih točkah. Njihove vrednosti daljše polosi a se gibljejo okoli 0,97 centimetra in so prikazana v preglednici 10.

Preglednica 10: Detajlne točke opazovane s stojiščem PS3, ki po vrednosti polosi a največji meri odstopajo od povprečja (Priloga C).

Točka	Polos a elipse pogreškov [m]	Polos b elipse pogreškov [m]	Orientacija elipse pogreškov [°]	Upoštevanje natanosti določitve stojišča
TPS0104	0,0097	0,0084	18,87340	PS3
TPS0191	0,0092	0,0083	37,39834	
TPS0192	0,0097	0,0083	41,29676	
TPS0193	0,0097	0,0083	42,89009	
TPS0194	0,0097	0,0083	-43,10745	
TPS0195	0,0097	0,0083	-43,10745	
TPS0196	0,0097	0,0083	-41,47162	

TPS0197	0,0097	0,0083	34,98999	
TPS0198	0,0096	0,0084	-28,47497	

Razlog za slabšo natanost pri sedmih detajlnih tokah od TPS0191 do TPS0197 je v načinu izmere razdalj. Gre zavogalne točke hiše, ki so imele izmerjene dolžine brez uporabe reflektorja, torej z laserjem. Natanost določitve dolžine se na tak način nekoliko poslabša.

To ka TPS0198 je točka na robu žive meje. Na slabšo natanost jenajbrž vplivala vegetacija.

To ka TPS0104 ima prav tako precej slabšo položajno natanost od povprečja. Sicer gre za dobro vidno točko na odprtem delu travnika. Vzrok za odstopanje od povprečja v natanosti določitve horizontalnega položaja s stojiščem PS3 bil lahko bil v manjšem vertikalnem premiku med eno in drugo meritvijo.

Prosto stojiščem PS4 ima od vseh najslabšo natanost določitve horizontalnega položaja, zato imajo slabšo horizontalno natanost tudi detajlne točke opazovane s tega stojišča. Vrednost daljše polosi a standardne elipse pogreškov je pri 6 detajlnih tokah slabša od ostalih detajlnih tokov za slab milimeter. Prikazane so v preglednici 11.

Razlog slabše natanosti koordinat je ponovno v merjenju razdalj brez reflektorja. Tudi tu smo merili vogale hiše oziroma lopape.

Preglednica 11: Detajlne točke opazovane s stojiščem PS4, ki po vrednosti polosi a , v največji meri odstopajo od povprečja (Priloga C).

To ka	Polos a elipse pogreškov [m]	Polos b elipse pogreškov [m]	Orientacija elipse pogreškov [°]	Upoštevanje natanosti določitve stojišča
TPS0212	0,0128	0,0123	38,67296	PS4
TPS0213	0,0132	0,0123	41,95984	
TPS0214	0,0132	0,0122	-24,63560	
TPS0215	0,0133	0,0122	-28,30764	
TPS0216	0,0132	0,0121	-17,88603	
TPS0217	0,0133	0,0121	-12,63451	

V zemljiškem katastru Pravilnik o urejanju mej v 35. členu predpisuje natanost določitve horizontalnega položaja zemljiščnih točk z vrednostjo daljše polosia standardne elipse pogreškov krajšo od 4 centimetrov. Gre privzamemo ta kriterij tudi za določitev detajlnih točk za izdelavo geodetskega načrtta, v primeru da narednik ne poda zahtevane natanosti, so vse detajlne točke določene z boljšo natanostjo od zastavljene.

6.2.1.2 Izračun višinskih koordinat detajlnih tokov in natanosti višinskih koordinat

Natanost določitve višine predstavimo s standardnim odklonom višine.

Program LeicaGeo Office nam izpiše višine detajlnih tokov in pripadajočih standardnih odklonov višine. Dani standardni odkloni višine, enako kot to velja za določitev horizontalnega položaja, upoštevajo samo natanost določitve zenitne razdalje in dolžine, ki jo zagotavlja instrument.

Prava višinska natanost detajlne tokove je odvisna še od natanosti določitve višine instrumenta. Preko prenosa varianc in kovarianc dobimo vrednost natanosti določitve višine posamezne detajlne tokove v odvisnosti od prostega stojišča, s katerega je bila detajlna tokova opazovana. Standardni odklon se izračuna po enačbi:

$$\sigma_{H_D} = \sqrt{\sigma_{H_{ST}}^2 + \sigma_{\Delta H_D}^2}, \quad (50)$$

kjer je:

$\sigma_{\Delta H_D}$... standardni odklon določitve višine detajlne tokove,

$\sigma_{H_{ST}}$... standardni odklon določitve višine prostega stojišča.

Natanost določitve višine detajlnih tokov se v večini primerov ne razlikuje od natanosti določitve višine prostega stojišča (glej preglednico 7). Preglednica 12 prikazuje povprečne vrednosti standardnega odklona višine detajlnih tokov glede na prostega stojišča, s katerega so bile opazovane.

Preglednica 12: Povprečna vrednost standardnega odklona višine detajlnih tokov opazovanih s prostega stojišča (Priloga C).

Stojišče	Povprečna vrednost standardnega odklona višine detajlne tokove [m]
PS1	0,0022
PS2	0,0004
PS3	0,0034
PS4	0,0047

Celotno območje je v sistemu ortometričnih višin v mejah med 342 in 345 metri.

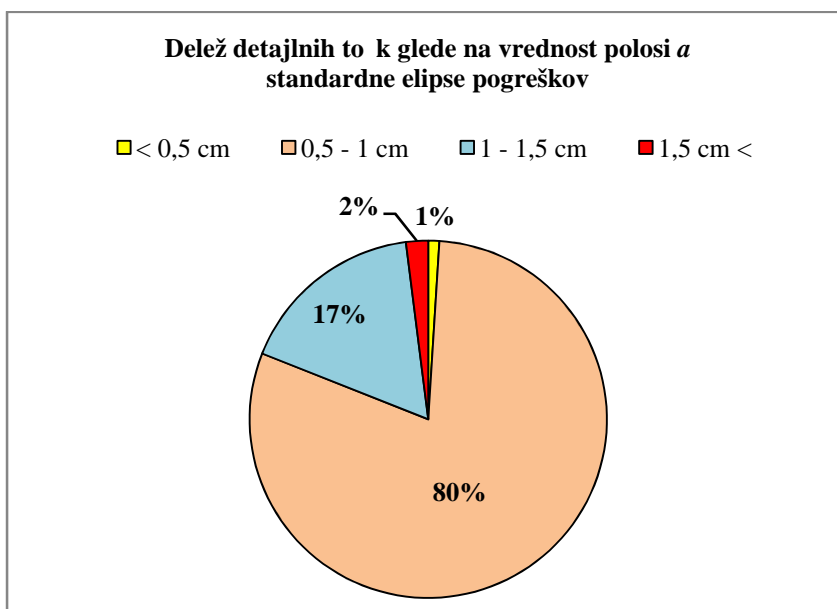
6.2.2 RTK detajlna metoda GNSS-izmere

Izmero z RTK metodo smo izvedli za 162 detajlnih točk. Pri navezavi v koordinatni sistem ETRS89/TM smo uporabili opazovanja VRS. Navezava na omrežje SIGNAL z uporabo VRS, nam zagotavlja določitev položaja z visoko natanostjo. Natanost določitev detajlnih točk z RTK metodo GNSS-izmere je odvisna od geometrijske razporeditve opazovanih satelitov, bližine ovir, uspešne inicializacije in od kakovosti opravljenih opazovanj.

Pri koordinatah točk, določenih z RTK metodo GNSS-izmere se daljša polosa standardne elipse pogreškov izračuna iz standardnih odklonov in kovariance horizontalnih koordinat detajlne točke. Natanost elipsoidne višine je določena s standardnim odklonom elipsoidne višine točke.

Vrednosti parametrov standardne elipse pogreškov in standardnega odklona višine nam za vse detajlne točke izmerjene z RTK metodo GNSS-izmere podaja program LeicaGeo Office (Priloga D).

Horizontalni položaj detajlnih točk določen z RTK metodo GNSS-izmere, je pri 80% določen z vrednostmi daljše polosia standardne elipse pogreškov v mejah od 0,5 do 1 centimetra. 19% detajlnih točk ima natanost horizontalnih koordinat slabše od 1 centimetra, zgolj 1% pa ima boljšo natanost horizontalnih koordinat kot 0,5 centimetra. Delež detajlnih točk glede na natanost horizontalnega položaja prikazuje slika 24.



Slika 24: Delež detajlnih točk izmerjenih z RTK metodo GMSS-izmere glede na vrednost daljše polosi a standardne elipse pogreškov (Priloga C).

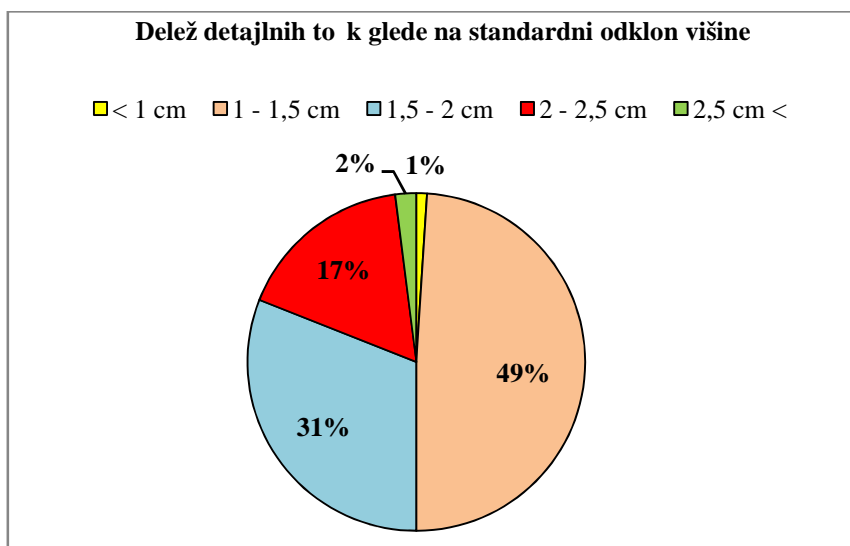
Detajlni točki GPS0190 in GPS0108 imata vrednosti daljše polosi elipse pogreškov 1,5 centimetra. Slaba natanost je v največji meri posledica bližine hiši oziroma dreves. Najslabšonatanost horizontalnih koordinat ima točka GPS0030 z vrednostjo polosi a standardne elipse pogreškov 2,6 centimetra. Točke z vrednostmi parametrov standardne elipse pogreškov so prikazane v preglednici 13.

Preglednica 13: Največja odstopanja horizontalnih koordinat detajlnih točk merjenih z RTK metodo GNSS-izmere (Priloga D)

Točka	Polos a elipse pogreškov [m]	Polos b elipse pogreškov [m]	Orientacija elipse pogreškov [°]
GPS0030	0,0264	0,0148	4,44500
GPS0108	0,0152	0,0091	5,25372
GPS0190	0,0151	0,0118	7,60642

Če privzamemo enak kriterij natanosti določitev horizontalnih koordinat detajlnih točk kot za detajlne točke določene s polarno detajlno izmero, vse detajlne točke izmerjene z RTK metodo izpolnjujejo zahtevano vrednost natanosti horizontalnih koordinat 4 centimetre ali manj daljše polosi a standardne elipse pogreškov.

Natanost višine detajlne točke določene z RTK metodo izmere, ki jo poda program LeicaGeo Office, je določena s standardnim odklonom višine. Največji delež detajlnih točk, 49%, ima višine določene z natanostjo med 1 in 1,5 centimetri. Slaba tretjina pa z natanostjo med 1,5 in 2 centimetri. Deleži detajlnih točk v odvisnosti od standardnega odklona višine so prikazane na sliki 25.



Slika 25: Vrednosti standardnih odklonov višine detajlnih točk izmerjenih z RTK metodo izmere.

Najslabše natanosti določene itve višine imajo tri točke: GPS0166, GPS0030 in GPS0190, ki so prikazane v preglednici 14.

Preglednica 14: Največje vrednosti standardnih odklonov višine detajlnih točk merjenih z RTK metodo GNSS-izmere (Priloga D).

Točka	Standardni odklon višine [m]
GPS0030	0,0303
GPS0166	0,0261
GPS0190	0,0444

Točka GPS0166 ima vrednost standardnega odklona 2,6 centimetra. Vrednost standardnega odklona je odtrostno večja kot pri točki GPS0030, kjer je 3,03 centimetri. Najslabšo natanost določene itve višine ima točka GPS0190. Vrednost standardnega odklona ima 4,44 centimetra in glede na ostale detajlne točke precej odstopa. Razlog za slabšo natanost določene itve višine je verjetno enak kot za slabšo natanost določene itve položaja, bližina hiše in dreves.

Opazimo, da so vrednosti natanosti določene itve višine v splošnem dvakrat slabše od natanosti določene itve horizontalnega položaja, kar prikazuje preglednica 15.

Preglednica 15: Povprečna vrednost natanosti določene itve horizontalnih koordinat in višine detajlnih točk opazovanih z RTK metodo GNSS-izmere (Priloga C).

	Polos a elipse pogreškov [cm]	Standardni odklon višine [cm]
Povprečna vrednost	0,84	1,60

6.2.3 Kombinirana metoda izmere

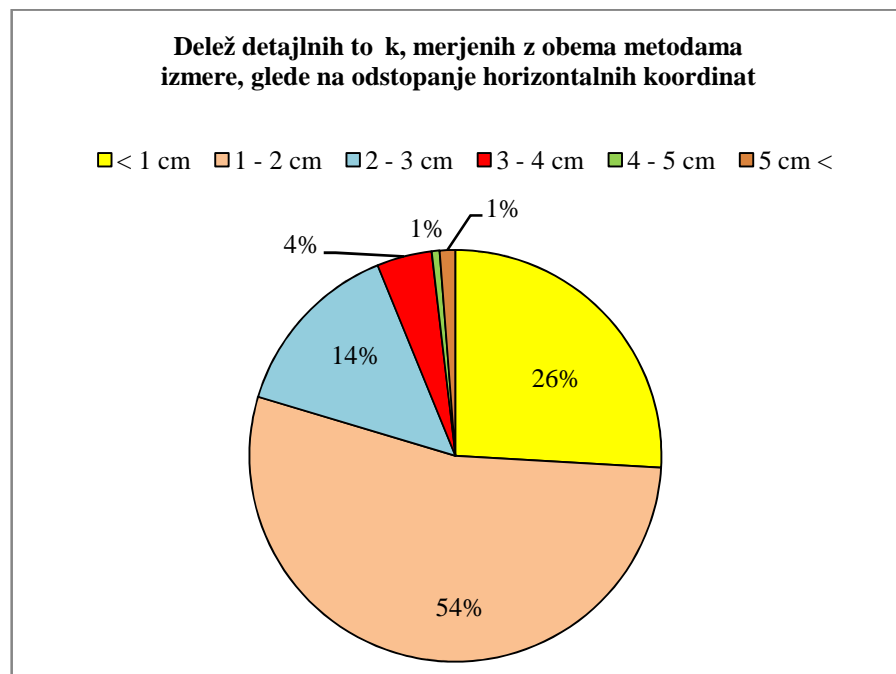
162 detajlnih točk, ki so bile posnete s polarno detajljno izmero, je izpolnjevalo pogoje tudi za izmero z RTK metodo GNSS-izmere (odsotnost fizikalnih ovir, dober sprejem signala, zadostno število satelitov). Zanimalo nas je, v kolikšni meri med seboj odstopajo koordinate istih točk, posnetih z različnimi metodama izmere. Ločno bomo obravnavali odstopanja po položaju in po višini.

6.2.3.1 Razlika horizontalnih koordinat določenih z RTK metodo GNSS-izmere in polarno metodo

Horizontalno razdaljo med položajema točk, izmerjene z obema metodama izmere, smo izračunali preko ene be:

$$r_p = \sqrt{(N_{TPS} - N_{RTK})^2 + (E_{TPS} - E_{RTK})^2}. \quad (51)$$

Vendar kot polovica detajlnih točk, ki smo jih izmerili z obema metodama izmere, se je po horizontalnem položaju med seboj razlikovala za vrednost razdalje med 1 in 2 centimetra. Et trtina detajlnih točk se je med seboj razlikovala za manj kot 1 centimeter. 14 % detajlnih točk je bilo med seboj razmaknjениh za vrednosti od 2 do 3 centimetrov. Ostalih 6% se je v horizontalnem položaju razlikovalo za več kot 3 centimetre. Vrednosti odstopanj ter delež detajlnih točk, ki so bile posnete z obema metodama izmere, je prikazan na sliki 26.



Slika 26: Horizontalno odstopanje med koordinatama identične točke posnete z RTK metodo GNSS-izmere in polarno metodo izmere (Priloga E1).

Izmed vseh 162 točk so največje razlike med koordinatami določeni z obema metodama izmere, imeli tri točke: 30, 190 in 44. Tudi točki 170 in 180 imata precej velike razlike v horizontalnem položaju. Vrednosti odstopanj so prikazane v preglednici 16.

Točki 30 in 190 sta imeli zelo slabi natanosti horizontalnih koordinat z RTK metodo GNSS-izmere. Prav tako so natanosti horizontalnih koordinat s polarno metodo dokaj slabe. Točka 44 ima razliko v koordinatah 4,7 centimetra. Podobno velja tudi za točko 43, ki ima vrednost razlike med horizontalnima koordinatama 3,8 centimetra. Dokaj veliki razlici horizontalnih koordinat detajlne točke, določene z obema metodama izmere, imata točki 170 in 180. Razlika znaša 3,6 centimetra.

Preglednica 16: Največja odstopanja horizontalnih koordinat pri detajlnih točkah, merjenih z obema metodama izmere (Priloga E1).

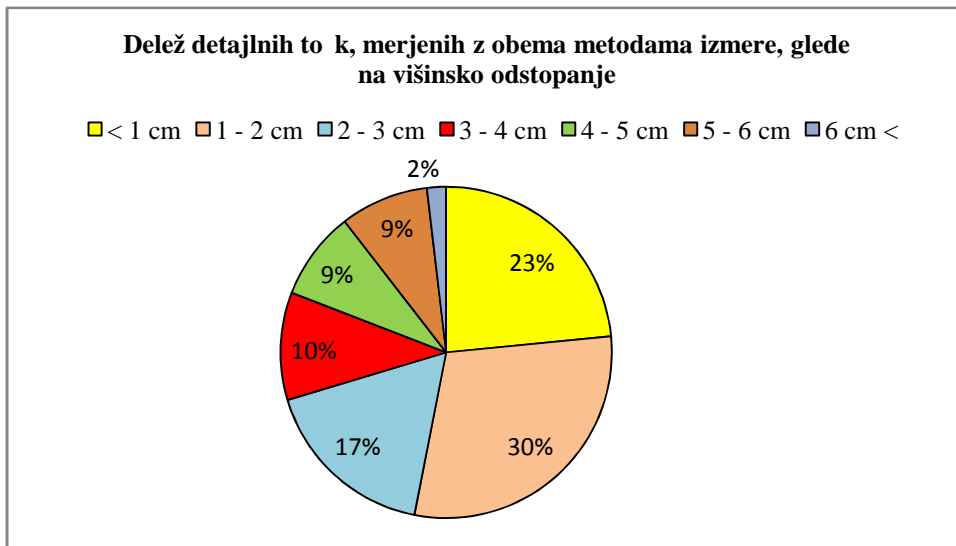
Skupna točka	Točka	Horizontalni koordinati v D96/TM			Ortometrična višina H [m]	Polos a elipse pogreškov [m]	Polos b elipse pogreškov [m]	Orientacija elipse pogreškov [°]	Odstopanja po horizontalnem položaju [m]
		N [m]	E [m]	[m]					
30	GPS0030	117526,32	466472,25	342,198		0,0264	0,0148	4,4450	0,05722
	TPS0030	117526,32	466472,19	342,14		0,0097	0,0096	22,1549	
43	GPS0043	117497,10	466520,70	342,536		0,0123	0,0050	24,2389	0,03748
	TPS0043	117497,07	466520,67	342,542		0,0099	0,0095	-20,0758	
44	GPS0044	117506,48	466515,93	342,441		0,0125	0,0052	24,3831	0,04669
	TPS0044	117506,44	466515,90	342,440		0,0098	0,0096	-22,8386	
170	GPS0170	117562,88	466632,07	343,956		0,0073	0,0058	5,1065	0,03569
	TPS0170	117562,85	466632,08	343,982		0,0087	0,0083	-26,0836	
180	GPS0180	117560,75	466610,33	344,071		0,0066	0,0051	5,5461	0,03536
	TPS0180	117560,72	466610,35	344,083		0,0085	0,0083	-32,9317	
190	GPS0190	117523,90	466586,04	343,551		0,0151	0,0118	7,6064	0,05217
	TPS0190	117523,85	466586,05	343,465		0,0087	0,0082	8,5456	

6.2.3.2 Razlika v višini točk izmerjenih z RTK metodo GNSS-izmere in polarno metodo izmere

Odstopanja po višini, določeni za isto točko z metodo trigonometrične višinomerstva znotraj polarne metode in GNSS višinomerstvom pri RTK metodi izmere, smo izračunali z ena bo:

$$r_v = H_{TPS} - H_{RTK}. \quad (52)$$

Razlike v odstopanju parov višin, ki so bile posnete za isto točko, so precej različne. Shematsko deležejo se razlik posnetih z obema metodama izmere glede na razlike v višini, prikazuje slika 26.



Slika 27: Višinsko odstopanje identificirano točk posnetih z RTK in polarno metodo izmere (Priloga D1).

23% detajlnih tokov se je po višini razlikovalo za manj kot 1 centimeter. Največji delež detajlnih tokov, 30%, se je po višini razlikoval za vrednosti med 1 in 2 centimetrom. Z večanjem razlike je poasi upadal tudi delež detajlnih tokov.

Izmed detajlnih tokov, ki so bile izmerjene z obema metodama, po velikosti razlike višine v primerjavi z ostalimi, izstopajo tri toke: 133, 134 in 190. Vrednosti so prikazane v preglednici 17.

Preglednica 17: Največja odstopanja po višini pri treh kahmerjenih z obema metodama izmere (Priloga E1).

Skupni tok	Točka	Horizontalni koordinati v D96/TM		Ortometrična višina H [m]	Standardni odklon višine [m]	Odstopanja po višini [m]
		N [m]	E [m]			
133	GPS0133	117576,62	466616,33	344,323	0,0106	0,0650
	TPS0133	117576,61	466616,34	344,388	0,0034	
134	GPS0134	117589,76	466619,36	344,450	0,0103	0,0630
	TPS0134	117589,76	466619,37	344,513	0,0034	
190	GPS0190	117523,9	466586,04	343,551	0,0444	-0,0860
	TPS0190	117523,85	466586,05	343,465	0,0034	

Pri treh kah 133 in 134 razlika v višini znaša 6,5 oziroma 6,3 centimetra. Razlog za tako veliko odstopanje je v obeh primerih slaba določitev višine pri RTK metodi GNSS-izmere. Standardna odklona določitev višine sta pri RTK metodi GNSS-izmere trikrat večja od standardnega odklona določitev višine pri polarni izmeri na teh dveh tokah.

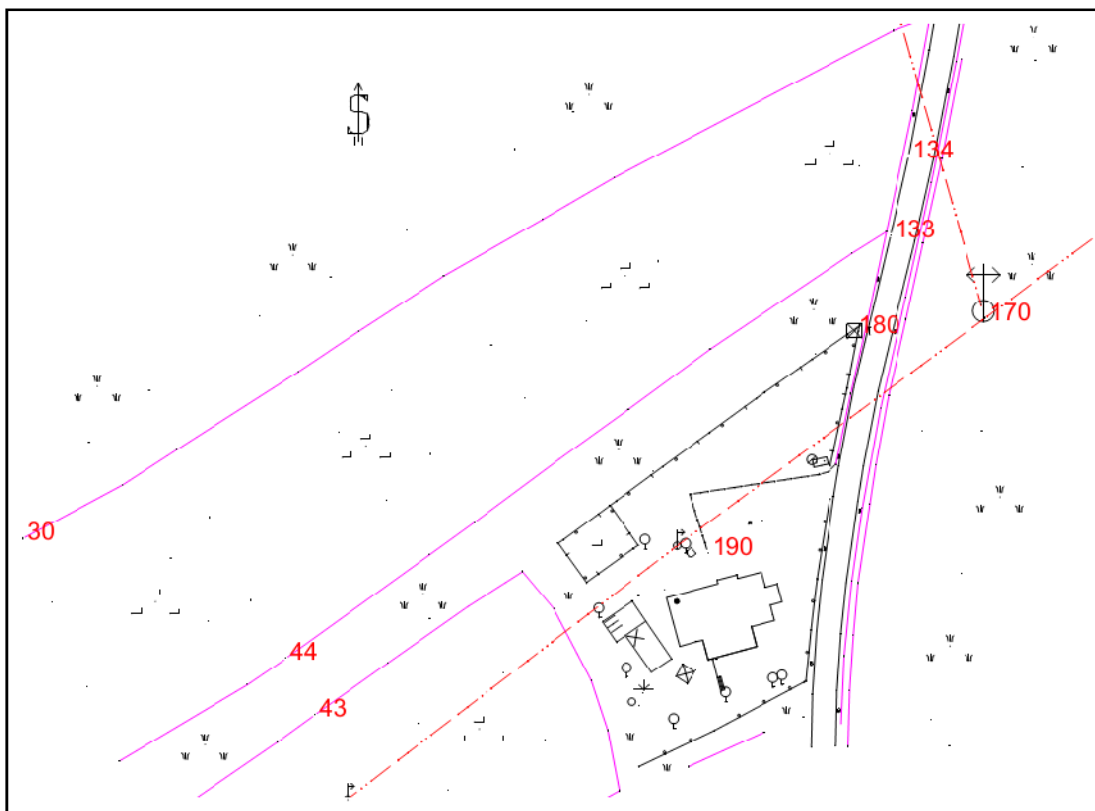
Še večja razlika v odstopanju višine se pojavi pri treh tokih 190. Ponovno je standardni odklon določitev višine pri RTK metodi veliko slabši kot pri polarni metodi izmere. Gre za to, ker na dvorišču, v bližini stanovanjske hiše in vegetacije, kar precej vpliva na natanost izmerek, toke pri RTK metodi izmerek.

6.2.3.3 Skupni pregled razlik v horizontalnega položaja in višine tokov izmerjenih z RTK metodo GNSS-izmerek in polarno metodo izmerek

Izmed 162 detajlnih tokov, ki smo jih izmerili dvakrat, z RTK metodo GNSS-izmerek in polarno metodo izmerek, je 8 takšnih, ki imajo nekoliko večja odstopanja po položaju ali višini. Toke so zbrane v preglednici 18, slikovno pa jih predstavlja slika 28 na naslednji strani.

Preglednica 18: Detajlne točke izmerjene z dvema metodama izmere z največimi horizontalnimi ali višinskimi odstopanjimi (Priloga E1).

Skupni točki	Točka	Polos a elipse pogreškov [m]	Polos b elipse pogreškov [m]	Orientacija elipse pogreškov [°]	Standardni odklon višine [m]	Odstopanja po horizontalnem položaju [m]	Odstopanja po višini [m]
30	GPS0030	0,02640	0,01480	4,4450	0,0303	0,05722	-0,0580
	TPS0030	0,00973	0,00961	22,1549	0,0006		
43	GPS0043	0,01230	0,00500	24,2389	0,0137	0,03748	0,0060
	TPS0043	0,00991	0,00950	-20,0758	0,0004		
44	GPS0044	0,01250	0,00520	24,3831	0,0144	0,04669	-0,0010
	TPS0044	0,00980	0,00959	-22,8386	0,0004		
133	GPS0133	0,00620	0,00460	14,5872	0,0106	0,00943	0,0650
	TPS0133	0,00848	0,00838	0,0000	0,0034		
134	GPS0134	0,00590	0,00440	14,6963	0,0103	0,01456	0,0630
	TPS0134	0,00845	0,00840	0,0000	0,0034		
170	GPS0170	0,00730	0,00580	5,1065	0,0240	0,03569	0,0260
	TPS0170	0,00866	0,00832	-26,0836	0,0034		
180	GPS0180	0,00000	0,00000	0,0000	0,0000	0,03536	0,0120
	TPS0180	0,00855	0,00830	0,0000	0,0034		
190	GPS0190	0,01510	0,01180	7,6064	0,0444	0,05217	-0,0860
	TPS0190	0,00866	0,00824	8,5456	0,0034		



Slika 28: Prostorsko prikazane detajlne točke izmerjene z obema metodama izmere, ki so imele največja odstopanja po horizontalnem položaju in višini (geodetski načrt)

Vrednosti odstopanj na detajlnih tokah, tako horizontalnih kot po višini, niso v največji meri posledica slabih natanosti določitve koordinat oziroma višine pri posamezni metodi izmere.

Izmed toki, ki so pri posamezni metodi izmere izstopale po slabi natanosti horizontalnega položaja ali višine, sta znotraj 8 detajlnih tokov izmerjenih z obema metodama izmere, ki imajo večji odstopanja po položaju ali višini, le dve takšni tokovi (GPS0030 in GPS0190). Ostale detajlne toke, tako TPS kot GPS, so imele vrednosti natanosti določitve položaja in višin znotraj okvirnih mej.

Odstopanjsa teh 8 detajlnih tokov v večji meri presegajo natanosti pri obeh metodah izmere.

6.2.3.4 Izračun srednjih vrednosti horizontalnega položaja in višine tokov izmerjenih z RTK metodo GNSS-izmere in polarno metodo izmere

Detajlnim tokom, ki smo jim določili horizontalni koordinati in višino s polarno detajlno metodo izmere in RTK metodo GNSS-izmere, smo izračuni srednje vrednosti položaja in višine. Tako pridobljene toke smo uporabili transformaciji pri izrisu geodetskega načrtova (priloga E2).

Srednje vrednosti izračuni smo z eno bami:

$$N_{D_{sr}} = \frac{N_{D_{TPS}} + N_{D_{GPS}}}{2}, \quad (53)$$

$$E_{D_{sr}} = \frac{E_{D_{TPS}} + E_{D_{GPS}}}{2}, \quad (54)$$

$$H_{D_{sr}} = \frac{H_{D_{TPS}} + H_{D_{GPS}}}{2}. \quad (55)$$

6.3 Izračun lokalnih transformacijskih parametrov

Koordinate detajlnih tokov smo želeli transformirati iz koordinatnega sistema ETRS89/TM v koordinatni sistem D48/GK. Uporabili smo 7-parametrično podobnostno transformacijo. Transformacijske parametre smo določili sami.

Za izračun lokalnih transformacijskih parametrov potrebujemo vsaj tri vezne toke, ki imajo podane koordinate v obeh koordinatnih sistemih. V okolini izmeritvenega območja smo našli 10 ustreznih trigonometričnih tokov z danimi koordinatami v koordinatnem sistemu D48/GK. Za določitev koordinat v koordinatnem sistemu ETRS89/TM smo izvedli še RTK metodo izmere. Opazovanja smo na vsaki toki izvedli trikrat. Imamo nadstevilna opazovanja in lahko izvedemo izravnavo.

Izravnano vrednost koordinat posamezne toke nam poda program LeicaGeo Office pod oznako MEAN (izračuna utežna sredina). To ki se pripisuje podatki o natanosti določitve koordinat s pripadajočimi elipsami pogreškov. Potrebno je ugotoviti ali so pridobljeni rezultati zanesljivi in ali

vsebujejo grobo pogrešena opazovanja. V ta namen izvedemo test po enakem postopku, ki smo ga uporabili za izmeritvene točke. Za določitev kritične vrednosti $\tau_{\alpha/2}$ smo za stopnjo značilnosti testa α privzeli vrednost 0,05, ki pri $1 - \alpha/2$ podaja verjetnost gotovosti 97,5%. Vrednost porazdelitve t pri prostostni stopnji 2 je $t_{1-\frac{\alpha}{2}}(2) = 4,303$.

Kritična vrednost izračuna po ena bi (36) in dobimo $\tau_{\alpha/2}(2) = 1,378$. Posamezni standardizirani popravek primerjamo s kritično vrednostjo porazdelitve τ kot je prikazano v preglednici 19.

Preglednica 19: Vrednosti testnih statistik T_i izračunanih za opazovanja trigonometričnih točk

Točka	Ti			Kritična vrednost testa $t_{1-\frac{\alpha}{2}}$	Testna statistika je presegla kritično vrednost
	Koordinata N	Koordinata E	Elipsoidna višina h		
59/1	0,00000	0,00000	1,42140	1,378	ne
59/2	3,36893	2,46167	0,33014	1,378	ja, obe koordinati
59/3	0,00000	1,96923	1,84327	1,378	ja, koordinata E in višina
100/1	0,00000	0,80915	1,39362	1,378	ja, višina
100/2	2,11174	1,61828	2,46077	1,378	ja, vse vrednosti
100/3	1,81004	1,34857	0,23953	1,378	ja, koordinata N
90112/1	1,13673	2,02694	0,39761	1,378	ja, koordinata E
90112/2	0,00000	1,47413	2,22731	1,378	ja, koordinata E in višina
90112/3	4,54661	0,00000	1,43126	1,378	ja, koordinata N in višina
90113/1	0,63472	1,71408	1,88145	1,378	ja, obe koordinati
90113/2	1,26947	1,71419	1,55089	1,378	ja, koordinata E in višina
90113/3	2,11574	0,00000	0,24154	1,378	ja, koordinata N
90148/1	2,08188	1,96647	0,05312	1,378	ja, obe koordinati
90148/2	0,78071	0,00000	0,95612	1,378	ja, višina
90148/3	1,17106	1,31100	2,65620	1,378	ja, višina
90158/1	2,15469	3,05263	2,37643	1,378	ja, vse vrednosti
90158/2	2,51401	0,00000	0,27775	1,378	ja, koordinata N
90158/3	1,43652	1,74439	0,16460	1,378	ja, obe koordinati
90209/1	0,00000	1,30534	1,55605	1,378	ja, višina
90209/2	2,41219	1,30538	1,75500	1,378	ja, koordinata N in višina
90209/3	1,11331	1,30532	0,99713	1,378	ne
90211/1	2,34188	1,66835	2,95280	1,378	ja, koordinata N in višina
90211/2	1,62129	0,00000	1,31920	1,378	ja, koordinata N
90211/3	0,54043	1,66823	0,62819	1,378	ja, koordinata E
90213/1	1,97290	1,08465	2,85136	1,378	ja, koordinata N in višina
90213/2	0,78916	1,08469	1,04863	1,378	ne
90213/3	0,78916	1,08473	0,20799	1,378	ne
90223/1	2,31831	1,81810	2,31843	1,378	ja, koordinata N in višina
90223/2	0,00000	0,66114	0,32618	1,378	ne
90223/3	1,35236	1,32233	1,33484	1,378	ne

80% vseh opazovanj je presegalo kritično vrednost testa in so bila označena kot grobo pogrešena. Ta opazovanja bi morali sedaj izključiti ter ponoviti izravnavo. Imamo malo nadstevilnih meritev ter kritične vrednosti so bile presegene v manjših vrednostih, zato teh opazovanj ne bomo izključili. Z

izločanjem še preostalih nadštevilnih meritev bi izgubili na zanesljivosti rešitve. Odločili smo se, da opazovanj ne bomo izključili iz nadalnjih izračunov.

Kot pravo vrednost koordinat trigonometričnih točk kvadratni sistem D96/TM, privzamemo izravnane vrednosti, ki nam jih poda program LeicaGeo Office in so prikazane v preglednici 20.

Preglednica 20: Horizontalne koordinate in višine trigonometričnih točk s pripadajočimi natanostmi (Priloga F1).

Točka	Horizontalni koordinati v D96/TM		Elipsoidna višina [m]	Polos a elipse pogreškov [m]	Polos b elipse pogreškov [m]	Orientacija elipse pogreškov [°]	Standardni odklon višine [m]
	N [m]	E [m]					
59	116598,752	465291,591	376,4389	0,002	0,0018	90	0,0109
100	115122,975	466841,207	372,9220	0,0037	0,0033	90	0,0046
90112	116498,271	465896,601	380,5472	0,0054	0,0009	90	0,0013
90113	118544,132	465382,275	402,1083	0,0047	0,0012	0	0,0079
90148	117715,828	468441,427	402,9285	0,0077	0,0031	0	0,0056
90158	116760,305	468087,419	392,4914	0,0028	0,0023	0	0,0097
90209	118582,616	467648,757	404,4737	0,0054	0,0015	0	0,0025
90211	118960,659	468173,149	410,1427	0,0056	0,0012	0	0,0064
90213	119311,905	468398,576	413,2555	0,0076	0,0018	0	0,0115
90223	119407,72	468700,875	416,4063	0,0061	0,0052	90	0,0199

Lokalne transformacijske parametre smo izračunali s pomočjo spletnih aplikacij za transformacije koordinatnih sistemov SiTraNet. Za izračun sedmih parametrov potrebujemo najmanj tri vezne točke. V primeru večjega števila veznih točk, se vrednosti parametrov določajo z izravnavo. Izračun lokalnih transformacijskih parametrov X, Y, Z, \dots, m , poteka po transformacijskem modelu podanem z enačbo (10).

Vezne točke, ki zagotavljajo najboljše transformacijske parametre, so v veliki meri odvisne od razporeditve okoli transformacije območja izmerek. Vezne točke naj bizontale vse detailne točke, ki jih bomo kasneje transformirali, ter so enakomerno razporejene po obodu celotnega območja izmerek. Z obodom veznih točk je grobo določeno območje veljavnosti transformacijskih parametrov (Tehnično navodilo za uporabo novega koordinatnega sistema ..., 2007).

Katere vezne točke nam zagotavljajo najboljše transformacijske parametre, ocenimo na podlagi odstopanj med danimi in transformiranimi koordinatami veznih točk. Vezne točke so lahko podane v 3-razsežnem prostoru ali v projekcijski ravnini kontrastne koordinatne sisteme.

Program SiTraNet podaja še podatke o:

- standardnem odklonu transformirane koordinate,

- standardiziranem popravku in
- vrednosti razmerja med standardiziranim popravkom ter kritično vrednostjo τ porazdelitve.

SiTraNet označi koordinato točke kot verjetno grobo pogrešeno, če je standardizirani popravek večji od 3,29, vrednost razmerja τ pa večja od 1 (Kozmus Trajkovski in Stopar, 2012).

Rezultat transformacije so vrednosti sedmih transformacijskih parametrov. Podatki, ki se navezujejo na določitev transformacijskih parametrov in nam pomagajo oceniti, ali so izbrane vezne točke zagotovile najboljšo določitev parametrov so:

- srednji standardni odklon, ki je izračunan dvakrat, enkrat iz odstopanj in drugi direktno v izravnavi,
- število veznih točk,
- število nadstevilnosti in
- skrajne in srednje vrednosti odstopanj v koordinatah točk.

Najprej smo za določitev lokalnih transformacijskih parametrov uporabili vseh 10 veznih točk: 59, 100, 90112, 90113, 90148, 90158, 90209, 90211, 90213 in 90223. Pridobljene rezultate smo ocenjevali glede na odstopanja med danimi in transformiranimi koordinatami veznih točk v projekcijski ravnini kontra nega datuma D48/GK, srednjih standardnih odklonov in srednjih vrednosti odstopanj. Rezultat izračuna transformacijskih parametrov z vsemi veznimi točkami je zajet v preglednici 21.

Preglednica 21: Primerjava danih in transformiranih koordinat vseh veznih točk v projekcijski ravnini kontra nego koordinatnega sistema D48/GK

to ka	x [m]	y [m]	H [m]	
100	114636,430	467211,810	326,230	dan
	114636,475	467211,735	326,285	transf.
	-0,045	0,075	-0,055	dan - transf.
59	116112,170	465662,110	329,860	dan
	116112,188	465662,103	329,773	transf.
	-0,018	0,007	0,087	dan - transf.
90112	116011,830	466267,110	334,000	dan
	116011,728	466267,107	333,878	transf.
	0,102	0,003	0,122	dan - transf.
90113	118057,580	465752,740	355,450	dan
	118057,542	465752,736	355,368	transf.
	0,038	0,004	0,082	dan - transf.
90148	117229,300	468811,860	356,250	dan
	117229,333	468811,864	356,178	transf.
	-0,033	-0,004	0,072	dan - transf.
90158	116273,760	468457,840	345,890	dan
	116273,814	468457,886	345,784	transf.
	-0,054	-0,046	0,106	dan - transf.

Se nadaljuje ...

... nadaljevanje preglednice 21.

to ka	x [m]	y [m]	H [m]	
90209	118096,060	468019,170	357,750	dan
	118096,086	468019,185	357,699	transf.
	-0,026	-0,015	0,051	dan - transf.
90211	118096,060	468543,540	363,403	dan
	118096,086	468543,558	363,342	transf.
	0,003	-0,018	0,061	dan - transf.
90213	118825,400	468768,970	366,482	dan
	118825,383	468768,973	366,436	transf.
	0,017	-0,003	0,046	dan - transf.
90223	118921,220	469071,260	369,621	dan
	118921,205	469071,264	369,578	transf.
	0,015	-0,004	0,043	dan - transf.

Transformacijski parametri

deltaX	-458,102630 m
deltaY	-118,383506 m
deltaZ	-397,787579 m
alfa	4,378773 "
beta	2,319946 "
gama	-12,059070 "
merilo	-14,258410 ppm

Srednji stand. odklon (matrični račun):	0,026 m
Srednji stand. odklon (iz odstopanj):	0,035 m
Število iteracij:	2
Število veznih točk:	10
Število nadštevil nosti	23

Najmanjše in največje vrednosti odstopanj (v cm):

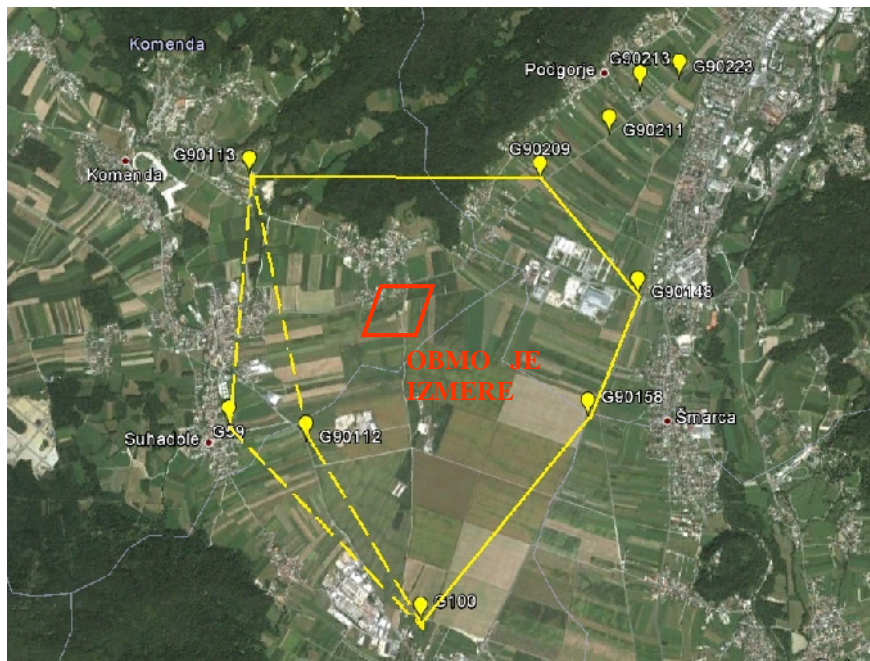
min	-5,4	-4,6	-5,5
max	10,2	7,5	12,2
sr.v.	0	0	6,2
sr.v.(abs)	3,5	1,8	7,3

Pri različnih kombinacijah veznih točk uporabljenih v transformaciji bomo vrednotili: razlike med danimi in transformiranimi koordinatami, srednje vrednosti standardnega odklona ter srednje vrednosti odstopanj pridobljene z uporabo transformacije z vsemi veznimi točkami.

Kombinacija veznih točk, ki bo zagotovila najmanjše razlike med danimi in transformiranimi koordinatami, srednje vrednosti odstopanj ter srednje standardne odklone, bomo privzeli za najboljšo ter izračunate transformacijske parametre uporabili za nadaljnjo transformacijo ostalih točk.

Glede na geometrijsko razporeditev trigonometričnih točk, bodo kot vezne točke zagotovo vključene točke 100, 90113, 90148 in 90158. Te štiri točke so edine točke, ki pokrivajo območje izmerek na severozahodu (90113), jugu (100), vzhodu (90148) in jugovzhodu (90158).

Spodnja slika 29 prikazuje območje, ki ga zajeme pet veznih tokov v kombinaciji z veznima točkama 59 in 90112.



Slika29: Prostorska predstavitev najugodnejših veznih tokov za določitev lokalnih transformacijskih parametrov (Google Earth)

Na zahodnem delu območja sta dve trigonometri ni toki (59 in 90112) locirani dokaj blizu in zanimalo nas je, kakšen vpliv na transformacijo imata obe skupaj in vsaka posebej. Za to ko na severovzhodu smo izbrali točko 90209. Rezultati različnih kombinacij veznih tokov so predstavljeni v spodnjih preglednicah 22.

Preglednica 22: Rezultati izrauna lokalnih transformacijskih parametrov pri kombinaciji različnih veznih tokov

Vezne to ke: 100 90113 59 90148 90158 90209

Srednji stand. odklon (matri ni racun):	0,026 m
Srednji stand. odklon (iz odstopanj):	0,035 m

Najmanjše in največje vrednosti odstopanj (v cm):

min	-3	-5,2	-5,5
max	5,9	7,1	10,6
sr.v.	0	0	5,7
sr.v.(abs)	2,2	2,7	7,6

Vezne to ke: 100 90113 90112 90148 90158 90209

Srednji stand. odklon (matri ni racun):	0,035 m
Srednji stand. odklon (iz odstopanj):	0,048 m

Se nadaljuje ...

... nadaljevanje preglednice 22.

Najmanjše in največje je vrednosti odstopanj (v cm):

min	-4,9	-4,2	-5,5
max	9,4	8,8	12,2
sr.v.	0	0	6,3
sr.v.(abs)	4,2	3	8,2

Vezne točke: **100** **90113** **90112** **59** **90148** **90158** **90209**

Srednji stand. odklon (matrični racun):	0,031 m
Srednji stand. odklon (iz odstopanj):	0,043 m

Najmanjše in največje je vrednosti odstopanj (v cm):

min	-4,4	-4,5	-5,5
max	10,1	8,3	12,2
sr.v.	0	0	6,7
sr.v.(abs)	4	2,5	8,2

Rezultati so bili najboljši pri upoštevanju zgolj vezne točke 59. Izračune transformacijskih parametrov smo naredili še z nekaj kombinacijami veznih toček 59, 100, 90113, 90148 in 90158 sprisključitvijo posameznih veznih toček 90209 oziroma 90213 oziroma 90223, predstavljene so v preglednici 23.

Preglednica 23: Kombinacija veznih točk 90209, 90213 in 90223 v primerjavi z 90209

stalne vezne točke **100** **90113** **59** **90148** **90158**

	90209	90211	90213	90223
Sred. stand. odklon (matrični racun):	0,026 m	0,035 m	0,026 m	0,026 m
Sred. stand. odklon (iz odstopanj):	0,035 m	0,048 m	0,035 m	0,035 m

Najmanjše in največje je vrednosti odstopanj (v cm):				Najmanjše in največje je vrednosti odstopanj (v cm):			
90209				90211			
min	-3	-5,2	-5,5	min	-4,9	-4,2	-5,5
max	5,9	7,1	10,6	max	9,4	8,8	12,2
sr.v.	0	0	5,7	sr.v.	0	0	6,3
sr.v.(abs)	2,2	2,7	7,6	sr.v.(abs)	4,2	3	8,2
90213				90223			
min	-3,7	-5,8	-5,5	min	-3,7	-5,7	-5,5
max	5,1	6,6	10,6	max	5,3	6,6	10,6
sr.v.	0	0	5,6	sr.v.	0	0	5,6
sr.v.(abs)	2,5	2,8	7,5	sr.v.(abs)	2,5	2,8	7,4

Vrednosti srednjih standardnih odklonov in srednjih vrednosti odstopanj so bili pri vključitvi posamezne vezne točke slabši kot pri kombinaciji veznih točk 59, 100, 90113, 90148, 90158 in 90209. Izračun transformacijskih parametrov smo ponovili še s kombinacijo veznih točk 90209 in 90211, 90209 in 90213, 90209 in 90223 ter še z veznimi točkami 90209, 90211 in 90213.

Izmed vseh kombinacij veznih točk med seboj je najboljši rezultat izračuna parametrov, dala kombinacija devetih veznih točk: 59, 100, 90113, 90148, 90158, 90209, 90211 in 90213. Rezultati so prikazani v preglednici 24.

Preglednica 24: Izračun lokalnih transformacijskih parametrov z najboljšo kombinacijo veznih točk

Primerjava danih in transformiranih koordinat veznih točk v proj. ravnini kontra nega datuma

to ka	x [m]	y [m]	H [m]	
100	114636,430	467211,810	114636,430	dan
	114636,447	467211,745	114636,447	transf.
	-0,017	0,065	-0,017	dan - transf.
90113	118057,580	465752,740	118057,580	dan
	118057,523	465752,723	118057,523	transf.
	0,057	0,017	0,057	dan - transf.
59	116112,170	465662,110	116112,170	dan
	116112,160	465662,099	116112,160	transf.
	0,010	0,011	0,010	dan - transf.
90148	117229,300	468811,860	117229,300	dan
	117229,326	468811,869	117229,326	transf.
	-0,026	-0,009	-0,026	dan - transf.
90158	116273,760	468457,840	116273,760	dan
	116273,800	468457,894	116273,800	transf.
	-0,040	-0,054	-0,040	dan - transf.
90209	118096,060	468019,170	118096,060	dan
	118096,079	468019,182	118096,079	transf.
	-0,019	-0,012	-0,019	dan - transf.
90211	118474,140	468543,540	118474,140	dan
	118474,135	468543,556	118474,135	transf.
	0,005	-0,016	0,005	dan - transf.
90213	118825,400	468768,970	118825,400	dan
	118825,383	468768,970	118825,383	transf.
	0,017	0,000	0,017	dan - transf.
90223	118921,220	469071,260	118921,220	dan
	118921,207	469071,262	118921,207	transf.
	0,013	-0,002	0,013	dan - transf.

Srednji stand. odklon (matrični račun):	0,020 m
Srednji stand. odklon (iz odstopanj):	0,027 m

Najmanjše in največje vrednosti odstopanj (v cm):

min	-4	-5,4	-5,5
max	5,7	6,5	10,6
sr.v.	0	0	5,5
sr.v.(abs)	2,3	2,1	6,7

Sedmih lokalnih transformacijskih parametrov določenih z 9 veznimi točkami 59, 100, 90113, 90148, 90158, 90209, 90211 in 90213 ima vrednosti:

$\Delta X =$	-478,626778 m
$\Delta Y =$	-123,818006 m
$\Delta Z =$	-419,779439 m
$\alpha =$	3,688151"
$\beta =$	2,139939"
$\gamma =$	-12,802594"
$m =$	-9,457417 ppm

Lokalne transformacijske parametre bomo uporabili za transformacijo detajlnih, stojiščnih in izmeritvenih točk v koordinatni sistem D48/TM. Pridobljene transformirane točke bomo uporabili za izris geodetskega načrtovanja.

Zanimalo nas je tudi, kakšna so odstopanja transformiranih koordinat točk pri uporabi danih transformacijskih parametrov in lokalnih transformacijskih parametrov, iz koordinatnega sistema ETRS89 v koordinatni sistem D48. Transformirali smo izmeritvene točke z danimi transformacijskimi parametri za Gorenjsko in Slovenijo-splošno ter z lokalnimi transformacijskimi parametri.



Slika 30: Transformacijsko območje je Gorenjska (Geodetska uprava Republike Slovenije)

Katere dane parametre bomo vzeli, smo se odločili glede na to, katero transformacijsko območje je najbolje pokrije naše območje izmerek. Smiselno je bilo primerjati transformirane koordinate s

parametri, ki veljajo za celotno območje Slovenije, ter z enim izmed parametrov danih za 7-regij, ki najbolje zajamejo naše območje izmere.

Na Geodetski upravi Republike Slovenije si lahko tudi slikovno pogledamo, katera območja zajemajo transformacijski parametri za 7-regij. Na zgornji sliki 32 je prikazano območje Gorenjske.

Vrednosti transformiranih koordinat in višin ter razlike v koordinatah in višinah glede na transformacijske parametre prikazuje preglednica 25.

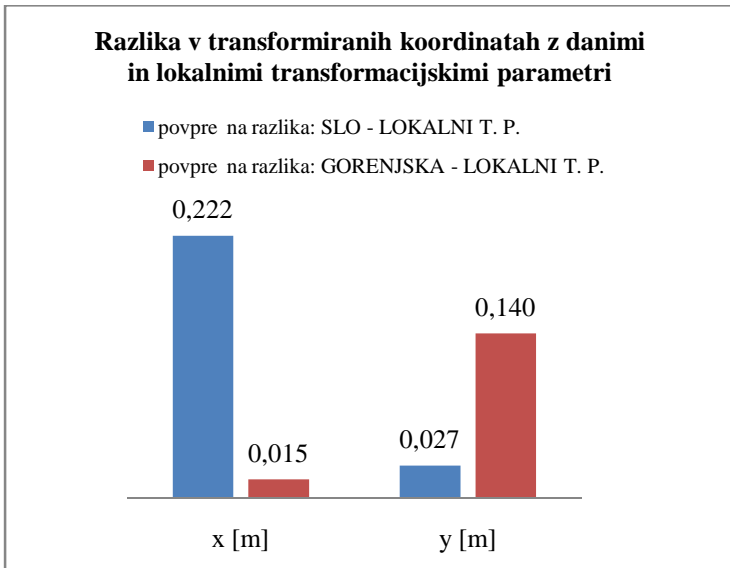
Preglednica 25: Primerjava transformiranih koordinat in višin izmeritvenih točk v koordinatnem sistemu D48/GK glede na razlike transformacijske parametre

točka	Primerjava	Koordinata x [m]	Koordinata y [m]	Nadmorska višina H [m]
GPS1000	SLO-spološni	116897,952	466993,727	343,845
	GORENJSKA	116897,750	466993,560	343,845
	LOKALNI T. P.	116897,730	466993,701	343,851
	razlika: SLO - LOKALNI T. P.	0,222	0,026	-0,006
	razlika: GORENJSKA - LOKALNI T. P.	0,020	-0,141	-0,006
GPS2000	SLO-spološni	117086,946	467045,305	344,384
	GORENJSKA	117086,742	467045,138	344,384
	LOKALNI T. P.	117086,724	467045,277	344,389
	razlika: SLO - LOKALNI T. P.	0,222	0,028	-0,005
	razlika: GORENJSKA - LOKALNI T. P.	0,018	-0,139	-0,005
GPS3000	SLO-spološni	117163,337	466999,384	345,141
	GORENJSKA	117163,133	466999,217	345,141
	LOKALNI T. P.	117163,115	466999,356	345,147
	razlika: SLO - LOKALNI T. P.	0,222	0,028	-0,006
	razlika: GORENJSKA - LOKALNI T. P.	0,018	-0,139	-0,006
GPS4000	SLO-spološni	116984,122	466864,975	342,197
	GORENJSKA	116983,920	466864,809	342,197
	LOKALNI T. P.	116983,899	466864,948	342,202
	razlika: SLO - LOKALNI T. P.	0,223	0,027	-0,005
	razlika: GORENJSKA - LOKALNI T. P.	0,021	-0,139	-0,005

Razlike v koordinatah točk so nekoliko večje pri primerjavi med transformiranimi koordinatami z lokalnimi transformacijskimi parametri ter parametri za območje celotne ozemlje Slovenije. Takšen rezultat je priakov, saj je že v osnovi natanost transformacije z uporabo transformacijskih parametrov za celotno ozemlje Slovenije toliko slabša.

Območje izmere oziroma izmeritvene točke, katerih koordinate smo transformirali, ležijo glede na transformacijsko regijo Gorenjska na njenem robu. Optimalno transformacijo koordinat točk bi transformacijski parametri regije Gorenjska zagotavljali točkam, ki so bližje težištu transformacijskega območja regije Gorenjska. Z oddaljevanjem od težišta pa kakovost transformiranih koordinat točk pada (Tehnično navodilo za uporabo novega koordinatnega sistema ..., 2007).

Povprečna odstopanja transformiranih koordinat meritvenih točk glede na uporabljene transformacijske parametre predstavlja spodnja slika 31.



Slika 31: Razlika v transformiranih koordinatah glede na transformacijske parametre

7 GEODETSKI NA RT

Geodetski na rt predstavlja končni rezultat kombinirane metode geodetske izmere izvedene na območju stanovanjske hiše v naselju Križ, občina Komenda. Geodetski na rt je posnetek dejanskega stanja na terenu in bo služil za namen zunanjega uređevanja.

Grafični del geodetskega na rta je izdelan po navodilih in smernicah topografskega ključa, ki je objavljen na spletni strani Geodetske uprave Republike Slovenije.

Geodetski na rt smo izdelali v starem koordinatnem sistemu D48/GK, zato smo vse detajlne točke, z uporabo lokalnih transformacijskih parametrov, transformirali iz koordinatnega sistema ETRS89 (elipsoidni koordinati φ , λ in elipsoidna višina h) v koordinatni sistem D48/GK.

Uporabljeni transformacijski parametri:

$\Delta X =$	-478,626778 m
$\Delta Y =$	-123,818006 m
$\Delta Z =$	-419,779439 m
$\alpha =$	3,688151"
$\beta =$	2,139939"
$\gamma =$	-12,802594"
$m =$	-9,457417 ppm

V geodetskem na rtu smo uporabili izračune srednje vrednosti položajnih koordinat in višine detajlnih točk, ki so bile posnete z obema metodama izmere, ter preostanek točk, ki so bile posnete samo s polarno detajlno izmerjo.

Za oblikovanje geodetskega na rta smo uporabili računalniški program Geos6. Geodetski na rt je izrisan v merilu 1:800 in je priložen diplomskej nalogi v prilogi G2. Certifikat geodetskega na rta je v prilogi G1.

8 ZAKLJUČEK

Na območju Mengeškega polja smo v bližini naselja Križ za potrebe geodetskega načrtovanja izvedli kombinirano metodo izmere. Posneli smo 217 točk, ki so nam omogočale izris geodetskega načrtovanja za potrebe ureditve okolice.

Za kombinirano metodo izmere smo uporabili sistem LeicaSmartPole, ki omogoča enostavno izvedbo kombinirane metode izmere. Preko radijske povezave smo lahko na daljavo upravljali z elektronskim tahimetrom ter tako posneli detajlno točko s polarno metodo izmerila in istočasno tudi z RTK metodo GNSS-izmere. Na vsaki točki smo med meritvama toga grezilo z GNSS-sprejemnikom (anteno) in reflektrojem stabilizirali z dvonožnikom. S sistemom SmartPole je lahko upravljal en sam operater.

162 detajlnih točk smo lahko izmerili z dvema različnima metodama izmere: terestrično polarno metodo izmere in RTK metodo GNSS-izmere. Želeli smo ugotoviti, v kolikšni meri pari koordinat in višine identični nih točk med seboj odstopajo.

Opazovanja so se vezala na koordinatni sistem ETRS89. V bližini območja izmere nismo imeli ustreznih točk z danimi koordinatami v koordinatnem sistemu ETRS89, zato smo jih morali določiti na novo. Točke izmeritvene mreže so služile za navezavo terestričnih opazovanj polarne metode izmere v koordinatni sistem ETRS89, zato smo morali zagotoviti im boljšo natanost izmeritvenih točk.

Izmeritvene točke smo izmerili z RTK metodo GNSS-izmere v treh serijah. Med posameznimi meritvami je moralno preteči dovolj časa, da se je spremenil geometrijski položaj satelitov. S tem smo zagotovili neodvisne vrednosti meritev. Izravnane vrednosti položajev izmeritvenih točk so bile prizvete za orientacijske točke pri določitvi prostega stojišča za polarno metodo izmere. Po izravnavi opazovanj smo se želeli prepričati, da opazovanja ne vsebujejo grobih pogreškov. Uporabili smo test τ. Tretjina opazovanj je v neki meri presegala kritično vrednost, kar nas opozarja na možnost prisotnosti grobega pogreška. Testne statistike sicer niso v večji meri presegale kritične vrednosti. Zaradi manjšega števila nadstevilnih opazovanj smo se tako odločili, da bomo v nadaljnji izračunih upoštevali vse meritve. S tem smo tvegali prenos grobih pogreškov na določitev položaja prostega stojišča ter preko njega na detajlne točke.

Natanost določitev horizontalnega položaja so bile pri treh izmeritvenih točkah boljše od 0,5 centimetra, pri izmeritveni točki GPS2000 je bila natanost določitev horizontalnega položaja 0,77 centimetra. Natanost določitev višine izmeritvenih točk je bila v grobem dvakrat slabša od

natanosti določitve horizontalnega položaja. Vrednosti standardnih odklonov so se gibale med 0,97 in 1,37 centimetri.

Za stojišča tahimetra pri polarni metodi izmere, smo izbrali poljubno točko, ki smo jo določili položaj preko določitve prostega stojišča a. Prosto stojišč e smo določili z opazovanji na vsaj dve izmeritveni točki. Stojišč je moralo ustrezati zahtevam postavitve prostega stojišča a. Prosti stojišči PS1 in PS2 sta bili določeni horizontalno natanostjo 0,95 oziroma 0,97 centimetri. Višinsko sta pa imeli natanosti zelo različne. Prosto stojišč e PS1 je bilo določeno z natanostjo določitve višine 0,22 centimetra in prosto stojišč e PS1 0,04 centimetra. Prosto stojišč e PS3 je bilo določeno z najboljšo horizontalno natanostjo 0,82 centimetra, prosto stojišč e PS4 pa z najslabšo natanostjo 1,24 centimetra. Natanost določitve višine sta oba stojišča imela 0,34 oziroma 0,47 centimetra.

S polarno metodo izmere smo izmerili 217 točk. Koordinate točk in višino smo določili preko opazovanih dolžin, horizontalnih smeri in zenitnih razdalj. 13 točk je bilo takšnih, katerim smo dolžine izmerili z laserjem. Te točke so bile vogalne točke hiše, ki jih zaradi vegetacije med detajlno točko in stojiščem instrumenta, nismo mogli posneti z uporabo reflektorja. Posneli smo jih zaradi izrisa objekta v geodetskem nartu.

Pri ostalih 162 detajlnih točkah so bili izpolnjeni pogoji tudi za izmero z RTK metodo GNSS izmere. Položaj smo določili ili z navezavo na opazovanja VRS v omrežju SIGNAL.

Položaji detajlnih točk, določeni s polarno metodo izmere, so v največji meri odvisni od natanosti določitve položaja stojišča ne točke, s katere smo opazovali detajlne točke. Položaji detajlnih točk, določeni z RTK metodo GNSS izmere, so odvisni od geometrijske razporeditve satelitov, kakovosti prejetih popravkov, inicializacije. Opazna so bila predvsem odstopanja med natanostjo določitve horizontalnega položaja in višine pri RTK metodi GNSS izmere. Višinska natanost je bila vsaj dvakrat slabša.

Razlike med paroma položajnih koordinat identičnih točk so imele vrednosti od 1 do 2 centimetra. Trečina identičnih točk se je po položaju razlikovala za manj kot 1 centimeter. 2% detajlnih točk, pa je med seboj bila oddaljena za vrednosti od 4 do 6 centimetrov. Podobno je bilo pri odstopanju višin. 23% detajlnih točk se je po višini razlikovalo za manj kot 1 centimeter. Za vrednosti od 1 do 2 centimetrov se je med seboj razlikovalo 30% in 17% detajlnih točk. Ostale detajlne točke so imele razlike za vrednosti razlike višine od 3 do 9 centimetrov. V splošnem se je pri razlikah v višini detajlnih točk posnetih z obema metodama izmerek, pojavil večji razpon kot pri razlikah v položaju.

Nekoliko več je razlike, tako pri v položaju kot v višini, so se pojavile pri 5% vseh detajlnih tokov. Razlike niso posledica slabih natanosti določitve horizontalnega položaja in višine posamezne metode izmere, saj so v tem ni meri presegale vrednosti natanosti določitve horizontalnega položaja in višine obeh metod. Delež takšnih tokov lahko predstavlja problem, saj jih je samo glede na natanost določitve koordinat in višine, težko izložiti kot slabo določene toke.

Geodetski načrt smo izdelali v koordinatnem sistemu D48/GK. Za transformacijo detajlnih tokov smo izračunali lokalne transformacijske parametre. Parametri so bili določeni preko najboljše kombinacije veznih tokov. Vezne toke so bile trigonometrične toke, z danimi koordinatami v D48/GK koordinatnem sistemu, v bližini območja izmere. Te toke smo v treh serijah posneli še z RTK metodo GNSS-izmere in preko izravnave pridobili koordinate v koordinatnem sistemu ETRS89.

Opazovanja serij trigonometričnih tokov z RTK metodo izmere smo prav tako preverili s testom τ . Kritična vrednost je bila pri 80% opazovanj prekora ena, kar kaže na možnost grobih pogreškov. Enako kot za toke izmeritvene mreže, smo se zaradi manjših prekora itevenih kriterijev ne vrednosti ter majhnega števila nadštevilnih opazovanj odločili, da opazovanj ne bomo izložili. Pri tem moramo vedeti, da bi v primeru grobega pogreška, leta imel lahko velik vpliv na transformirane koordinate.

V praksi se na terenu večkrat pojavijo vprašanja o zanesljivosti RTK metode GNSS-izmere. V kolikšni meri ji lahko zaupamo glede na klasično terestrično metodo izmere. Preko izmere detajlnih tokov z obema metodama izmere smo ugotovili, da se je v celotni izmeri pojavilo kar nekaj tokov, pri katerih je odstopanje preseglo 5 centimetrov. Iz samih vrednosti natanosti horizontalnih koordinat in višine tega nismo mogli priakovati. Takšna nepriakovana odstopanja so lahko precej problematična pri snemanju pomembnega detajla. Napačno podana toka v horizontalnem ali višinskem koordinatnem sistemu lahko povzroči težave pri prenosu v naravo. To lahko povzroči velike stroške in predstavlja nevarnost za ljudi in okolje. Zato je RTK metodo GNSS-izmere potrebno uporabljati preudarno in na mestih, kjer slabša določitev koordinat ne predstavlja potencialne nevarnosti. Predvsem ni za uporabo pri nalogah, ki zahtevajo zanesljivost, točnost in natanost enega podatka o položaju in predvsem višini detajlnih tokov (pri projektih, kjer imamo opravka s kanalizacijo, vodovodom, določevanjem poplavnih območij, zakoli evanjem višin, jaškov, cestišč ...).

Pri takih GPS1000 in GPS2000 so ponovljene meritve med seboj po višini odstopale tudi za 5 centimetrov. Zaradi tega je potrebno stojiti ne tok, kot tudi zemljiško katastrske toke, z RTK metodo GNSS-izmere posneti večkrat, da pridobimo zanesljivost, točnost in natanost enega položaja. V primeru več jih števila nadštevilnih opazovanj imamo tako možnost tudi izložiti slabših ali celo pogrešenih opazovanj.

Sicer pa je kombinirana metoda zelo praktična in ekonomična. Vse meritve na terenu lahko hitro in kakovostno opravi en sam operater, tako da ni potrebe po figurantu. Metoda je zelo primerna tudi za zakoli evanje točk, saj te uporabniški vmesnik na kontrolerju zvezno vodi do zakoli bene točke (tahimeter sledi in neprekinjeno meri dolžino, smer in zenitno razdaljo), hkrati pa je določen tudi položaj na osnovi opazovanj GNSS.

9 VIRI IN LITERATURA

Digitalni model geoida Slovenije. Centralna evidenca prostorskih podatkov, Geodetska uprava Republike Slovenije

<http://prostor.gov.si/cepp/>(Pridobljeno avgust 2012.).

Geodetska uprava Republike Slovenije. 2007. Tehnično navodilo za uporabo novega koordinatnega sistema v zemljiškem katastru. Različica 1.0: 56 str.

http://www.google.si/url?sa=t&rct=j&q=&esrc=s&source=web&cd=2&sqi=2&ved=0CCMQFjAB&url=http%3A%2F%2Fwww.gu.gov.si%2Ffileadmin%2Fgu.gov.si%2Fpageuploads%2Fogs%2Frazlicic_a1_0.doc&ei=J0pMUOnHN4XVsgb2p4C4Bg&usg=AFQjCNG0rptsM4NRGhKWpThSSdNFR9yDSQ&sig2=XffBdEHXUEkrvnHxbYl1SA(Pridobljeno 19.9.2011.).

Geoservis. 2012. LeicaViva

<http://www.geoservis.si/produkti/8-leica-viva>(Pridobljeno 8.8.2012.).

Grigillo, D., Stopar, B. 2003. Metode odkrivanja grobih pogreškov v geodeziji. Geodetski vestnik, 47, 4: 387–403.

Kogoj, D., Ambrožič, T., Savšek – Safi, S., Bogatin, S., Marjetič, A., Stopar, B., Radovan, D., Berk, S., Mesner, N. 2006. Navodilo za izvajanje klasične geodetske izmere v novem državnem koordinatnem sistemu.

http://www.gu.gov.si/fileadmin/gu.gov.si/pageuploads/ogs/Navodilo_za_klasicno_izmero.pdf
(Pridobljeno 10.1.2012.).

Kozmus Trajkovski, K., Stopar, B. Navodila za uporabo spletnih aplikacij za transformacije koordinatnih sistemov, SiTraNETv2.10

<http://193.2.92.129/SiTraNet2.10-navodila.pdf>(Pridobljeno 21.7.2012.).

Kuhar, M., Okorn, M., Stopar, B. 2010. Določitev odklonov navpičnice iz geoidnih višin. Geodetski vestnik, 54, 4: 595–605.

Kuhar, M., Stopar, B. 2001. Moderni geodetski koordinatni sistemi in astrogeodetska mreža Slovenije. Geodetski vestnik, 45, 1-2: 11–26.

Mozetič, B., Majcen, D., Komadina, Ž. 2008. Nadzor kakovosti podatkov zemljiškega katastra v novem državnem koordinatnem sistemu D96/TM. Geodetski vestnik, 52, 4: 728–742.

Omrežje SIGNAL. Geodetska uprava Republike Slovenije

http://www.gu-signal.si/index.php?option=com_content&view=frontpage&Itemid=1(Pridobljeno avgust 2012.).

Pravilnik o geodetskem načrtu. UL RS št. 40/2004: 4754.

Pravilnik o urejanju mej ter sprememjanju in evidentiranju podatkov v zemljiškem katastru. UL RS št. 8/2007: 719.

ASG-EUPOS. RTK metoda izmere, shematski prikaz

http://www.asgeupos.pl/index.php?wpg_type=tech_rtk (Pridobljeno 2.8.2012.).

Stopar, B., Koler, B., Kuhar, M. Osnovni geodetski sistem. Programska zasnova in priprava gradiv za izvedbo strokovnega dela izpita iz geodetske stroke.

http://e-prostor.gov.si/fileadmin/ogs/OSNOVNI_GEO_SISTEM.pdf(Pridobljeno 16.5.2012.).

Stopar, B., Kuhar, M., Koler, B. 2007. Novi koordinatni sistem v Sloveniji. Zasedanje Slovenskega združenja za geodezijo in geofiziko, Ljubljana, januar 17, 2007. (Vsebina zbornika Raziskave s področja geodezije in geofizike 2007).

<http://www.fgg.uni-lj.si/sugg/> (Pridobljeno oktober 2011.).

Stopar, B., Pavlovič Prešeren, P. 2011. Satelitsko podprtta geodetska izmera, študijsko gradivo za visokošolski študij Tehnično upravljanje nepremičnin. Ljubljana, Univerza v Ljubljani, Fakulteta za gradbeništvo in geodezijo: 60 str.

Topografski ključ za izdelavo in prikaz vsebine geodetskih načrtov. 2006. Ljubljana, Geodetska uprava Republike Slovenije: 57 str.

http://www.izs.si/fileadmin/dokumenti/msgeo/topo_kljuc_maj_2006.pdf (Pridobljeno 5.8.2012.).

Zakon o evidentiranju nepremičnin. UL RS št. 47/2006: 5029.

Zbirke prostorskih podatkov. Prostorski portal PROSTOR, Geodetska uprava Republike Slovenije

http://e-prostor.gov.si/index.php?id=zbirke_prostorskih_podatkov(Pridobljeno avgust 2012.).

Zupančič, P. 1991. Geodezija 4. Ljubljana, Zavod Republike Slovenije za šolstvo in šport: 160 str.

PRILOGA A: REZULTATI TERENSKE IZMERE IZMERITVENIH TOČK

Točka	Geografska širina [° ' "]	Geografska dolžina [° ' "]	Elipsoidna višina [m]	Način določitve koordinat	Referenčni standardni odklon M0 [m]	Členi matrike kofaktorjev [m]						Parametri elipse pogreškov			Standardni odklon višine [m]	Čas meritve
						Q11	Q12	Q13	Q22	Q23	Q33	polos a [m]	polos b [m]	kot zasuka [°]		
GPS1000	46 11 43,436647	14 34 3,215807	390,5611	MEAN	0,01001508	0,18993424	0,00000000	0,00000000	0,07842701	0,00000000	1,86581933	0,0044	0,0028	0	0,0137	8.4.2012 16:13
GPS1000	46 11 43,436851	14 34 3,215696	390,5719	MEAS	5,66432858	0,00000248	0,00000021	-0,00000059	0,00000068	-0,00000031	0,00000456	0,0090	0,0046	6	0,0121	8.4.2012 8:08
GPS1000	46 11 43,436353	14 34 3,215754	390,5336	MEAS	6,08062696	0,00000330	0,00000010	0,00000052	0,00000097	0,00000045	0,00000609	0,0111	0,0060	2	0,0150	8.4.2012 14:00
GPS1000	46 11 43,436630	14 34 3,216184	390,5811	MEAS	8,51555729	0,00000137	0,00000008	0,00000018	0,00000079	-0,00000007	0,00000578	0,0100	0,0075	8	0,0205	8.4.2012 16:13
GPS1000	46 11 43,436081	14 34 3,215618	390,5699	MEAS	1,00000000	0,00000438	0,00000178	0,00000001	0,00000220	0,00000000	0,00000120	0,0023	0,0011	29	0,0011	8.4.2012 14:02
GPS1000	46 11 43,435792	14 34 3,215708	390,5696	MEAS	1,00000000	0,00000377	0,00000194	0,00000000	0,00000181	0,00000000	0,00000062	0,0022	0,0008	32	0,0008	8.4.2012 16:15
GPS2000	46 11 49,567179	14 34 5,573741	391,1068	MEAN	0,00864672	0,80328852	0,00000000	0,00000000	0,36789092	0,00000000	1,41441035	0,0077	0,0052	0	0,0103	8.4.2012 16:19
GPS2000	46 11 49,567331	14 34 5,573992	391,1300	MEAS	4,95726871	0,00000263	0,00000037	-0,00000018	0,00000067	-0,00000012	0,00000481	0,0081	0,0039	10	0,0109	8.4.2012 8:22
GPS2000	46 11 49,567622	14 34 5,573094	391,1068	MEAS	4,84315443	0,00000182	-0,00000027	0,00000015	0,00000129	-0,00000032	0,00000419	0,0067	0,0053	337	0,0099	8.4.2012 10:57
GPS2000	46 11 49,567235	14 34 5,573424	391,0768	MEAS	5,15052700	0,00000404	0,00000005	0,00000169	0,00000091	0,00000033	0,00000748	0,0104	0,0049	1	0,0141	8.4.2012 13:52
GPS2000	46 11 49,566563	14 34 5,574233	391,0992	MEAS	5,60916948	0,00000147	0,00000010	0,00000010	0,00000081	-0,00000006	0,00000524	0,0068	0,0050	8	0,0128	8.4.2012 16:19
GPS2000	46 11 49,567152	14 34 5,574011	391,1108	MEAS	1,00000000	0,00000296	0,00000217	-0,00000004	0,00000263	-0,00000004	0,00000062	0,0022	0,0008	43	0,0008	8.4.2012 9:34
GPS2000	46 11 49,567286	14 34 5,574012	391,1067	MEAS	1,00000000	0,00000201	-0,00000179	-0,00000003	0,00000428	0,00000005	0,00000103	0,0023	0,0010	299	0,0010	8.4.2012 11:00
GPS2000	46 11 49,567494	14 34 5,574130	391,1088	MEAS	1,00000000	0,00000017	-0,00000008	0,00000000	0,00000450	-0,00000006	0,00000017	0,0021	0,0004	271	0,0004	8.4.2012 13:55
GPS2000	46 11 49,567373	14 34 5,573749	391,1060	MEAS	1,00000000	0,00000055	0,00000030	0,00000000	0,00000487	0,00000002	0,00000053	0,0022	0,0007	86	0,0007	8.4.2012 16:21
GPS3000	46 11 52,033427	14 34 3,412511	391,8663	MEAN	0,00720384	0,32866427	0,00000000	0,00000000	0,06851218	0,00000000	1,80141175	0,0041	0,0019	0	0,0097	8.4.2012 16:24
GPS3000	46 11 52,033603	14 34 3,412486	391,8856	MEAS	4,46537590	0,00000259	0,00000046	0,00000028	0,00000068	0,00000006	0,00000540	0,0073	0,0034	13	0,0104	8.4.2012 8:32
GPS3000	46 11 52,033443	14 34 3,412873	391,8742	MEAS	5,16754341	0,00000180	-0,00000047	0,00000002	0,00000142	-0,00000023	0,00000439	0,0075	0,0054	326	0,0108	8.4.2012 10:50
GPS3000	46 11 52,033662	14 34 3,412479	391,8471	MEAS	4,44348574	0,00000377	-0,00000009	0,00000160	0,00000087	0,00000013	0,00000748	0,0086	0,0041	358	0,0122	8.4.2012 13:47
GPS3000	46 11 52,033059	14 34 3,412350	391,8476	MEAS	5,74908447	0,00000162	0,00000013	0,00000004	0,00000082	-0,00000005	0,00000490	0,0074	0,0052	9	0,0127	8.4.2012 16:24
GPS3000	46 11 52,033900	14 34 3,412848	391,8628	MEAS	1,00000000	0,00000520	0,00000033	-0,00000007	0,00000099	-0,00000001	0,00000097	0,0023	0,0010	4	0,0010	8.4.2012 9:24
GPS3000	46 11 52,033787	14 34 3,412899	391,8657	MEAS	1,00000000	0,00000127	0,00000029	0,00000000	0,00000539	0,00000007	0,00000125	0,0023	0,0011	86	0,0011	8.4.2012 11:04
GPS3000	46 11 52,034111	14 34 3,412831	391,8618	MEAS	1,00000000	0,00000355	0,00000202	-0,00000006	0,00000187	-0,00000004	0,00000053	0,0022	0,0007	34	0,0007	8.4.2012 13:49
GPS3000	46 11 52,034092	14 34 3,412545	391,8585	MEAS	1,00000000	0,00000270	0,00000203	0,00000002	0,00000378	0,00000003	0,00000113	0,0023	0,0011	52	0,0011	8.4.2012 16:32
GPS4000	46 11 46,205018	14 33 57,188676	388,9141	MEAN	0,00842312	0,02990906	0,00000000	0,00000000	0,01805611	0,00000000	1,97601736	0,0015	0,0011	0	0,0118	8.4.2012 13:41
GPS4000	46 11 46,205104	14 33 57,188746	388,9302	MEAS	4,86288643	0,00000292	0,00000061	0,00000126	0,00000073	0,00000040	0,00000701	0,0085	0,0037	15	0,0129	8.4.2012 8:39
GPS4000	46 11 46,204953	14 33 57,188659	388,9168	MEAS	4,84921217	0,00000200	-0,00000085	-0,00000005	0,00000181	-0,00000035	0,00000559	0,0081	0,0050	318	0,0115	8.4.2012 10:41
GPS4000	46 11 46,205031	14 33 57,188576	388,8856	MEAS	5,67849827	0,00000347	-0,00000023	0,00000								

PRILOGA B: PROSTO STOJIŠČE

PRILOGA B1: Rezultati izmere prostih stojišč

Točka	Geografska širina [° '"]	Geografska dolžina [° '"]	Elipsoidna višina [m]	Način določitve koordinat	Referenčni standardni odklon M0 [m]	Členi matrike kofaktorjev [m]						Parametri elipse pogreškov			Standardni odklon višine [m]	Čas meritve
						Q11	Q12	Q13	Q22	Q23	Q33	polos a [m]	polos b [m]	kot zasuka [°]		
PS1	46 11 47,720195	14 34 0,909905	391,5256	REF	1,00000000	0,00008009	0,00000000	0,00000000	0,00009063	0,00000000	0,00000482	0,0095	0,0089	2	0,0022	8.4.2012 9:19
PS2	46 11 47,591678	14 33 59,291740	391,0782	REF	1,00000000	0,00009503	0,00000000	0,00000000	0,00008913	0,00000000	0,00000017	0,0097	0,0094	0	0,0004	8.4.2012 11:00
PS3	46 11 48,612444	14 34 3,104217	392,1428	REF	1,00000000	0,00006721	0,00000000	0,00000000	0,00007104	0,00000000	0,00001186	0,0084	0,0082	2	0,0034	8.4.2012 13:43
S4	46 11 47,075528	14 34 2,190050	392,4611	REF	1,00000000	0,00014551	0,00000000	0,00000000	0,00015482	0,00000000	0,00002237	0,0124	0,0121	2	0,0047	8.4.2012 16:15

PRILOGA B2: Izpis poročila določitve prostih stojišč iz programa Leica Geo Office



Setup Report

Processed: 08/06/2012 12:06:06

Project Information

Project name: Diploma_obdelava_terena
Date created: 08/06/2012 11:39:20
Coordinate system name: ETRS 89/TM
Application software: LEICA Geo Office 7.0

Instrument Information

Instrument Type: TCRP1201+ R1000
Instrument Serial Number: 262330
Instrument Height: 0.0000 m
Setup Time: 08/04/2012 09:19:58
Geom.ppm (min-max): -
Atm.ppm (min-max): 0.0 - 0.0

Setup Method

Setup Method: Resection

- PS1:

Setup Observations

Point ID	Hz	V	SI.Dist	H.Dist	Refl.Hgt	Refl.Type
GPS4000	239° 55' 25.1"	90° 24' 57.6"	92.5048 m	92.5024 m	1.9410 m	Leica 360° Prism
GPS3000	22° 15' 25.9"	89° 05' 29.6"	143.6026 m	143.5845 m	1.9410 m	Leica 360° Prism
GPS2000	60° 37' 02.7"	89° 14' 27.1"	115.1214 m	115.1113 m	1.9410 m	Leica 360° Prism

Target Coordinates

Point ID	Easting	Northing	Ortho.Hgt
GPS4000	466494.4657 m	117470.4463 m	388.9136 m
GPS3000	466628.9001 m	117649.6892 m	391.8628 m
GPS2000	466674.8182 m	117573.2804 m	391.1109 m

Fixpoints

Point ID	Easting	Northing	Ortho.Hgt
GPS4000	466494.4784 m	117470.4606 m	-
GPS3000	466628.8928 m	117649.6747 m	-
GPS2000	466674.8124 m	117573.2812 m	-

Target Residuals

Point ID	dHz	dDist	dE	dN	dH	Use
GPS4000	0° 00' 13.4"	-0.0181 m	0.0127 m	0.0143 m	0.0005 m	3D
GPS3000	-0° 00' 01.8"	-0.0163 m	-0.0073 m	-0.0146 m	0.0035 m	3D
GPS2000	-0° 00' 06.4"	-0.0046 m	-0.0058 m	0.0008 m	-0.0040 m	3D

Setup Results

Station ID:	PS1
Easting:	466574.5139 m
Northing:	117516.8034 m
Height:	391.5257 m
Sd. E:	0.0095 m
Sd. N:	0.0090 m
Sd. Hgt:	0.0022 m
Use scale:	No
Calculated scale:	-
Orientation:	0° 00' 02.2"
Apply scale to survey obs:	No

- PS2:

Setup Observations

Point ID	Hz	V	SI.Dist	H.Dist	Refl.Hgt	Refl.Type
GPS2000	65° 56' 49.3"	89° 14' 14.7"	147.8680 m	147.8549 m	1.9410 m	Leica 360° Prism
GPS3000	33° 06' 08.5"	89° 02' 32.9"	163.1643 m	163.1415 m	1.9410 m	Leica 360° Prism
GPS4000	226° 47' 41.7"	90° 12' 18.3"	62.1961 m	62.1957 m	1.9410 m	Leica 360° Prism

Target Coordinates

Point ID	Easting	Northing	Ortho.Hgt
GPS2000	466674.8183 m	117573.2845 m	391.1067 m
GPS3000	466628.9012 m	117649.6857 m	391.8657 m
GPS4000	466494.4643 m	117470.4462 m	388.9149 m

Fixpoints

Point ID	Easting	Northing	Ortho.Hgt
GPS2000	466674.8124 m	117573.2812 m	-
GPS3000	466628.8928 m	117649.6747 m	-
GPS4000	466494.4784 m	117470.4606 m	-

Target Residuals

Point ID	dHz	dDist	dE	dN	dH	Use
GPS2000	0° 00' 00.9"	-0.0067 m	-0.0058 m	-0.0033 m	0.0001 m	3D
GPS3000	-0° 00' 01.2"	-0.0139 m	-0.0084 m	-0.0111 m	0.0007 m	3D
GPS4000	0° 00' 02.7"	-0.0201 m	0.0141 m	0.0144 m	-0.0008 m	3D

Setup Results

Station ID:	PS2
Easting:	466539.8003 m
Northing:	117513.0250 m
Height:	391.0782 m
Sd. E:	0.0094 m
Sd. N:	0.0098 m
Sd. Hgt:	0.0004 m
Use scale:	No
Calculated scale:	-
Orientation:	0° 00' 05.1"
Apply scale to survey obs:	No

- PS3:

Setup Observations

Point ID	Hz	V	SI.Dist	H.Dist	Refl.Hgt	Refl.Type
GPS4000	239° 56' 13.7"	90° 30' 17.6"	147.0231 m	147.0174 m	1.9410 m	Leica 360° Prism
GPS3000	3° 53' 43.6"	89° 06' 06.8"	105.8598 m	105.8468 m	1.9410 m	Leica 360° Prism
GPS2000	61° 12' 03.3"	89° 08' 34.5"	60.6158 m	60.6090 m	1.9410 m	Leica 360° Prism
GPS1000	179° 27' 19.4"	89° 52' 07.2"	159.8321 m	159.8317 m	1.9410 m	Leica 360° Prism

Target Coordinates

Point ID	Easting	Northing	Ortho.Hgt
GPS4000	466494.4673 m	117470.4464 m	388.9078 m
GPS3000	466628.8998 m	117649.6958 m	391.8619 m
GPS2000	466674.8208 m	117573.2909 m	391.1088 m
GPS1000	466623.2258 m	117384.2691 m	390.5700 m

Fixpoints

Point ID	Easting	Northing	Ortho.Hgt
GPS4000	466494.4784 m	117470.4606 m	-
GPS3000	466628.8928 m	117649.6747 m	-
GPS2000	466674.8124 m	117573.2812 m	-
GPS1000	466623.2300 m	117384.2866 m	-

Target Residuals

Point ID	dHz	dDist	dE	dN	dH	Use
GPS4000	0° 00' 09.5"	-0.0167 m	0.0111 m	0.0142 m	0.0063 m	3D
GPS3000	-0° 00' 10.8"	-0.0215 m	-0.0070 m	-0.0211 m	0.0045 m	3D
GPS2000	0° 00' 15.1"	-0.0120 m	-0.0084 m	-0.0097 m	-0.0020 m	3D
GPS1000	-0° 00' 05.6"	-0.0174 m	0.0042 m	0.0175 m	-0.0088 m	3D

Setup Results

Station ID:	PS3
Easting:	466621.7080 m
Northing:	117544.0936 m
Height:	392.1428 m
Use scale:	No
Calculated scale:	-
Orientation:	0° 00' 01.9"
Apply scale to survey obs:	No

- PS4:

Setup Observations

Point ID	Hz	V	SI.Dist	H.Dist	Refl.Hgt	Refl.Type
GPS1000	169° 14' 21.4"	89° 58' 32.4"	114.5037 m	114.5037 m	1.9410 m	Leica 360° Prism
GPS2000	43° 37' 46.2"	89° 40' 58.7"	105.7433 m	105.7417 m	1.9410 m	Leica 360° Prism
GPS3000	10° 01' 34.9"	89° 30' 24.8"	155.3227 m	155.3169 m	1.9410 m	Leica 360° Prism

Target Coordinates

Point ID	Easting	Northing	Ortho.Hgt
GPS1000	466623.2277 m	117384.2602 m	390.5697 m
GPS2000	466674.8127 m	117573.2872 m	391.1061 m
GPS3000	466628.8937 m	117649.6952 m	391.8586 m

Fixpoints

Point ID	Easting	Northing	Ortho.Hgt
GPS1000	466623.2300 m	117384.2866 m	-
GPS2000	466674.8124 m	117573.2812 m	-
GPS3000	466628.8928 m	117649.6747 m	-

Target Residuals

Point ID	dHz	dDist	dE	dN	dH	Use
GPS1000	-0° 00' 12.9"	-0.0255 m	0.0023 m	0.0264 m	-0.0086 m	3D
GPS2000	0° 00' 07.8"	-0.0045 m	-0.0002 m	-0.0060 m	0.0008 m	3D
GPS3000	0° 00' 03.6"	-0.0204 m	-0.0009 m	-0.0205 m	0.0078 m	3D

Setup Results

Station ID: PS4

Easting:	466601.8506 m	Sd. E:	0.0124 m
Northing:	117496.7507 m	Sd. N:	0.0121 m
Height:	392.4612 m	Sd. Hgt:	0.0047 m
Use scale:	No		
Calculated scale:	-		
Orientation:	0° 00' 03.0"		
Apply scale to survey obs:	No		

PRILOGA C: POLARNA DETAJLNA IZMERA

Natan nosten dolo itve detajlnih tokov ob upoštevanju natanosti dolo itve prostega stojišča

To ka	Horizontalni koordinati v D96/TM			IZRA UNANA NATAN NOST DOLO ITVE DETAJLNIH TOKOV z upoštevanjem natanosti dolo itve prostega stojišča				
	Ortometri na višina H	Polos a elipse pogreškov	Polos b elipse pogreškov	Orientacija elipse pogreškov	Standardni odklon višine	Upoštevanje natanosti dolo itve stojišča		
	N [m]	E [m]	[m]	[m]	[m]	[°]	[m]	
TPS0001	117516,504	466579,101	343,198	0,00971	0,00890	29	0,0022	PS1
TPS0002	117508,436	466581,294	343,081	0,00961	0,00902	349	0,0022	
TPS0003	117504,358	466583,897	343,201	0,00960	0,00902	349	0,0022	
TPS0004	117505,488	466581,783	343,166	0,00958	0,00904	349	0,0022	
TPS0005	117504,252	466583,778	343,195	0,00960	0,00902	349	0,0022	
TPS0006	117506,410	466579,937	343,178	0,00956	0,00906	349	0,0022	
TPS0007	117512,599	466575,689	343,194	0,00952	0,00909	352	0,0022	
TPS0008	117515,908	466573,430	343,203	0,00963	0,00897	9	0,0023	
TPS0009	117512,477	466568,459	343,184	0,00965	0,00896	9	0,0022	
TPS0010	117519,406	466587,494	343,517	0,00971	0,00891	3	0,0022	
TPS0011	117520,301	466590,790	343,584	0,00971	0,00891	3	0,0022	
TPS0012	117525,212	466574,387	343,454	0,00950	0,00912	0	0,0022	
TPS0013	117524,602	466575,544	343,168	0,00951	0,00912	4	0,0022	
TPS0014	117525,129	466580,860	343,221	0,00960	0,00902	11	0,0022	
TPS0015	117523,256	466583,360	343,353	0,00965	0,00896	9	0,0022	
TPS0016	117523,821	466584,035	343,346	0,00965	0,00896	9	0,0022	
TPS0017	117523,909	466582,239	343,313	0,00964	0,00899	10	0,0022	
TPS0018	117532,866	466606,236	344,071	0,00970	0,00894	7	0,0022	
TPS0020	117529,319	466594,941	343,585	0,00966	0,00895	8	0,0022	
TPS0021	117519,055	466565,806	343,154	0,00965	0,00891	356	0,0022	
TPS0022	117525,525	466561,157	343,074	0,00972	0,00895	352	0,0022	
TPS0023	117531,832	466569,756	343,215	0,00966	0,00909	352	0,0022	
TPS0024	117452,795	466505,961	342,628	0,00954	0,00944	348	0,0006	PS2
TPS0025	117464,203	466500,563	342,430	0,00991	0,00947	344	0,0006	
TPS0026	117477,749	466492,913	342,178	0,00988	0,00951	339	0,0006	
TPS0027	117489,386	466488,201	342,206	0,00981	0,00955	336	0,0006	
TPS0028	117501,767	466482,843	342,279	0,00975	0,00961	338	0,0006	
TPS0029	117515,730	466476,977	342,284	0,00972	0,00963	7	0,0006	
TPS0030	117526,321	466472,190	342,140	0,00973	0,00961	22	0,0006	
TPS0031	117533,226	466469,764	342,245	0,00975	0,00960	25	0,0006	
TPS0032	117542,252	466483,166	342,312	0,00979	0,00955	23	0,0006	
TPS0033	117535,181	466488,704	342,296	0,00979	0,00955	23	0,0006	
TPS0034	117523,085	466496,756	342,291	0,00976	0,00959	21	0,0005	
TPS0035	117512,617	466502,927	342,248	0,00972	0,00963	358	0,0005	
TPS0036	117502,058	466509,478	342,395	0,00975	0,00956	337	0,0004	
TPS0037	117492,490	466514,339	342,444	0,00978	0,00950	340	0,0004	
TPS0038	117476,508	466518,894	342,578	0,00982	0,00944	347	0,0005	
TPS0039	117461,266	466523,489	342,731	0,00988	0,00942	353	0,0006	
TPS0040	117458,697	466517,740	342,793	0,00992	0,00943	351	0,0006	
TPS0041	117466,092	466533,985	342,829	0,00991	0,00941	357	0,0005	
TPS0042	117483,072	466526,079	342,787	0,00994	0,00943	350	0,0004	
TPS0043	117497,073	466520,672	342,542	0,00991	0,00950	340	0,0004	
TPS0044	117506,441	466515,901	342,440	0,00980	0,00959	337	0,0004	
TPS0045	117516,090	466510,016	342,306	0,00972	0,00961	13	0,0004	
TPS0046	117529,795	466503,132	342,271	0,00975	0,00955	24	0,0005	
TPS0047	117541,048	466497,727	342,322	0,00979	0,00953	23	0,0005	
TPS0048	117550,892	466493,192	342,371	0,00982	0,00951	21	0,0006	
TPS0049	117563,217	466511,422	342,478	0,00983	0,00944	12	0,0006	
TPS0050	117553,905	466517,897	342,522	0,00990	0,00943	12	0,0005	
TPS0051	117543,870	466524,739	342,418	0,00990	0,00943	11	0,0004	
TPS0052	117532,661	466532,618	342,514	0,00989	0,00942	8	0,0004	
TPS0053	117523,603	466539,782	342,688	0,00988	0,00940	0	0,0004	
TPS0054	117514,994	466546,068	342,734	0,00991	0,00957	338	0,0004	
TPS0055	117504,021	466552,001	342,953	0,00977	0,00950	20	0,0004	
TPS0056	117492,956	466558,893	342,939	0,00982	0,00947	17	0,0004	
TPS0057	117480,378	466563,973	343,043	0,00985	0,00946	15	0,0005	
TPS0058	117473,264	466548,629	342,963	0,00985	0,00941	5	0,0005	
TPS0059	117484,572	466542,805	342,829	0,00991	0,00940	3	0,0004	
TPS0060	117495,675	466537,829	342,836	0,00991	0,00940	357	0,0004	
TPS0061	117505,629	466532,776	342,637	0,00992	0,00947	343	0,0004	
TPS0062	117520,820	466555,201	343,004	0,00984	0,00953	337	0,0004	
TPS0063	117514,648	466560,362	343,039	0,00974	0,00961	350	0,0004	
TPS0064	117502,852	466566,582	343,100	0,00974	0,00956	23	0,0004	
TPS0065	117494,551	466569,340	343,276	0,00978	0,00953	23	0,0004	

... nadaljevanje tabele Natan nosti dolo itve detajlnih to k ob upoštevanju natan nosti dolo itve prostega stojiš a.

To ka	Horizontalni koordinati v D96/TM			Ortometri na višina H				Polos a elipse pogreškov	Polos b elipse pogreškov	Orientacija elipse pogreškov	Standardni odklon višine	Upoštevanje natan nosti dolo itve stojiš a	
	N [m]	E[m]	[m]	[m]	[m]	[m]	[°]						
TPS0066	117484,501	466571,259	343,168	0,00981	0,00950	20	0,0005						
TPS0067	117488,510	466574,540	343,257	0,00984	0,00951	22	0,0005						
TPS0068	117528,957	466547,131	342,748	0,00980	0,00943	349	0,0004						
TPS0069	117540,259	466539,860	342,621	0,00987	0,00940	0	0,0004						
TPS0070	117550,919	466533,460	342,557	0,00993	0,00941	4	0,0005						
TPS0071	117560,635	466527,942	342,575	0,00991	0,00941	6	0,0005						
TPS0072	117569,709	466523,315	342,594	0,00991	0,00942	7	0,0006						
TPS0073	117577,328	466536,018	342,724	0,00990	0,00941	1	0,0006						
TPS0074	117569,876	466542,146	342,729	0,00992	0,00941	359	0,0006						
TPS0075	117558,379	466550,065	342,738	0,00993	0,00941	354	0,0005						
TPS0076	117549,529	466555,500	342,874	0,00992	0,00943	350	0,0005						
TPS0077	117539,498	466561,320	342,977	0,00991	0,00946	344	0,0004						
TPS0078	117537,423	466576,850	343,291	0,00986	0,00953	338	0,0005						
TPS0079	117547,723	466572,776	343,057	0,00982	0,00948	342	0,0005						
TPS0080	117562,424	466565,728	342,917	0,00984	0,00943	349	0,0006						
TPS0081	117579,178	466558,453	342,897	0,00989	0,00942	353	0,0006						
TPS0082	117590,887	466553,893	342,951	0,00993	0,00942	356	0,0006						
TPS0083	117597,064	466563,635	343,058	0,00993	0,00943	353	0,0007						
TPS0084	117586,141	466570,440	342,996	0,00994	0,00944	350	0,0006						
TPS0085	117572,296	466577,736	343,030	0,00993	0,00945	346	0,0006						
TPS0086	117557,715	466586,374	343,189	0,00989	0,00950	341	0,0006						
TPS0087	117549,587	466594,026	343,377	0,00985	0,00953	337	0,0006						
TPS0088	117556,846	466603,923	343,607	0,00982	0,00953	338	0,0006						
TPS0089	117561,548	466611,188	344,115	0,00983	0,00953	338	0,0007						
TPS0090	117573,636	466609,968	343,742	0,00983	0,00951	340	0,0007						
TPS0091	117587,986	466611,216	343,631	0,00986	0,00950	342	0,0008						
TPS0092	117610,488	466616,808	343,820	0,00988	0,00949	344	0,0010						
TPS0093	117629,048	466619,573	344,122	0,00989	0,00949	346	0,0011						
TPS0094	117628,180	466613,413	343,944	0,00993	0,00949	346	0,0010						
TPS0095	117509,095	466570,769	343,173	0,00991	0,00960	15	0,0004						
TPS0096	117509,175	466570,769	343,173	0,00971	0,00960	15	0,0004						
TPS0097	117504,128	466576,604	343,316	0,00973	0,00959	22	0,0005						
TPS0098	117502,279	466582,565	343,054	0,00973	0,00959	22	0,0005						
TPS0099	117503,476	466580,669	343,139	0,00974	0,00959	21	0,0005						
TPS0100	117500,727	466575,161	343,118	0,00975	0,00958	25	0,0005						
TPS0101	117503,311	466572,455	343,309	0,00975	0,00958	24	0,0004						
TPS0102	117513,217	466567,838	343,183	0,00972	0,00963	359	0,0004						
TPS0103	117494,876	466580,271	343,252	0,00976	0,00955	24	0,0005						
TPS0104	117491,885	466626,086	343,625	0,00974	0,00840	19	0,0034						
TPS0105	117491,839	466609,268	343,755	0,00850	0,00838	325	0,0034						
TPS0106	117491,885	466607,242	343,981	0,00851	0,00837	317	0,0034						
TPS0107	117491,675	466603,141	344,153	0,00852	0,00836	315	0,0034						
TPS0108	117500,511	466603,343	344,202	0,00853	0,00834	40	0,0034						
TPS0109	117501,049	466607,431	344,049	0,00851	0,00836	317	0,0034						
TPS0110	117501,184	466609,553	343,771	0,00850	0,00836	319	0,0034						
TPS0111	117510,291	466610,161	343,779	0,00851	0,00836	317	0,0034						
TPS0112	117510,523	466608,071	344,062	0,00852	0,00834	42	0,0034						
TPS0113	117510,974	466604,014	344,240	0,00853	0,00832	36	0,0034						
TPS0114	117511,156	466603,098	344,113	0,00854	0,00831	37	0,0034						
TPS0115	117519,649	466604,123	344,170	0,00855	0,00830	32	0,0034						
TPS0116	117519,474	466604,912	344,223	0,00856	0,00830	32	0,0034						
TPS0117	117518,983	466608,966	344,075	0,00854	0,00832	38	0,0034						
TPS0118	117518,993	466610,950	343,798	0,00852	0,00834	42	0,0034						
TPS0119	117532,107	466612,911	343,869	0,00854	0,00829	30	0,0034						
TPS0120	117532,585	466610,916	344,096	0,00856	0,00827	27	0,0034						
TPS0121	117533,237	466606,886	344,224	0,008									

... nadaljevanje tabele Natan nosti dolo itve detajlnih to k ob upoštevanju natan nosti dolo itve prostega stojiš a.

To ka	Horizontalni koordinati v D96/TM			IZRA UNANA NATAN NOST DOLO ITVE DETAJLNIH TO K z upoštevanjem natan nosti dolo itve prostega stojiš a				
	Ortometri na višina H		[m]	Polos a elipse pogreškov	Polos b elipse pogreškov	Orientacija elipse pogreškov	Standardni odklon višine	Upoštevanje natan nosti dolo itve stojiš a
	N [m]	E[m]	[m]	[m]	[m]	[°]	[m]	
TPS0131	117575,234	466621,720	344,221	0,00844	0,00840	0	0,0034	PS3
TPS0132	117575,602	466620,352	344,364	0,00847	0,00840	9	0,0034	
TPS0133	117576,612	466616,335	344,388	0,00848	0,00838	35	0,0034	
TPS0134	117589,755	466619,374	344,513	0,00845	0,00840	12	0,0034	
TPS0135	117589,608	466623,544	344,486	0,00847	0,00840	351	0,0034	
TPS0136	117589,254	466624,869	344,249	0,00847	0,00840	345	0,0034	
TPS0137	117605,855	466628,101	344,339	0,00847	0,00840	337	0,0034	
TPS0138	117606,290	466626,778	344,595	0,00847	0,00841	340	0,0034	
TPS0139	117607,246	466622,775	344,599	0,00846	0,00841	356	0,0034	
TPS0140	117621,372	466625,272	344,701	0,00847	0,00841	351	0,0034	
TPS0141	117620,680	466629,273	344,785	0,00850	0,00841	335	0,0034	
TPS0142	117619,529	466630,653	344,813	0,00848	0,00841	333	0,0034	
TPS0143	117621,951	466643,112	344,712	0,00851	0,00838	321	0,0035	
TPS0144	117625,291	466642,959	344,668	0,00852	0,00839	321	0,0035	
TPS0145	117624,805	466635,702	344,747	0,00850	0,00840	326	0,0035	
TPS0146	117625,674	466632,494	344,780	0,00848	0,00840	331	0,0035	
TPS0147	117626,530	466631,395	344,805	0,00848	0,00841	339	0,0035	
TPS0148	117628,230	466630,330	344,834	0,00850	0,00841	341	0,0035	
TPS0149	117621,465	466632,865	344,729	0,00851	0,00840	330	0,0034	
TPS0150	117612,795	466622,886	344,616	0,00847	0,00841	355	0,0034	
TPS0151	117629,148	466626,306	344,802	0,00847	0,00842	349	0,0035	
TPS0152	117637,350	466627,294	344,938	0,00849	0,00843	347	0,0035	
TPS0153	117637,305	466631,360	344,902	0,00850	0,00842	339	0,0035	
TPS0154	117637,265	466631,915	344,928	0,00850	0,00842	339	0,0035	
TPS0155	117637,522	466632,725	344,796	0,00850	0,00842	338	0,0035	
TPS0156	117638,063	466640,849	344,491	0,00852	0,00841	329	0,0035	
TPS0157	117627,346	466630,970	344,815	0,00850	0,00841	340	0,0035	
TPS0158	117620,151	466630,055	344,788	0,00850	0,00841	334	0,0034	
TPS0159	117605,312	466627,193	344,535	0,00847	0,00841	339	0,0034	
TPS0160	117585,415	466623,142	344,427	0,00847	0,00840	352	0,0034	
TPS0161	117566,285	466618,830	344,267	0,00848	0,00839	30	0,0034	
TPS0162	117547,856	466614,643	344,098	0,00852	0,00822	345	0,0034	
TPS0163	117531,370	466611,652	344,034	0,00863	0,00829	29	0,0034	
TPS0164	117519,232	466609,875	344,017	0,00855	0,00833	40	0,0034	
TPS0165	117506,808	466608,634	343,984	0,00851	0,00836	317	0,0034	
TPS0166	117495,599	466608,109	343,943	0,00850	0,00837	317	0,0034	
TPS0167	117496,232	466622,969	343,589	0,00844	0,00840	6	0,0034	
TPS0168	117520,613	466628,039	343,805	0,00850	0,00837	41	0,0034	
TPS0169	117544,145	466631,573	343,982	0,00844	0,00820	0	0,0034	
TPS0170	117562,846	466632,080	343,982	0,00866	0,00832	36	0,0034	
TPS0171	117565,024	466631,386	344,019	0,00853	0,00834	40	0,0034	
TPS0172	117587,878	466638,210	344,018	0,00852	0,00836	315	0,0034	
TPS0173	117605,659	466640,517	344,125	0,00851	0,00837	315	0,0034	
TPS0174	117637,983	466626,591	344,952	0,00845	0,00843	348	0,0035	
TPS0175	117625,092	466624,905	344,723	0,00849	0,00842	352	0,0035	
TPS0176	117597,338	466620,028	344,541	0,00849	0,00841	8	0,0034	
TPS0177	117577,187	466615,657	344,375	0,00849	0,00838	35	0,0034	
TPS0178	117561,955	466612,398	344,295	0,00853	0,00832	324	0,0034	
TPS0179	117561,584	466611,160	344,090	0,00854	0,00830	327	0,0034	
TPS0180	117560,721	466610,353	344,083	0,00855	0,00830	328	0,0034	
TPS0181	117550,303	466609,717	344,245	0,00854	0,00822	345	0,0034	
TPS0182	117551,226	466609,109	344,158	0,00862	0,00823	344	0,0034	
TPS0183	117538,634	466607,273	344,185	0,00861	0,00821	11	0,0034	
TPS0184	117538,447	466606,317	344,190	0,00863	0,00821	11	0,0034	
TPS0185	117538,381	466604,770	344,064	0,00863	0,00822	11	0,0034	
TPS0186	117539,378	466603,248	343,809	0,00862	0,00821	8	0,0034	
TPS0187	117537,394	466606,046	344,116	0,00865	0,00822	13	0,0034	
TPS0188	117536,882	466604,241	343,914	0,00863	0,00822	12	0,0034	
TPS0189	117533,655	466582,937	343,029	0,00862	0,00821	9	0,0034	
TPS0190	117523,849	466586,051	343,465	0,00866	0,00824	17	0,0034	
TPS0191	117520,769	466594,868	248,051	0,00917	0,00827	37	0,0034	
TPS0192	117518,251	466595,550	248,141	0,00974	0,00831	41	0,0034	
TPS0193	117518,783	466597,486	248,013	0,00973	0,00831	43	0,0034	
TPS0194	117515,79							

... nadaljevanje tabele Natan nosti dolo itve detajlnih to k ob upoštevanju natan nosti dolo itve prostega stojiš a.

			IZRA UNANA NATAN NOST DOLO ITVE DETAJLNIH TO K z upoštevanjem natan nosti dolo itve prostega stojiš a					
To ka	Horizontalni koordinati v D96/TM		Ortometri na višina H [m]	Polos a elipse pogreškov	Polos b elipse pogreškov	Orientacija elipse pogreškov	Standardni odklon višine	Upoštevanje natan nosti dolo itve stojiš a
	N [m]	E[m]		[m]	[m]	[°]	[m]	
TPS0196	117512,733	466597,044	249,114	0,00970	0,00832	319	0,0034	PS3
TPS0197	117519,721	466590,949	248,127	0,00971	0,00829	35	0,0034	
TPS0198	117502,526	466602,000	344,176	0,00964	0,00837	332	0,0034	
TPS0199	117494,256	466595,363	343,839	0,00941	0,01211	7	0,0047	
TPS0200	117488,481	466582,742	343,388	0,01255	0,01212	8	0,0047	
TPS0201	117494,499	466587,025	343,360	0,01255	0,01210	3	0,0047	
TPS0202	117502,657	466602,251	344,241	0,01256	0,01226	4	0,0047	
TPS0203	117499,298	466588,912	343,759	0,01241	0,01210	356	0,0047	
TPS0204	117501,659	466596,790	343,897	0,01257	0,01216	346	0,0047	
TPS0205	117502,073	466598,282	343,857	0,01250	0,01220	343	0,0047	
TPS0206	117501,027	466588,156	343,637	0,01246	0,01211	354	0,0047	
TPS0207	117501,386	466588,813	343,882	0,01255	0,01211	353	0,0047	
TPS0208	117506,319	466587,408	344,029	0,01256	0,01213	349	0,0047	
TPS0209	117506,324	466586,774	343,205	0,01253	0,01213	349	0,0047	
TPS0210	117508,447	466581,292	343,109	0,01253	0,01213	350	0,0047	
TPS0211	117506,226	466586,049	343,138	0,01254	0,01213	349	0,0047	
TPS0212	117511,687	466593,180	247,474	0,01280	0,01230	39	0,0047	PS4
TPS0213	117508,405	466594,075	247,446	0,01320	0,01230	42	0,0047	
TPS0214	117506,237	466586,024	247,547	0,01319	0,01217	335	0,0047	
TPS0215	117509,232	466584,139	246,589	0,01334	0,01218	332	0,0047	
TPS0216	117504,261	466583,766	244,850	0,01321	0,01213	342	0,0047	
TPS0217	117502,285	466582,561	244,835	0,01329	0,01212	347	0,0047	

PRILOGA D: DETAJLNE TOKE RTK METODE GNSS-IZMERE Z NATAN NOSTMI

To ka	Horizontalni koordinati v D96/TM		Ortometri na višina H [m]	Polos a elipse pogreškov [m]	Polos b elipse pogreškov [m]	Orientacija elipse pogreškov [°]	Standardni odklon višine [m]
	N [m]	E[m]					
GPS0020	117529,326	466594,939	343,567	0,0074	0,0045	323	0,0117
GPS0021	117519,071	466565,820	343,152	0,0085	0,0050	321	0,0129
GPS0022	117525,533	466561,166	343,071	0,0091	0,0053	321	0,0137
GPS0023	117531,837	466569,755	343,215	0,0102	0,0059	321	0,0152
GPS0024	117452,802	466505,981	342,611	0,0089	0,0061	13	0,0120
GPS0025	117464,193	466500,568	342,411	0,0089	0,0058	15	0,0117
GPS0026	117477,742	466492,921	342,157	0,0088	0,0057	15	0,0115
GPS0027	117489,383	466488,208	342,194	0,0108	0,0068	16	0,0139
GPS0028	117501,762	466482,852	342,266	0,0091	0,0056	17	0,0117
GPS0029	117515,721	466476,998	342,277	0,0105	0,0063	17	0,0133
GPS0030	117526,316	466472,247	342,198	0,0264	0,0148	4	0,0303
GPS0031	117533,223	466469,785	342,243	0,0092	0,0074	14	0,0129
GPS0032	117542,239	466483,174	342,300	0,0071	0,0040	19	0,0088
GPS0033	117535,182	466488,723	342,289	0,0096	0,0053	19	0,0118
GPS0034	117523,091	466496,773	342,282	0,0109	0,0059	20	0,0133
GPS0035	117512,609	466502,942	342,235	0,0092	0,0049	20	0,0112
GPS0036	117502,064	466509,482	342,388	0,0092	0,0048	20	0,0111
GPS0037	117492,482	466514,341	342,432	0,0100	0,0051	21	0,0119
GPS0038	117476,501	466518,893	342,565	0,0091	0,0045	21	0,0108
GPS0039	117461,255	466523,469	342,720	0,0103	0,0050	21	0,0121
GPS0040	117458,693	466517,739	342,782	0,0116	0,0055	22	0,0136
GPS0041	117466,091	466533,997	342,809	0,0125	0,0057	22	0,0146
GPS0043	117497,100	466520,698	342,536	0,0123	0,0050	24	0,0137
GPS0044	117506,475	466515,933	342,441	0,0125	0,0052	24	0,0144
GPS0045	117516,112	466510,039	342,308	0,0147	0,0062	24	0,0173
GPS0046	117529,815	466503,152	342,284	0,0134	0,0056	25	0,0161
GPS0047	117541,070	466497,742	342,331	0,0144	0,0058	24	0,0175
GPS0048	117550,916	466493,210	342,379	0,0124	0,0051	24	0,0153
GPS0049	117563,237	466511,430	342,478	0,0100	0,0042	24	0,0128
GPS0050	117553,933	466517,910	342,513	0,0099	0,0042	24	0,0129
GPS0051	117543,899	466524,750	342,405	0,0107	0,0045	24	0,0143
GPS0052	117532,688	466532,624	342,501	0,0114	0,0049	24	0,0156
GPS0053	117523,631	466539,787	342,685	0,0118	0,0051	24	0,0164
GPS0054	117515,007	466546,066	342,721	0,0113	0,0051	24	0,0166
GPS0055	117504,036	466552,003	342,933	0,0091	0,0043	24	0,0143
GPS0056	117492,970	466558,902	342,925	0,0090	0,0043	24	0,0146
GPS0057	117480,392	466563,979	343,030	0,0078	0,0037	24	0,0128
GPS0058	117473,282	466548,634	342,954	0,0081	0,0040	24	0,0138
GPS0059	117484,589	466542,809	342,819	0,0088	0,0043	23	0,0150
GPS0060	117495,694	466537,833	342,820	0,0083	0,0041	23	0,0146
GPS0061	117505,648	466532,783	342,629	0,0068	0,0035	23	0,0123
GPS0062	117520,836	466555,201	342,986	0,0074	0,0039	22	0,0138
GPS0063	117514,661	466560,356	343,032	0,0072	0,0038	22	0,0137
GPS0064	117502,855	466566,569	343,123	0,0081	0,0044	21	0,0161
GPS0065	117494,565	466569,337	343,266	0,0072	0,0040	20	0,0146
GPS0066	117484,514	466571,257	343,156	0,0075	0,0042	20	0,0155
GPS0067	117488,522	466574,544	343,250	0,0071	0,0040	20	0,0148
GPS0068	117528,963	466547,129	342,732	0,0062	0,0037	16	0,0138
GPS0069	117540,272	466539,858	342,592	0,0080	0,0048	16	0,0181
GPS0070	117550,931	466533,457	342,528	0,0082	0,0049	15	0,0187
GPS0071	117560,643	466527,940	342,545	0,0072	0,0044	14	0,0166
GPS0072	117569,720	466523,311	342,565	0,0063	0,0039	14	0,0147
GPS0073	117577,329	466536,013	342,714	0,0063	0,0039	12	0,0148
GPS0074	117569,874	466542,138	342,729	0,0061	0,0038	12	0,0145
GPS0075	117558,370	466550,061	342,753	0,0070	0,0044	11	0,0168
GPS0076	117549,529	466555,497	342,879	0,0077	0,0048	10	0,0184
GPS0077	117539,497	466561,321	342,998	0,0071	0,0046	7	0,0174
GPS0078	117537,418	466576,852	343,310	0,0076	0,0049	6	0,0186
GPS0079	117547,721	466572,777	343,087	0,0079	0,0051	4	0,0193
GPS0080	117562,422	466565,728	342,942	0,0091	0,0059	3	0,0222
GPS0081	117579,174	466558,451	342,914	0,0092	0,0060	2	0,0226
GPS0082	117590,884	466553,888	342,954	0,0078	0,0052	7	0,0183
GPS0083	117597,059	466563,632	343,065	0,0054	0,0037	5	0,0127
GPS0084	117586,135	466570,435	342,999	0,0057	0,0038	5	0,0132
GPS0085	117572,292	466577,730	343,031	0,0055	0,0037	4	0,0127
GPS0086	117557,721	466586,368	343,189	0,0066	0,0045	3	0,0152
GPS0087	117549,594	466594,018	343,369	0,0074	0,0050	3	0,0169
GPS0088	117556,857	466603,916	343,611	0,0066	0,0045	2	0,0151
GPS0089	117561,556	466611,171	344,130	0,0069	0,0047	1	0,0155
GPS0090	117573,644	466609,957	343,746	0,0071	0,0049	0	0,0159

Se nadaljuje ...

... nadaljevanje tabele Natanost določitve detajlnih tokov pridobljenih z RTK metodo GNSS izmere.

To ka	Horizontalni koordinati v D96/TM		Ortometri na višina H [m]	Polos a elipse pogreškov [m]	Polos b elipse pogreškov [m]	Orientacija elipse pogreškov [°]	Standardni odklon višine [m]
	N [m]	E[m]					
GPS0092	117610,492	466616,797	343,819	0,0071	0,0049	359	0,0156
GPS0093	117629,045	466619,559	344,136	0,0087	0,0060	359	0,0191
GPS0104	117491,875	466626,076	343,580	0,0112	0,0063	4	0,0151
GPS0105	117491,828	466609,264	343,712	0,0095	0,0054	4	0,0128
GPS0106	117491,876	466607,236	343,950	0,0109	0,0063	5	0,0147
GPS0107	117491,667	466603,136	344,133	0,0117	0,0070	5	0,0160
GPS0108	117500,484	466603,347	344,204	0,0152	0,0091	5	0,0208
GPS0109	117501,036	466607,430	344,047	0,0091	0,0055	10	0,0129
GPS0110	117501,169	466609,545	343,750	0,0104	0,0063	10	0,0147
GPS0111	117510,274	466610,156	343,754	0,0095	0,0058	10	0,0135
GPS0112	117510,507	466608,063	344,034	0,0086	0,0053	9	0,0122
GPS0113	117510,959	466604,009	344,218	0,0087	0,0055	9	0,0125
GPS0114	117511,164	466603,086	344,099	0,0092	0,0059	9	0,0133
GPS0115	117519,628	466604,103	344,143	0,0092	0,0060	8	0,0134
GPS0116	117519,453	466604,895	344,197	0,0093	0,0061	8	0,0136
GPS0117	117518,968	466608,941	344,059	0,0073	0,0048	8	0,0107
GPS0118	117518,982	466610,930	343,781	0,0107	0,0068	10	0,0146
GPS0119	117532,096	466612,897	343,863	0,0105	0,0068	11	0,0145
GPS0120	117532,576	466610,906	344,079	0,0111	0,0072	11	0,0153
GPS0121	117533,234	466606,879	344,185	0,0107	0,0073	11	0,0151
GPS0122	117538,386	466607,696	344,187	0,0083	0,0057	11	0,0119
GPS0123	117538,351	466611,818	344,104	0,0098	0,0068	11	0,0142
GPS0124	117538,482	466613,877	343,877	0,0092	0,0064	11	0,0135
GPS0125	117550,011	466616,001	343,994	0,0087	0,0061	12	0,0128
GPS0126	117550,737	466614,246	344,126	0,0076	0,0054	12	0,0113
GPS0127	117551,382	466610,213	344,212	0,0077	0,0056	13	0,0121
GPS0128	117564,647	466613,462	344,318	0,0085	0,0062	13	0,0137
GPS0129	117563,206	466617,264	344,259	0,0077	0,0056	14	0,0124
GPS0130	117562,635	466618,891	344,014	0,0076	0,0056	14	0,0125
GPS0131	117575,257	466621,712	344,167	0,0085	0,0063	14	0,0142
GPS0132	117575,619	466620,340	344,307	0,0080	0,0059	14	0,0134
GPS0133	117576,620	466616,330	344,323	0,0062	0,0046	15	0,0106
GPS0134	117589,759	466619,360	344,450	0,0059	0,0044	15	0,0103
GPS0135	117589,606	466623,527	344,430	0,0067	0,0050	15	0,0118
GPS0136	117589,256	466624,850	344,191	0,0071	0,0053	15	0,0125
GPS0137	117605,852	466628,081	344,288	0,0072	0,0054	15	0,0130
GPS0138	117606,292	466626,763	344,548	0,0066	0,0050	15	0,0119
GPS0139	117607,249	466622,757	344,562	0,0065	0,0049	15	0,0120
GPS0140	117621,376	466625,252	344,674	0,0064	0,0049	15	0,0119
GPS0141	117620,678	466629,251	344,765	0,0065	0,0049	15	0,0122
GPS0142	117619,528	466630,636	344,784	0,0067	0,0051	15	0,0127
GPS0143	117621,949	466643,093	344,673	0,0077	0,0055	19	0,0150
GPS0144	117625,293	466642,942	344,630	0,0084	0,0060	19	0,0165
GPS0145	117624,801	466635,688	344,703	0,0076	0,0054	19	0,0151
GPS0146	117625,671	466632,484	344,729	0,0077	0,0055	19	0,0154
GPS0147	117626,526	466631,382	344,751	0,0081	0,0059	19	0,0165
GPS0148	117628,224	466630,317	344,794	0,0082	0,0060	19	0,0169
GPS0149	117621,455	466632,857	344,703	0,0070	0,0051	18	0,0149
GPS0150	117612,793	466622,877	344,586	0,0085	0,0063	18	0,0186
GPS0151	117629,141	466626,298	344,768	0,0067	0,0050	18	0,0151
GPS0152	117637,345	466627,284	344,912	0,0062	0,0047	17	0,0142
GPS0153	117637,304	466631,349	344,871	0,0074	0,0057	17	0,0175
GPS0154	117637,261	466631,904	344,899	0,0072	0,0055	16	0,0173
GPS0155	117637,522	466632,713	344,757	0,0085	0,0065	16	0,0205
GPS0156	117638,052	466640,837	344,447	0,0081	0,0062	16	0,0200
GPS0157	117627,337	466630,953	344,773	0,0087	0,0067	15	0,0221
GPS0158	117620,149	466630,044	344,769	0,0083	0,0064	15	0,0215
GPS0159	117605,320	466627,185	344,507	0,0078	0,0060	14	0,0205
GPS0160	117585,428	466623,131	344,408	0,0069	0,0054	14	0,0186
GPS0161	117566,297	466618,816	344,249	0,0066	0,0051	14	0,0178
GPS0162	117547,854	466614,638	344,076	0,0062	0,0049	12	0,0181
GPS0163	117531,371	466611,652	344,016	0,0076	0,0060	11	0,0225
GPS0164	117519,238	466609,879	344,003	0,0065	0,0052	6	0,0225
GPS0165	117506,815	466608,641	343,966	0,0068	0,0054	6	0,0236
GPS0166	117495,610	466608,114	343,912	0,0074	0,0059	5	0,0261
GPS0167	117496,243	466622,971	343,556	0,0069	0,0055	5	0,0245
GPS0168	117520,624	466628,048	343,772	0,0056	0,0045	5	0,0202
GPS0169	117544,153	466631,574	343,937	0,0060	0,0047	5	0,0217
GPS0170	117562,881	466632,073	343,956	0,0073	0,0058	5	0,0240
GPS0172	117587,871	466638,199	343,959	0,0056	0,0044	5	0,0186

Se nadaljuje ...

... nadaljevanje tabele Natanost določitve detajlnih tokov pridobljenih z RTK metodo GNSS izmere.

Točka	Horizontalni koordinati v D96/TM		Ortometri na višina H [m]	Polos a elipse pogreškov [m]	Polos b elipse pogreškov [m]	Orientacija elipse pogreškov [°]	Standardni odklon višine [m]
	N [m]	E [m]					
GPS0173	117605,655	466640,505	344,069	0,0062	0,0048	5	0,0204
GPS0174	117637,973	466626,580	344,909	0,0063	0,0049	5	0,0210
GPS0175	117625,086	466624,895	344,680	0,0073	0,0057	5	0,0244
GPS0176	117597,332	466620,021	344,491	0,0061	0,0048	5	0,0204
GPS0177	117577,182	466615,655	344,324	0,0061	0,0048	5	0,0203
GPS0178	117561,951	466612,397	344,254	0,0065	0,0050	5	0,0215
GPS0179	117561,578	466611,158	344,048	0,0069	0,0053	5	0,0226
GPS0180	117560,746	466610,328	344,071	0,0066	0,0051	6	0,0216
GPS0181	117550,308	466609,712	344,245	0,0063	0,0049	6	0,0204
GPS0182	117551,228	466609,095	344,143	0,0068	0,0053	6	0,0221
GPS0183	117538,647	466607,260	344,174	0,0047	0,0037	6	0,0153
GPS0184	117538,458	466606,305	344,175	0,0054	0,0042	6	0,0175
GPS0185	117538,389	466604,750	344,037	0,0070	0,0055	6	0,0224
GPS0186	117539,376	466603,244	343,779	0,0060	0,0047	7	0,0189
GPS0187	117537,394	466606,040	344,097	0,0066	0,0051	7	0,0205
GPS0188	117536,883	466604,229	343,897	0,0069	0,0053	7	0,0214
GPS0189	117533,658	466582,942	343,032	0,0066	0,0052	7	0,0199
GPS0190	117523,900	466586,040	343,551	0,0151	0,0118	8	0,0444
GPS0199	117494,244	466595,357	343,827	0,0101	0,0065	17	0,0151
GPS0200	117488,475	466582,744	343,375	0,0088	0,0055	18	0,0127
GPS0201	117494,487	466587,035	343,358	0,0073	0,0044	18	0,0100

PRILOGA E: KOMBINIRANA METODA GEODETSKE IZMERE

PRILOGA E1: Primerjava natanosti horizontalnega položaja in višine detajlnih točk izmerjenih z RTK metodo GNSS-izmere in polarno metodo izmere

Skupni točki	Točka	Horizontalni koordinati v D96/TM		Ortometri na višina H [m]	Polos a elipse pogreškov [m]	Polos b elipse pogreškov [m]	Orientacija elipse pogreškov [°]	Standardni odklon višine [m]	Odstopanja po horizontalnem položaju [m]		Odstopanja po višini [m]
		N [m]	E [m]						[m]	[m]	
20	GPS0020	117529,326	466594,939	343,567	0,00740	0,00450	323	0,0117	0,00728	0,0180	
	TPS0020	117529,319	466594,941	343,585	0,00966	0,00895	8	0,0022			
21	GPS0021	117519,071	466565,82	343,152	0,00850	0,00500	321	0,0129	0,02126	0,0020	
	TPS0021	117519,055	466565,806	343,154	0,00965	0,00891	356	0,0022			
22	GPS0022	117525,533	466561,166	343,071	0,00910	0,00530	321	0,0137	0,01204	0,0030	
	TPS0022	117525,525	466561,157	343,074	0,00972	0,00895	352	0,0022			
23	GPS0023	117531,837	466569,755	343,215	0,01020	0,00590	321	0,0152	0,00510	0,0000	
	TPS0023	117531,832	466569,756	343,215	0,00966	0,00909	352	0,0022			
24	GPS0024	117452,802	466505,981	342,611	0,00890	0,00610	13	0,0120	0,02119	0,0170	
	TPS0024	117452,795	466505,961	342,628	0,00954	0,00944	348	0,0006			
25	GPS0025	117464,193	466500,568	342,411	0,00890	0,00580	15	0,0117	0,01118	0,0190	
	TPS0025	117464,203	466500,563	342,43	0,00991	0,00947	344	0,0006			
26	GPS0026	117477,742	466492,921	342,157	0,00880	0,00570	15	0,0115	0,01063	0,0210	
	TPS0026	117477,749	466492,913	342,178	0,00988	0,00951	339	0,0006			
27	GPS0027	117489,383	466488,208	342,194	0,01080	0,00680	16	0,0139	0,00762	0,0120	
	TPS0027	117489,386	466488,201	342,206	0,00981	0,00955	336	0,0006			
28	GPS0028	117501,762	466482,852	342,266	0,00910	0,00560	17	0,0117	0,01030	0,0130	
	TPS0028	117501,767	466482,843	342,279	0,00975	0,00961	338	0,0006			
29	GPS0029	117515,721	466476,998	342,277	0,01050	0,00630	17	0,0133	0,02285	0,0070	
	TPS0029	117515,73	466476,977	342,284	0,00972	0,00963	7	0,0006			
30	GPS0030	117526,316	466472,247	342,198	0,02640	0,01480	4	0,0303	0,05722	-0,0580	
	TPS0030	117526,321	466472,19	342,14	0,00973	0,00961	22	0,0006			
31	GPS0031	117533,223	466469,785	342,243	0,00920	0,00740	14	0,0129	0,02121	0,0020	
	TPS0031	117533,226	466469,764	342,245	0,00975	0,00960	25	0,0006			
32	GPS0032	117542,239	466483,174	342,3	0,00710	0,00400	19	0,0088	0,01526	0,0120	
	TPS0032	117542,252	466483,166	342,312	0,00979	0,00955	23	0,0006			
33	GPS0033	117535,182	466488,723	342,289	0,00960	0,00530	19	0,0118	0,01903	0,0070	
	TPS0033	117535,181	466488,704	342,296	0,00979	0,00955	23	0,0006			
34	GPS0034	117523,091	466496,773	342,282	0,01090	0,00590	20	0,0133	0,01803	0,0090	
	TPS0034	117523,085	466496,756	342,291	0,00976	0,00959	21	0,0005			
35	GPS0035	117512,609	466502,942	342,235	0,00920	0,00490	20	0,0112	0,01700	0,0130	
	TPS0035	117512,617	466502,927	342,248	0,00972	0,00963	358	0,0005			
36	GPS0036	117502,064	466509,482	342,388	0,00920	0,00480	20	0,0111	0,00721	0,0070	
	TPS0036	117502,058	466509,478	342,395	0,00975	0,00956	337	0,0004			
37	GPS0037	117492,482	466514,341	342,432	0,01000	0,00510	21	0,0119	0,00825	0,0120	
	TPS0037	117492,49	466514,339	342,444	0,00978	0,00950	340	0,0004			
38	GPS0038	117476,501	466518,893	342,565	0,00910	0,00450	21	0,0108	0,00707	0,0130	
	TPS0038	117476,508	466518,894	342,578	0,00982	0,00944	347	0,0005			
39	GPS0039	117461,255	466523,469	342,72	0,01030	0,00500	21	0,0121	0,02283	0,0110	
	TPS0039	117461,266	466523,489	342,731	0,00988	0,00942	353	0,0006			
40	GPS0040	117458,693	466517,739	342,782	0,01160	0,00550	22	0,0136	0,00412	0,0110	
	TPS0040	117458,697	466517,74	342,793	0,00992	0,00943	351	0,0006			
41	GPS0041	117466,091	466533,997	342,809	0,01250	0,00570	22	0,0146	0,01204	0,0200	
	TPS0041	117466,092	466533,985	342,829	0,00991	0,00941	357	0,0005			
43	GPS0043	117497,1	466520,698	342,536	0,01230	0,00500					

... nadaljevanje tabele Primerjava natanosti določitve horizontalnega položaja in višine detajlnih točk izmerjenih z RTK metodo GNSS-izmere in polarno metodo izmere.

Skupni točki	Točka	Horizontalni koordinati v D96/TM			Ortometri na višina H [m]	Polos a elipse pogreškov [m]	Polos b elipse pogreškov [m]	Orientacija elipse pogreškov [°]	Standardni odklon višine [m]	Odstopanja po horizontalnem položaju [m]	Odstopanja po višini [m]
		N [m]	E [m]	[m]							
47	GPS0047	117541,07	466497,742	342,331		0,01440	0,00580	24	0,0175	0,02663	-0,0090
	TPS0047	117541,048	466497,727	342,322		0,00979	0,00953	23	0,0005		
48	GPS0048	117550,916	466493,21	342,379		0,01240	0,00510	24	0,0153	0,03000	-0,0080
	TPS0048	117550,892	466493,192	342,371		0,00982	0,00951	21	0,0006		
49	GPS0049	117563,237	466511,43	342,478		0,01000	0,00420	24	0,0128	0,02154	0,0000
	TPS0049	117563,217	466511,422	342,478		0,00983	0,00944	12	0,0006		
50	GPS0050	117553,933	466517,91	342,513		0,00990	0,00420	24	0,0129	0,03087	0,0090
	TPS0050	117553,905	466517,897	342,522		0,00990	0,00943	12	0,0005		
51	GPS0051	117543,899	466524,75	342,405		0,01070	0,00450	24	0,0143	0,03102	0,0130
	TPS0051	117543,87	466524,739	342,418		0,00990	0,00943	11	0,0004		
52	GPS0052	117532,688	466532,624	342,501		0,01140	0,00490	24	0,0156	0,02766	0,0130
	TPS0052	117532,661	466532,618	342,514		0,00989	0,00942	8	0,0004		
53	GPS0053	117523,631	466539,787	342,685		0,01180	0,00510	24	0,0164	0,02844	0,0030
	TPS0053	117523,603	466539,782	342,688		0,00988	0,00940	0	0,0004		
54	GPS0054	117515,007	466546,066	342,721		0,01130	0,00510	24	0,0166	0,01315	0,0130
	TPS0054	117514,994	466546,068	342,734		0,00991	0,00957	338	0,0004		
55	GPS0055	117504,036	466552,003	342,933		0,00910	0,00430	24	0,0143	0,01513	0,0200
	TPS0055	117504,021	466552,001	342,953		0,00977	0,00950	20	0,0004		
56	GPS0056	117492,97	466558,902	342,925		0,00900	0,00430	24	0,0146	0,01664	0,0140
	TPS0056	117492,956	466558,893	342,939		0,00982	0,00947	17	0,0004		
57	GPS0057	117480,392	466563,979	343,03		0,00780	0,00370	24	0,0128	0,01523	0,0130
	TPS0057	117480,378	466563,973	343,043		0,00985	0,00946	15	0,0005		
58	GPS0058	117473,282	466548,634	342,954		0,00810	0,00400	24	0,0138	0,01868	0,0090
	TPS0058	117473,264	466548,629	342,963		0,00985	0,00941	5	0,0005		
59	GPS0059	117484,589	466542,809	342,819		0,00880	0,00430	23	0,0150	0,01746	0,0100
	TPS0059	117484,572	466542,805	342,829		0,00991	0,00940	3	0,0004		
60	GPS0060	117495,694	466537,833	342,82		0,00830	0,00410	23	0,0146	0,01942	0,0160
	TPS0060	117495,675	466537,829	342,836		0,00991	0,00940	357	0,0004		
61	GPS0061	117505,648	466532,783	342,629		0,00680	0,00350	23	0,0123	0,02025	0,0080
	TPS0061	117505,629	466532,776	342,637		0,00992	0,00947	343	0,0004		
62	GPS0062	117520,836	466555,201	342,986		0,00740	0,00390	22	0,0138	0,01600	0,0180
	TPS0062	117520,82	466555,201	343,004		0,00984	0,00953	337	0,0004		
63	GPS0063	117514,661	466560,356	343,032		0,00720	0,00380	22	0,0137	0,01432	0,0070
	TPS0063	117514,648	466560,362	343,039		0,00974	0,00961	350	0,0004		
64	GPS0064	117502,855	466566,569	343,123		0,00810	0,00440	21	0,0161	0,01334	-0,0230
	TPS0064	117502,852	466566,582	343,1		0,00974	0,00956	23	0,0004		
65	GPS0065	117494,565	466569,337	343,266		0,00720	0,00400	20	0,0146	0,01432	0,0100
	TPS0065	117494,551	466569,34	343,276		0,00978	0,00953	23	0,0004		
66	GPS0066	117484,514	466571,257	343,156		0,00750	0,00420	20	0,0155	0,01315	0,0120
	TPS0066	117484,501	466571,259	343,168		0,00981	0,00950	20	0,0005		
67	GPS0067	117488,522	466574,544	343,25		0,00710	0,00400	20	0,0148	0,01265	0,0070
	TPS0067	117488,51	466574,54	343,257		0,00984	0,00951	22	0,0005		
68	GPS0068	117528,963	466547,129	342,732		0,00620	0,00370	16	0,0138	0,00632	0,0160
	TPS0068	117528,957	466547,131	342,748		0,00980	0,00943	349	0,0004		
69	GPS0069	117540,272	466539,858	342,592		0,00800	0,00480	16	0,0181	0,01315	0,0290
	TPS0069	117540,259	466539,86	342,621		0,00987	0,00940	0	0,0004		
70	GPS0070	117550,931	466533,457	342,528		0,00820	0,00490	15	0,0187	0,01237	0,0290
	TPS0070	11									

... nadaljevanje tabele Primerjava natanosti določitve horizontalnega položaja in višine detajlnih točk izmerjenih z RTK metodo GNSS-izmere in polarno metodo izmere.

Skupni točki	Točka	Horizontalni koordinati v D96/TM		Ortometri na višina H [m]	Polos a elipse pogreškov [m]	Polos b elipse pogreškov [m]	Orientacija elipse pogreškov [°]	Standardni odklon višine [m]	Odstopanja po horizontalnem položaju		Odstopanja po višini [m]
		N [m]	E [m]						[m]	[m]	
75	GPS0075	117558,37	466550,061	342,753	0,00700	0,00440	11	0,0168	0,00985	-0,0150	
	TPS0075	117558,379	466550,065	342,738	0,00993	0,00941	354	0,0005			
76	GPS0076	117549,529	466555,497	342,879	0,00770	0,00480	10	0,0184	0,00300	-0,0050	
	TPS0076	117549,529	466555,5	342,874	0,00992	0,00943	350	0,0005			
77	GPS0077	117539,497	466561,321	342,998	0,00710	0,00460	7	0,0174	0,00141	-0,0210	
	TPS0077	117539,498	466561,32	342,977	0,00991	0,00946	344	0,0004			
78	GPS0078	117537,418	466576,852	343,31	0,00760	0,00490	6	0,0186	0,00539	-0,0190	
	TPS0078	117537,423	466576,85	343,291	0,00986	0,00953	338	0,0005			
79	GPS0079	117547,721	466572,777	343,087	0,00790	0,00510	4	0,0193	0,00224	-0,0300	
	TPS0079	117547,723	466572,776	343,057	0,00982	0,00948	342	0,0005			
80	GPS0080	117562,422	466565,728	342,942	0,00910	0,00590	3	0,0222	0,00200	-0,0250	
	TPS0080	117562,424	466565,728	342,917	0,00984	0,00943	349	0,0006			
81	GPS0081	117579,174	466558,451	342,914	0,00920	0,00600	2	0,0226	0,00447	-0,0170	
	TPS0081	117579,178	466558,453	342,897	0,00989	0,00942	353	0,0006			
82	GPS0082	117590,884	466553,888	342,954	0,00780	0,00520	7	0,0183	0,00583	-0,0030	
	TPS0082	117590,887	466553,893	342,951	0,00993	0,00942	356	0,0006			
83	GPS0083	117597,059	466563,632	343,065	0,00540	0,00370	5	0,0127	0,00583	-0,0070	
	TPS0083	117597,064	466563,635	343,058	0,00993	0,00943	353	0,0007			
84	GPS0084	117586,135	466570,435	342,999	0,00570	0,00380	5	0,0132	0,00781	-0,0030	
	TPS0084	117586,141	466570,44	342,996	0,00994	0,00944	350	0,0006			
85	GPS0085	117572,292	466577,73	343,031	0,00550	0,00370	4	0,0127	0,00721	-0,0010	
	TPS0085	117572,296	466577,736	343,03	0,00993	0,00945	346	0,0006			
86	GPS0086	117557,721	466586,368	343,189	0,00660	0,00450	3	0,0152	0,00849	0,0000	
	TPS0086	117557,715	466586,374	343,189	0,00989	0,00950	341	0,0006			
87	GPS0087	117549,594	466594,018	343,369	0,00740	0,00500	3	0,0169	0,01063	0,0080	
	TPS0087	117549,587	466594,026	343,377	0,00985	0,00953	337	0,0006			
88	GPS0088	117556,857	466603,916	343,611	0,00660	0,00450	2	0,0151	0,01304	-0,0040	
	TPS0088	117556,846	466603,923	343,607	0,00982	0,00953	338	0,0006			
89	GPS0089	117561,556	466611,171	344,13	0,00690	0,00470	1	0,0155	0,01879	-0,0150	
	TPS0089	117561,548	466611,188	344,115	0,00983	0,00953	338	0,0007			
90	GPS0090	117573,644	466609,957	343,746	0,00710	0,00490	0	0,0159	0,01360	-0,0040	
	TPS0090	117573,636	466609,968	343,742	0,00983	0,00951	340	0,0007			
91	GPS0091	117587,997	466611,208	343,634	0,00790	0,00540	0	0,0175	0,01360	-0,0030	
	TPS0091	117587,986	466611,216	343,631	0,00986	0,00950	342	0,0008			
92	GPS0092	117610,492	466616,797	343,819	0,00710	0,00490	359	0,0156	0,01170	0,0010	
	TPS0092	117610,488	466616,808	343,82	0,00988	0,00949	344	0,0010			
93	GPS0093	117629,045	466619,559	344,136	0,00870	0,00600	359	0,0191	0,01432	-0,0140	
	TPS0093	117629,048	466619,573	344,122	0,00989	0,00949	346	0,0011			
104	GPS0104	117491,875	466626,076	344,262	0,01120	0,00630	4	0,0151	0,01414	0,0450	
	TPS0104	117491,885	466626,086	343,58	0,00974	0,00840	19	0,0034			
105	GPS0105	117491,828	466609,264	343,712	0,00950	0,00540	4	0,0128	0,01170	0,0430	
	TPS0105	117491,839	466609,268	343,755	0,00850	0,00838	346	0,0034			
106	GPS0106	117491,876	466607,236	343,612	0,01090	0,00630	5	0,0147	0,01082	0,3690	
	TPS0106	117491,885	466607,242	343,981	0,00851	0,00837	15	0,0034			
107	GPS0107	117491,667	466603,136	344,133	0,01170	0,00700	5	0,0160	0,00943	0,0200	
	TPS0107	117491,675	466603,141	344,153	0,00852	0,00836	15	0,0034			
108	GPS0108	117500,484	466603,347	344,204	0,01520	0,00910	5	0,0208	0,02729	-0,0020	

... nadaljevanje tabele Primerjava natanosti določitve horizontalnega položaja in višine detajlnih točk izmerjenih z RTK metodo GNSS-izmere in polarno metodo izmere.

Skupni točki	Točka	Horizontalni koordinati v D96/TM			Ortometri na višina H [m]	Polos a elipse pogreškov [m]	Polos b elipse pogreškov [m]	Orientacija elipse pogreškov [°]	Standardni odklon višine [m]	Odstopanja po horizontalnem položaju [m]	Odstopanja po višini [m]
		N [m]	E [m]	[m]							
113	GPS0113	117510,959	466604,009	344,218		0,00870	0,00550	9	0,0125	0,01581	0,0220
	TPS0113	117510,974	466604,014	344,24		0,00853	0,00832	359	0,0034		
114	GPS0114	117511,164	466603,086	344,099		0,00920	0,00590	9	0,0133	0,01442	0,0140
	TPS0114	117511,156	466603,098	344,113		0,00854	0,00831	24	0,0034		
115	GPS0115	117519,628	466604,103	344,143		0,00920	0,00600	8	0,0134	0,02900	0,0270
	TPS0115	117519,649	466604,123	344,17		0,00855	0,00830	19	0,0034		
116	GPS0116	117519,453	466604,895	344,197		0,00930	0,00610	8	0,0136	0,02702	0,0260
	TPS0116	117519,474	466604,912	344,223		0,00856	0,00830	325	0,0034		
117	GPS0117	117518,968	466608,941	344,059		0,00730	0,00480	8	0,0107	0,02915	0,0160
	TPS0117	117518,983	466608,966	344,075		0,00854	0,00832	317	0,0034		
118	GPS0118	117518,982	466610,93	343,781		0,01070	0,00680	10	0,0146	0,02283	0,0170
	TPS0118	117518,993	466610,95	343,798		0,00852	0,00834	315	0,0034		
119	GPS0119	117532,096	466612,897	343,863		0,01050	0,00680	11	0,0145	0,01780	0,0060
	TPS0119	117532,107	466612,911	343,869		0,00854	0,00829	40	0,0034		
120	GPS0120	117532,576	466610,906	344,079		0,01110	0,00720	11	0,0153	0,01345	0,0170
	TPS0120	117532,585	466610,916	344,096		0,00856	0,00827	317	0,0034		
121	GPS0121	117533,234	466606,879	344,185		0,01070	0,00730	11	0,0151	0,00762	0,0390
	TPS0121	117533,237	466606,886	344,224		0,00857	0,00824	319	0,0034		
122	GPS0122	117538,386	466607,696	344,187		0,00830	0,00570	11	0,0119	0,00922	0,0310
	TPS0122	117538,38	466607,703	344,218		0,00858	0,00822	317	0,0034		
123	GPS0123	117538,351	466611,818	344,104		0,00980	0,00680	11	0,0142	0,02377	0,0190
	TPS0123	117538,329	466611,827	344,123		0,00864	0,00823	42	0,0034		
124	GPS0124	117538,482	466613,877	343,877		0,00920	0,00640	11	0,0135	0,01985	0,0290
	TPS0124	117538,467	466613,89	343,906		0,00861	0,00824	36	0,0034		
125	GPS0125	117550,011	466616,001	343,994		0,00870	0,00610	12	0,0128	0,01253	0,0390
	TPS0125	117550,005	466616,012	344,033		0,00860	0,00826	37	0,0034		
126	GPS0126	117550,737	466614,246	344,126		0,00760	0,00540	12	0,0113	0,01836	0,0530
	TPS0126	117550,721	466614,255	344,179		0,00857	0,00825	32	0,0034		
127	GPS0127	117551,382	466610,213	344,212		0,00770	0,00560	13	0,0121	0,01300	0,0540
	TPS0127	117551,37	466610,218	344,266		0,00858	0,00824	32	0,0034		
128	GPS0128	117564,647	466613,462	344,318		0,00850	0,00620	13	0,0137	0,01342	0,0470
	TPS0128	117564,635	466613,468	344,365		0,00859	0,00834	38	0,0034		
129	GPS0129	117563,206	466617,264	344,259		0,00770	0,00560	14	0,0124	0,01628	0,0370
	TPS0129	117563,194	466617,275	344,296		0,00848	0,00837	0	0,0034		
130	GPS0130	117562,635	466618,891	344,014		0,00760	0,00560	14	0,0125	0,01897	0,0470
	TPS0130	117562,617	466618,897	344,061		0,00847	0,00838	0	0,0034		
131	GPS0131	117575,257	466621,712	344,167		0,00850	0,00630	14	0,0142	0,02435	0,0540
	TPS0131	117575,234	466621,72	344,221		0,00844	0,00840	0	0,0034		
132	GPS0132	117575,619	466620,34	344,307		0,00800	0,00590	14	0,0134	0,02081	0,0570
	TPS0132	117575,602	466620,352	344,364		0,00847	0,00840	0	0,0034		
133	GPS0133	117576,62	466616,33	344,323		0,00620	0,00460	15	0,0106	0,00943	0,0650
	TPS0133	117576,612	466616,335	344,388		0,00848	0,00838	0	0,0034		
134	GPS0134	117589,759	466619,36	344,45		0,00590	0,00440	15	0,0103	0,01456	0,0630
	TPS0134	117589,755	466619,374	344,513		0,00845	0,00840	0	0,0034		
135	GPS0135	117589,606	466623,527	344,43		0,00670	0,00500	15	0,0118	0,01712	

... nadaljevanje tabele Primerjava natanosti določitve horizontalnega položaja in višine detajlnih točk izmerjenih z RTK metodo GNSS-izmere in polarno metodo izmere.

Skupni točki	Točka	Horizontalni koordinati v D96/TM			Ortometri na višina H [m]	Polos a elipse pogreškov [m]	Polos b elipse pogreškov [m]	Orientacija elipse pogreškov 15	Standardni odklon višine [m]	Odstopanja po horizontalnem položaju [m]	Odstopanja po višini [m]
		N [m]	E [m]	[m]							
141	GPS0141	117620,678	466629,251	344,765		0,00650	0,00490	0	0,0122	0,02209	0,0200
	TPS0141	117620,68	466629,273	344,785		0,00850	0,00841	15	0,0034		
142	GPS0142	117619,528	466630,636	344,784		0,00670	0,00510	0	0,0127	0,01703	0,0290
	TPS0142	117619,529	466630,653	344,813		0,00848	0,00841	19	0,0034		
143	GPS0143	117621,949	466643,093	344,673		0,00770	0,00550	0	0,0150	0,01910	0,0390
	TPS0143	117621,951	466643,112	344,712		0,00851	0,00838	19	0,0035		
144	GPS0144	117625,293	466642,942	344,63		0,00840	0,00600	0	0,0165	0,01712	0,0380
	TPS0144	117625,291	466642,959	344,668		0,00852	0,00839	19	0,0035		
145	GPS0145	117624,801	466635,688	344,703		0,00760	0,00540	0	0,0151	0,01456	0,0440
	TPS0145	117624,805	466635,702	344,747		0,00850	0,00840	19	0,0035		
146	GPS0146	117625,671	466632,484	344,729		0,00770	0,00550	0	0,0154	0,01044	0,0510
	TPS0146	117625,674	466632,494	344,78		0,00848	0,00840	19	0,0035		
147	GPS0147	117626,526	466631,382	344,751		0,00810	0,00590	0	0,0165	0,01360	0,0540
	TPS0147	117626,53	466631,395	344,805		0,00848	0,00841	19	0,0035		
148	GPS0148	117628,224	466630,317	344,794		0,00820	0,00600	0	0,0169	0,01432	0,0400
	TPS0148	117628,23	466630,33	344,834		0,00850	0,00841	18	0,0035		
149	GPS0149	117621,455	466632,857	344,703		0,00700	0,00510	0	0,0149	0,01281	0,0260
	TPS0149	117621,465	466632,865	344,729		0,00851	0,00840	18	0,0034		
150	GPS0150	117612,793	466622,877	344,586		0,00850	0,00630	0	0,0186	0,00922	0,0300
	TPS0150	117612,795	466622,886	344,616		0,00847	0,00841	18	0,0034		
151	GPS0151	117629,141	466626,298	344,768		0,00670	0,00500	0	0,0151	0,01063	0,0340
	TPS0151	117629,148	466626,306	344,802		0,00847	0,00842	17	0,0035		
152	GPS0152	117637,345	466627,284	344,912		0,00620	0,00470	0	0,0142	0,01118	0,0260
	TPS0152	117637,35	466627,294	344,938		0,00849	0,00843	17	0,0035		
153	GPS0153	117637,304	466631,349	344,871		0,00740	0,00570	0	0,0175	0,01105	0,0310
	TPS0153	117637,305	466631,36	344,902		0,00850	0,00842	16	0,0035		
154	GPS0154	117637,261	466631,904	344,899		0,00720	0,00550	0	0,0173	0,01170	0,0290
	TPS0154	117637,265	466631,915	344,928		0,00850	0,00842	16	0,0035		
155	GPS0155	117637,522	466632,713	344,757		0,00850	0,00650	0	0,0205	0,01200	0,0390
	TPS0155	117637,522	466632,725	344,796		0,00850	0,00842	16	0,0035		
156	GPS0156	117638,052	466640,837	344,447		0,00810	0,00620	0	0,0200	0,01628	0,0440
	TPS0156	117638,063	466640,849	344,491		0,00852	0,00841	15	0,0035		
157	GPS0157	117627,337	466630,953	344,773		0,00870	0,00670	0	0,0221	0,01924	0,0420
	TPS0157	117627,346	466630,97	344,815		0,00850	0,00841	15	0,0035		
158	GPS0158	117620,149	466630,044	344,769		0,00830	0,00640	0	0,0215	0,01118	0,0190
	TPS0158	117620,151	466630,055	344,788		0,00850	0,00841	14	0,0034		
159	GPS0159	117605,32	466627,185	344,507		0,00780	0,00600	0	0,0205	0,01131	0,0280
	TPS0159	117605,312	466627,193	344,535		0,00847	0,00841	14	0,0034		
160	GPS0160	117585,428	466623,131	344,408		0,00690	0,00540	0	0,0186	0,01703	0,0190
	TPS0160	117585,415	466623,142	344,427		0,00847	0,00840	14	0,0034		
161	GPS0161	117566,297	466618,816	344,249		0,00660	0,00510	330	0,0178	0,01844	0,0180
	TPS0161	117566,285	466618,83	344,267		0,00848	0,00839	12	0,0034		
162	GPS0162	117547,854	466614,638	344,076		0,00620	0,00490	355	0,0181	0,00539	0,0220
	TPS0162	117547,856	466614,643	344,098		0,00852	0,00822	11	0,0034		
163	GPS0163	117531,371	466611,652	344,016		0,00760	0,00600	349	0,0225	0,00100	

... nadaljevanje tabele Primerjava natanosti določitve horizontalnega položaja in višine detajlnih točk izmerjenih z RTK metodo GNSS-izmere in polarno metodo izmere.

Skupni točki	Točka	Horizontalni koordinati v D96/TM			Ortometri na višina H [m]	Polos a elipse pogreškov [m]	Polos b elipse pogreškov [m]	Orientacija elipse pogreškov [°]	Standardni odklon višine [m]	Odstopanja po horizontalnem položaju [m]	Odstopanja po višini [m]
		N [m]	E [m]	[m]							
169	GPS0169	117544,153	466631,574	343,937		0,00600	0,00470	5	0,0217	0,00806	0,0450
	TPS0169	117544,145	466631,573	343,982		0,00844	0,00820	340	0,0034		
170	GPS0170	117562,881	466632,073	343,956		0,00730	0,00580	5	0,0240	0,03569	0,0260
	TPS0170	117562,846	466632,08	343,982		0,00866	0,00832	334	0,0034		
172	GPS0172	117587,871	466638,199	343,959		0,00560	0,00440	5	0,0186	0,01304	0,0590
	TPS0172	117587,878	466638,21	344,018		0,00852	0,00836	339	0,0034		
173	GPS0173	117605,655	466640,505	344,069		0,00620	0,00480	5	0,0204	0,01265	0,0560
	TPS0173	117605,659	466640,517	344,125		0,00851	0,00837	315	0,0034		
174	GPS0174	117637,973	466626,58	344,909		0,00630	0,00490	5	0,0210	0,01487	0,0430
	TPS0174	117637,983	466626,591	344,952		0,00845	0,00843	315	0,0035		
175	GPS0175	117625,086	466624,895	344,68		0,00730	0,00570	5	0,0244	0,01166	0,0430
	TPS0175	117625,092	466624,905	344,723		0,00849	0,00842	348	0,0035		
176	GPS0176	117597,332	466620,021	344,491		0,00610	0,00480	5	0,0204	0,00922	0,0500
	TPS0176	117597,338	466620,028	344,541		0,00849	0,00841	352	0,0034		
177	GPS0177	117577,182	466615,655	344,324		0,00610	0,00480	5	0,0203	0,00539	0,0510
	TPS0177	117577,187	466615,657	344,375		0,00849	0,00838	8	0,0034		
178	GPS0178	117561,951	466612,397	344,254		0,00650	0,00500	5	0,0215	0,00412	0,0410
	TPS0178	117561,955	466612,398	344,295		0,00853	0,00832	35	0,0034		
179	GPS0179	117561,578	466611,158	344,048		0,00690	0,00530	5	0,0226	0,00632	0,0420
	TPS0179	117561,584	466611,16	344,09		0,00854	0,00830	324	0,0034		
180	GPS0180	117560,746	466610,328	344,071		0,00660	0,00510	6	0,0216	0,03536	0,0120
	TPS0180	117560,721	466610,353	344,083		0,00855	0,00830	327	0,0034		
181	GPS0181	117550,308	466609,712	344,245		0,00630	0,00490	6	0,0204	0,00707	0,0000
	TPS0181	117550,303	466609,717	344,245		0,00854	0,00822	328	0,0034		
182	GPS0182	117551,228	466609,095	344,143		0,00680	0,00530	6	0,0221	0,01414	0,0150
	TPS0182	117551,226	466609,109	344,158		0,00862	0,00823	345	0,0034		
183	GPS0183	117538,647	466607,26	344,174		0,00470	0,00370	6	0,0153	0,01838	0,0110
	TPS0183	117538,634	466607,273	344,185		0,00861	0,00821	344	0,0034		
184	GPS0184	117538,458	466606,305	344,175		0,00540	0,00420	6	0,0175	0,01628	0,0150
	TPS0184	117538,447	466606,317	344,19		0,00863	0,00821	11	0,0034		
185	GPS0185	117538,389	466604,75	344,037		0,00700	0,00550	6	0,0224	0,02154	0,0270
	TPS0185	117538,381	466604,77	344,064		0,00863	0,00822	11	0,0034		
186	GPS0186	117539,376	466603,244	343,779		0,00600	0,00470	7	0,0189	0,00447	0,0300
	TPS0186	117539,378	466603,248	343,809		0,00862	0,00821	11	0,0034		
187	GPS0187	117537,394	466606,04	344,097		0,00660	0,00510	7	0,0205	0,00600	0,0190
	TPS0187	117537,394	466606,046	344,116		0,00865	0,00822	8	0,0034		
188	GPS0188	117536,883	466604,229	343,897		0,00690	0,00530	7	0,0214	0,01204	0,0170
	TPS0188	117536,882	466604,241	343,914		0,00863	0,00822	13	0,0034		
189	GPS0189	117533,658	466582,942	343,032		0,00660	0,00520	7	0,0199	0,00583	-0,0030
	TPS0189	117533,655	466582,937	343,029		0,00862	0,00821	12	0,0034		
190	GPS0190	117523,9	466586,04	343,551		0,01510	0,01180	8	0,0444	0,05217	-0,0860
	TPS0190	117523,849	466586,051	343,465		0,00866	0,00824	9	0,0034		
199	GPS0199	117494,244	466595,357	343,827		0,01010	0,00650	17	0,0151	0,01342	0,0120
	TPS0199	117494,256	466595,363	343,839		0,00941	0,01211	17	0,0047		
200	GPS0200	117488,475	466582,744	343,375		0,00880	0,00550	18	0,0127	0,00632	0,0130
	TPS0200	117488,481	466582,742	343,388		0,01255	0,01212	7	0,0047		
201	GPS0201	117494,487	466587,035	343,358		0,00730	0,00440	18	0,0100	0,01562	0,0020
	TP										

PRILOGA E2: Izra unane srednje vrednosti detajlnih točk in z lokalnimi transformacijskimi parametri transformirane koordinate v koordinatni sistem D48/GK

Točka	Srednja vrednost koordinat v ETRS89		Srednja vrednost elipsoidne višine h [m]	Z lokalnimi transformacijskimi parametri transformirane koordinate v D48/GK		Ortometrična višina H [m]
	Geografska širina [°, '"]	Geografska dolžina [°, '"]		x [m]	y [m]	
20	46 11 48,129299	14 34 1,859424	390,2912	117042,763	466965,407	343,576
21	46 11 47,79186	14 34 0,503513	389,8678	117032,503	466936,281	343,153
22	46 11 48,0004715	14 34 0,2848775	389,7873	117038,969	466931,629	343,073
23	46 11 48,206216	14 34 0,684141	389,9303	117045,275	466940,223	343,215
24	46 11 45,634972	14 33 57,72923	389,3310	116966,237	466876,441	342,620
25	46 11 46,003283	14 33 57,474215	389,1317	116977,637	466871,036	342,420
26	46 11 46,4406855	14 33 57,1140045	388,8797	116991,183	466863,387	342,168
27	46 11 46,8168585	14 33 56,891255	388,9123	117002,823	466858,674	342,200
28	46 11 47,2168645	14 33 56,638192	388,9854	117015,202	466853,316	342,273
29	46 11 47,668055	14 33 56,3613125	388,9939	117029,164	466847,456	342,281
30	46 11 48,010276	14 33 56,136171	388,8829	117039,755	466842,687	342,169
31	46 11 48,233553	14 33 56,020432	388,9577	117046,662	466840,243	342,244
32	46 11 48,5281235	14 33 56,6429145	389,0203	117055,684	466853,638	342,306
33	46 11 48,3002925	14 33 56,9032765	389,0069	117048,619	466859,181	342,293
34	46 11 47,909978	14 33 57,2818965	389,0000	117036,525	466867,233	342,286
35	46 11 47,5718235	14 33 57,5723295	388,9544	117026,051	466873,403	342,241
36	46 11 47,2311885	14 33 57,8803205	389,1042	117015,499	466879,949	342,391
37	46 11 46,921921	14 33 58,1094315	389,1509	117005,924	466884,809	342,438
38	46 11 46,405089	14 33 58,3259135	389,2835	116989,943	466889,363	342,571
39	46 11 45,912191	14 33 58,5436885	389,4372	116974,700	466893,949	342,725
40	46 11 45,8280635	14 33 58,2766085	389,4994	116972,134	466888,209	342,788
41	46 11 46,0705015	14 33 59,032729	389,5312	116979,531	466904,460	342,819
43	46 11 47,0720475	14 33 58,404187	389,2522	117010,525	466891,153	342,539
44	46 11 47,3747585	14 33 58,1794615	389,1538	117019,897	466886,386	342,440
45	46 11 47,6860375	14 33 57,902284	389,0207	117029,539	466880,496	342,307
46	46 11 48,12867	14 33 57,577627	388,9916	117043,242	466873,610	342,278
47	46 11 48,4922275	14 33 57,322557	389,0409	117054,496	466868,202	342,327
48	46 11 48,8103025	14 33 57,1086035	389,0898	117064,341	466863,669	342,375
49	46 11 49,2126905	14 33 57,95552	389,1929	117076,665	466881,893	342,478
50	46 11 48,9123505	14 33 58,260004	389,2328	117067,357	466888,371	342,518
51	46 11 48,588529	14 33 58,5816265	389,1265	117057,323	466895,211	342,412
52	46 11 48,226882	14 33 58,9518475	389,2216	117046,114	466903,088	342,507
53	46 11 47,9347485	14 33 59,288305	389,4011	117037,056	466910,252	342,687
54	46 11 47,6567705	14 33 59,583558	389,4411	117028,440	466916,535	342,727
55	46 11 47,3024695	14 33 59,863155	389,6569	117017,469	466922,470	342,943
56	46 11 46,945241	14 34 0,187576	389,6451	117006,402	466929,366	342,932
57	46 11 46,5387535	14 34 0,4276415	389,7495	116993,825	466934,444	343,037
58	46 11 46,305677	14 33 59,71378	389,6709	116986,712	466919,101	342,958
59	46 11 46,6709315	14 33 59,439211	389,5368	116998,021	466913,276	342,824
60	46 11 47,029687	14 33 59,204302	389,5413	117009,124	466908,299	342,828
61	46 11 47,3511695	14 33 58,966135	389,3467	117019,077	466903,247	342,633
62	46 11 47,847146	14 34 0,0081185	389,7093	117034,268	466925,669	342,995
63	46 11 47,6480755	14 34 0,2502645	389,7501	117028,094	466930,827	343,036
64	46 11 47,2669755	14 34 0,543216	389,8256	117016,294	466937,044	343,112
65	46 11 46,998756	14 34 0,674189	389,9845	117007,998	466939,807	343,271
66	46 11 46,673578	14 34 0,766236	389,8754	116997,948	466941,726	343,162
67	46 11 46,803979	14 34 0,91842	389,9668	117001,956	466945,011	343,253
68	46 11 48,1090935	14 33 59,6295175	389,4542	117042,399	466917,597	342,740
69	46 11 48,4739885	14 33 59,287528	389,3213	117053,704	466910,326	342,606
70	46 11 48,818111	14 33 58,9862835	389,2579	117064,363	466903,925	342,543
71	46 11 49,1317695	14 33 58,726427	389,2754	117074,077	466898,407	342,560
72	46 11 49,424903	14 33 58,5082835	389,2951	117083,153	466893,779	342,579
73	46 11 49,673793	14 33 59,098831	389,4346	117090,768	466906,482	342,719
74	46 11 49,4334525	14 33 59,3864695	389,4449	117083,314	466912,608	342,729
75	46 11 49,062318	14 33 59,758873	389,4610	117071,813	466920,530	342,745
76	46 11 48,7768085	14 34 0,014655	389,5920	117062,969	466925,965	342,877
77	46 11 48,452909	14 34 0,288766	389,7025	117052,937	466931,788	342,987
78	46 11 48,3883715	14 34 1,013635	390,0155	117050,860	466947,317	343,300
79	46 11 48,721319	14 34 0,8210165	389,7878	117061,162	466943,243	343,072
80	46 11 49,1962215	14 34 0,488518	389,6453	117075,862	466936,195	342,929
81	46 11 49,7375745	14 34 0,144824	389,6220	117092,615	466928,917	342,906
82	46 11 50,116029	14 33 59,9291225	389,6693	117104,324	466924,356	342,953
83	46 11 50,3177655	14 34 0,382011	389,7785	117110,500	466934,099	343,061
84	46 11 49,9652085	14 34 0,702119	389,7144	117099,578	466940,903	342,998
85	46 11 49,5180825	14 34 1,0459335	389,7466	117085,734	466948,199	343,030
86	46 11 49,0474995					

... nadaljevanje tabele Izra unane srednje vrednosti detajlnih točk in z lokalnimi transformacijskimi parametri transformirane koordinate v koordinatni sistem D48/GK.

Točka	Srednja vrednost koordinat v ETRS89		Srednja vrednost elipsoidne višine h [m]	Z lokalnimi transformacijskimi parametri transformirane koordinate v D48/GK		Ortometri na višina H [m]
	Geografska širina [$^{\circ}$, '"]	Geografska dolžina [$^{\circ}$, '"]		x [m]	y [m]	
109	46 11 47,215505	14 34 2,449221	390,7624	117014,483	466977,898	344,048
110	46 11 47,220224	14 34 2,5480115	390,4747	117014,618	466980,017	343,760
111	46 11 47,515273	14 34 2,5741345	390,4809	117023,724	466980,626	343,766
112	46 11 47,522445	14 34 2,476511	390,7622	117023,956	466978,535	344,048
113	46 11 47,536362	14 34 2,287205	390,9433	117024,408	466974,478	344,229
114	46 11 47,5424775	14 34 2,2442925	390,8205	117024,602	466973,559	344,106
115	46 11 47,8172705	14 34 2,2897725	390,8716	117033,080	466974,581	344,157
116	46 11 47,811758	14 34 2,326661	390,9248	117032,906	466975,370	344,210
117	46 11 47,796646	14 34 2,5157	390,7816	117032,417	466979,421	344,067
118	46 11 47,7973885	14 34 2,608347	390,5042	117032,429	466981,407	343,789
119	46 11 48,2224735	14 34 2,6966205	390,5814	117045,543	466983,371	343,866
120	46 11 48,2376565	14 34 2,603503	390,8032	117046,022	466981,377	344,088
121	46 11 48,258144	14 34 2,415442	390,9198	117046,677	466977,348	344,204
122	46 11 48,4250195	14 34 2,452265	390,9182	117051,824	466978,166	344,203
123	46 11 48,4243465	14 34 2,644627	390,8287	117051,781	466982,290	344,113
124	46 11 48,4290644	14 34 2,7406895	390,6072	117051,916	466984,350	343,892
125	46 11 48,803018	14 34 2,8367475	390,7297	117063,450	466986,472	344,014
126	46 11 48,826031	14 34 2,754721	390,8684	117064,170	466984,717	344,152
127	46 11 48,846283	14 34 2,5662965	390,9550	117064,817	466980,681	344,239
128	46 11 49,2765095	14 34 2,7145	391,0580	117078,082	466983,930	344,341
129	46 11 49,230533	14 34 2,892342	390,9940	117076,642	466987,735	344,277
130	46 11 49,2121985	14 34 2,968255	390,7543	117076,067	466989,360	344,038
131	46 11 49,621434	14 34 3,096705	390,9112	117088,686	466992,182	344,194
132	46 11 49,633036	14 34 3,0326715	391,0526	117089,052	466990,811	344,336
133	46 11 49,6648935	14 34 2,8451935	391,0723	117090,057	466986,797	344,355
134	46 11 50,0910335	14 34 2,983446	391,1990	117103,198	466989,832	344,481
135	46 11 50,0869385	14 34 3,1779005	391,1759	117103,048	466994,000	344,458
136	46 11 50,0757615	14 34 3,2397105	390,9377	117102,696	466995,324	344,220
137	46 11 50,613926	14 34 3,3862655	391,0316	117119,294	466998,556	344,313
138	46 11 50,6278535	14 34 3,324566	391,2899	117119,731	466997,235	344,572
139	46 11 50,658183	14 34 3,1375185	391,2991	117120,689	466993,230	344,581
140	46 11 51,116158	14 34 3,250368	391,4063	117134,815	466995,726	344,688
141	46 11 51,094356	14 34 3,4371055	391,4937	117134,120	466999,726	344,775
142	46 11 51,057342	14 34 3,5018635	391,5172	117132,970	467001,108	344,798
143	46 11 51,137928	14 34 4,0823325	391,4112	117135,391	467013,566	344,692
144	46 11 51,2461795	14 34 4,07441	391,3683	117138,734	467013,414	344,649
145	46 11 51,229068	14 34 3,7361185	391,4441	117138,245	467006,159	344,725
146	46 11 51,2566705	14 34 3,586313	391,4736	117139,114	467002,952	344,755
147	46 11 51,284172	14 34 3,534783	391,4972	117139,969	467001,852	344,778
148	46 11 51,3390155	14 34 3,4847075	391,5328	117141,668	467000,787	344,814
149	46 11 51,120291	14 34 3,604763	391,4348	117134,902	467003,325	344,716
150	46 11 50,8378105	14 34 3,141479	391,3197	117126,234	466993,345	344,601
151	46 11 51,3680235	14 34 3,2968935	391,5039	117142,586	466996,766	344,785
152	46 11 51,633899	14 34 3,3408125	391,6444	117150,789	466997,752	344,925
153	46 11 51,63322	14 34 3,5304725	391,6063	117150,746	467001,818	344,887
154	46 11 51,631955	14 34 3,556347	391,6327	117150,704	467002,372	344,913
155	46 11 51,6405215	14 34 3,594098	391,4955	117150,964	467003,183	344,776
156	46 11 51,65928	14 34 3,9728655	391,1882	117151,499	467011,306	344,469
157	46 11 51,310434	14 34 3,514686	391,5129	117140,782	467001,425	344,794
158	46 11 51,0773385	14 34 3,4739825	391,4975	117133,591	467000,514	344,779
159	46 11 50,5963585	14 34 3,3442945	391,2394	117118,757	466997,653	344,521
160	46 11 49,951299	14 34 3,160369	391,1353	117098,863	466993,602	344,418
161	46 11 49,330901	14 34 2,9640355	390,9748	117079,732	466989,289	344,258
162	46 11 48,733027	14 34 2,773605	390,8033	117061,296	466985,106	344,087
163	46 11 48,198588	14 34 2,638388	390,7404	117044,812	466982,118	344,025
164	46 11 47,805208	14 34 2,558716	390,7247	117032,677	466980,344	344,010
165	46 11 47,40257	14 34 2,50402	390,6894	117020,252	466979,104	343,975
166	46 11 47,0394875	14 34 2,482364	390,6413	117009,045	466978,579	343,927
167	46 11 47,062637	14 34 3,1752195	390,2867	117009,680	466993,437	343,572
168	46 11 47,853213	14 34 3,4056735	390,5035	117034,060	466998,510	343,788
169	46 11 48,6159945	14 34 3,5643375	390,6754	117057,591	467002,039	343,959
170	46 11 49,2222275	14 34 3,583048	390,6853	117076,305	467002,542	343,969
172	46 11 50,0334055	14 34 3,8625655	390,7065	117101,316	467008,670	343,989
173	46 11 50,609769	14 34 3,9655985	390,8157	117119,098	467010,975	344,097
174	46 11 51,6541645	14 34 3,3078375	391,6497	117151,418	466997,048	344,930
175	46 11 51,236386	14 34 3,23253	391,4202	117138,529	466995,364	344,701
176	46 11					

... nadaljevanje tabele Izra unane srednje vrednosti detajlnih točk in z lokalnimi transformacijskimi parametri transformirane koordinate v koordinatni sistem D48/GK.

Točka	Srednja vrednost koordinat v ETRS89		Srednja vrednost elipsoidne višine h [m]	Z lokalnimi transformacijskimi parametri transformirane koordinate v D48/GK		Ortometrična višina H [m]
	Geografska širina [$^{\circ}$, '"]	Geografska dolžina [$^{\circ}$, '"]		x [m]	y [m]	
189	46 11 48,2675715	14 34 1,298602	389,7458	117047,098	466953,406	343,031
190	46 11 47,9512855	14 34 1,4459415	390,2232	117037,316	466956,512	343,508
199	46 11 46,9933855	14 34 1,8879485	390,5469	117007,691	466965,828	343,833
200	46 11 46,804207	14 34 1,300935	390,0952	117001,919	466953,211	343,382
201	46 11 46,99979	14 34 1,499361	390,0729	117007,934	466957,498	343,359

PRILOGA E: 7-PARAMETRIČNA TRANSFORMACIJA

PRILOGA E1: Rezultati terenske izmere trigonometričnih točk z RTK metodo GNSS-izmere

Točka	Geografska širina [° '"]	Gografska dolžina [° '"]	Elipsoidna višina [m]	Način določitve koordinat	Standardni odklon geog. širine [m]	Standardni odklon geog. dolžine [m]	Standardni odklon višine [m]	Parametri elipse pogreškov			Čas meritve
								polos a [m]	polos b [m]	kot zasuka [°]	
G59	46 11 17,753989	14 33 1,313856	376,4234	MEAS	0,0052	0,0046	0,0118	0,0053	0,0045	345	8.9.2012 18:43
G59	46 11 17,753953	14 33 1,313901	376,4389	MEAN	0,0018	0,0020	0,0109	0,0020	0,0018	115	8.9.2012 23:58
G59	46 11 17,753788	14 33 1,313748	376,4425	MEAS	0,0081	0,0062	0,0165	0,0084	0,0059	19	8.9.2012 20:21
G59	46 11 17,754000	14 33 1,314095	376,459	MEAS	0,0062	0,0056	0,0143	0,0062	0,0056	346	8.9.2012 23:58
G100	46 10 30,232060	14 34 13,952861	372,9156	MEAS	0,0066	0,0057	0,0125	0,0067	0,0055	339	8.9.2012 19:06
G100	46 10 30,231947	14 34 13,953314	372,9333	MEAS	0,0066	0,0051	0,0180	0,0068	0,0049	17	8.9.2012 20:41
G100	46 10 30,232299	14 34 13,952768	372,9231	MEAS	0,0054	0,0050	0,0125	0,0055	0,0049	26	8.9.2012 23:42
G100	46 10 30,232129	14 34 13,952988	372,922	MEAN	0,0033	0,0037	0,0046	0,0037	0,0033	115	8.9.2012 23:42
G90112	46 11 14,609536	14 33 29,554767	380,5472	MEAN	0,0009	0,0054	0,0013	0,0054	0,0009	115	8.9.2012 23:51
G90112	46 11 14,609508	14 33 29,554259	380,5467	MEAS	0,0061	0,0053	0,0131	0,0062	0,0052	342	8.9.2012 18:51
G90112	46 11 14,609487	14 33 29,555176	380,5444	MEAS	0,0071	0,0054	0,0169	0,0074	0,0050	22	8.9.2012 20:31
G90112	46 11 14,609578	14 33 29,554848	380,549	MEAS	0,0049	0,0045	0,0115	0,0049	0,0045	2	8.9.2012 23:51
G90113	46 12 20,780254	14 33 5,030332	402,1083	MEAN	0,0047	0,0012	0,0079	0,0047	0,0012	0	8.10.2012 0:10
G90113	46 12 20,780389	14 33 5,030416	402,0935	MEAS	0,0060	0,0057	0,0158	0,0066	0,0050	40	8.9.2012 18:29
G90113	46 12 20,780465	14 33 5,030229	402,1205	MEAS	0,0083	0,0061	0,0134	0,0090	0,0050	27	8.9.2012 20:07
G90113	46 12 20,779969	14 33 5,030341	402,1064	MEAS	0,0064	0,0061	0,0152	0,0070	0,0055	38	8.10.2012 0:10
G90148	46 11 54,487232	14 35 27,939556	402,9285	MEAN	0,0077	0,0031	0,0056	0,0077	0,0031	0	8.9.2012 21:03
G90148	46 11 54,487662	14 35 27,939332	402,9282	MEAS	0,0057	0,0048	0,0188	0,0058	0,0046	22	8.9.2012 17:50
G90148	46 11 54,486998	14 35 27,939605	402,9231	MEAS	0,0065	0,0057	0,0115	0,0066	0,0056	346	8.9.2012 19:27
G90148	46 11 54,486896	14 35 27,939809	402,9435	MEAS	0,0066	0,0056	0,0191	0,0066	0,0055	6	8.9.2012 21:03
G90158	46 11 23,478826	14 35 11,659256	392,4914	MEAN	0,0028	0,0023	0,0097	0,0028	0,0023	0	8.9.2012 20:54
G90158	46 11 23,478982	14 35 11,659047	392,5145	MEAS	0,0059	0,0051	0,0192	0,0059	0,0051	15	8.9.2012 18:00
G90158	46 11 23,478610	14 35 11,659324	392,4887	MEAS	0,0078	0,0066	0,0138	0,0079	0,0064	341	8.9.2012 19:18
G90158	46 11 23,478947	14 35 11,659156	392,4554	MEAS	0,0093	0,0076	0,0264	0,0094	0,0075	14	8.9.2012 20:53
G90158	46 11 23,478713	14 35 11,659493	392,493	MEAS	0,0069	0,0054	0,0206	0,0069	0,0054	5	8.9.2012 20:54
G90209	46 12 22,428088	14 34 50,752732	404,4737	MEAN	0,0054	0,0015	0,0025	0,0054	0,0015	0	8.9.2012 23:30
G90209	46 12 22,428050	14 34 50,752593	404,4776	MEAS	0,0076	0,0063	0,0236	0,0080	0,0058	26	8.9.2012 17:40
G90209	46 12 22,427693	14 34 50,752809	404,4693	MEAS	0,0086	0,0073	0,0144	0,0086	0,0073	355	8.9.2012 19:35
G90209	46 12 22,428313	14 34 50,752804	404,4762	MEAS	0,0061	0,0058	0,0133	0,0065	0,0053	37	8.9.2012 23:30
G90211	46 12 34,761715	14 35 15,124285	410,1427	MEAN	0,0056	0,0012	0,0064	0,0056	0,0012	0	8.9.2012 23:25
G90211	46 12 34,761285	14 35 15,124396	410,1615	MEAS	0,0069	0,0055	0,0198	0,0074	0,0049	28	8.9.2012 17:34
G90211	46 12 34,761954	14 35 15,124291	410,1343	MEAS	0,0062	0,0048	0,0100	0,0063	0,0046	14	8.9.2012 19:56
G90211	46 12 34,761788	14 35 15,124196	410,1467	MEAS	0,0051	0,0048	0,0104	0,0055	0,0043	39	8.9.2012 23:25
G90213	46 12 46,176162	14 35 25,556703	413,2555	MEAN	0,0076	0,0018	0,0115	0,0076	0,0018	0	8.9.2012 23:18
G90213	46 12 46,175652	14 35 25,556552	413,2884	MEAS	0,0063	0,0048	0,0156	0,0067	0,0041	26	8.9.2012 17:26
G90213	46 12 46,176375	14 35 25,556760	413,2434	MEAS	0,0065	0,0051	0,0103	0,0066	0,0051	10	8.9.2012 19:49
G90213	46 12 46,176418	14 35 25,556835	413,2531	MEAS	0,0057	0,0054	0,0107	0,0063	0,0046	40	8.9.2012 23:18
G90223	46 12 49,329857	14 35 39,637953	416,4063	MEAN	0,0052	0,0061	0,0199	0,0061	0,0052	115	8.9.2012 23:12
G90223	46 12 49,329544	14 35 39,637506	416,4525	MEAS	0,0064	0,0046	0,0132	0,0069	0,0038	27	8.9.2012 17:17
G90223	46 12 49,329930	14 35 39,638213	416,3998	MEAS	0,0065	0,0052	0,0103	0,0065	0,0052	5	8.9.2012 19:44
G90223	46 12 49,330110	14 35 39,638422	416,3797	MEAS	0,0066	0,0064	0,0114	0,0072	0,0058	41	8.9.2012 23:12

PRILOGA E2: IZRAČUN NAJBOLJŠIH LOKALNIH TRANSFORMACIJSKIH PARAMETROV

PROSTORSKA TRANSFORMACIJA

SiTraNet v2.10
Avtorja: Klemen Kozmus Trajkovski & Bojan Stopar, UL FGG
Datum: 06.09.2012

Tip transformacije: 3R 7-parametrična podobnostna
Višine veznih točk v izračunu transf.par.; Reducirane na 0: h(ETRS89)=0, H(D48/D96)=0

Višine transformiranih točk: H = h - N

Helmertova transformacija: DA

Datoteka s podatki v začetnem datumu: ETRS_trigon_vhodne.txt

Datoteka s podatki v končnem datumu: D48_trigon_vhodne.txt

KOORDINATE TOČK V ZAČETNEM DATUMU - ETRS89 (elipsoidne)

točka	$\phi [^{\circ}']$	$\lambda [^{\circ}']$	h [m]	σ_{fi}	σ_{la}	σ_{h}
100	46 10 30,23213	14 34 13,95299	372,922	1	1	1
90113	46 12 20,78025	14 33 05,03033	402,108	1	1	1
59	46 11 17,75395	14 33 01,31390	376,439	1	1	1
90148	46 11 54,48723	14 35 27,93956	402,928	1	1	1
90158	46 11 23,47883	14 35 11,65926	392,491	1	1	1
90209	46 12 22,42809	14 34 50,75273	404,474	1	1	1
90211	46 12 34,76172	14 35 15,12428	410,143	1	1	1
90213	46 12 46,17616	14 35 25,55670	413,255	1	1	1
90223	46 12 49,32986	14 35 39,63795	416,406	1	1	1
**90112	46 11 14,60954	14 33 29,55477	380,547	1	1	1

KOORDINATE TOČK V KONČNEM DATUMU - D48/GK

točka	x	y	H	σ_x	σ_y	σ_H
100	114636,430	467211,810	326,230	1	1	1
59	116112,170	465662,110	329,860	1	1	1
90112	116011,830	466267,110	334,000	1	1	1
90113	118057,580	465752,740	355,450	1	1	1
90148	117229,300	468811,860	356,250	1	1	1
90158	116273,760	468457,840	345,890	1	1	1
90209	118096,060	468019,170	357,750	1	1	1
90211	118474,140	468543,540	363,403	1	1	1
90213	118825,400	468768,970	366,482	1	1	1
90223	118921,220	469071,260	369,621	1	1	1

Vezne točke za izračun transformacijskih parametrov:

100 90113 59 90148 90158 90209 90211 90213 90223

PRIMERJAVA DANIH IN TRANSFORMIRANIH KOORDINAT VEZNIH TOČK V 3R PRAVOKOTNEM KOORDINATNEM SISTEMU

točka	X	Y	Z
100	4281374,584	1113242,934	4578304,883 dan
	4281374,589	1113242,868	4578304,895 transf.
	-0,004	0,066	-0,012 dan - transf.
	0,027	0,027	0,027 std. dev. transf. k.
	0,161	2,427	0,437 std. popr.
90113	0,056	0,850	0,153 tau test
	4279362,146	1111193,053	4580667,851 dan
	4279362,190	1111193,047	4580667,812 transf.
	-0,044	0,006	0,039 dan - transf.
	0,027	0,027	0,027 std. dev. transf. k.
59	1,619	0,227	1,448 std. popr.
	0,567	0,080	0,507 tau test
	4280741,630	1111468,851	4579320,838 dan
	4280741,640	1111468,842	4579320,831 transf.
	-0,010	0,009	0,007 dan - transf.
90148	0,027	0,027	0,027 std. dev. transf. K.
	0,362	0,314	0,260 std. popr.
	0,127	0,110	0,091 tau test
	4279158,336	1114305,710	4580105,857 dan
	4279158,315	1114305,714	4580105,875 transf.
90158	0,020	-0,004	-0,018 dan - transf.
	0,027	0,027	0,027 std. dev. transf. k.
	0,747	0,150	0,657 std. popr.
	0,262	0,053	0,230 tau test
	4279914,983	1114141,917	4579443,116 dan
90209	4279914,941	1114141,961	4579443,144 transf.
	0,042	-0,045	-0,028 dan - transf.
	0,027	0,027	0,027 std. dev. transf. k.
	1,537	1,652	1,027 std. popr.
	0,539	0,579	0,360 tau test
90211	4278756,530	1113377,331	4580702,965 dan
	4278756,514	1113377,339	4580702,978 transf.
	0,016	-0,008	-0,013 dan - transf.
	0,027	0,027	0,027 std. dev. transf. k.
	0,590	0,288	0,477 std. popr.
90213	0,207	0,101	0,167 tau test
	4278358,896	1113813,694	4580966,510 dan
	4278358,895	1113813,711	4580966,507 transf.
	0,001	-0,016	0,003 dan - transf.
	0,027	0,027	0,027 std. dev. transf. k.
90223	0,020	0,607	0,128 std. popr.
	0,007	0,213	0,045 tau test
	4278056,327	1113966,021	4581210,398 dan
	4278056,338	1113966,024	4581210,387 transf.
	-0,012	-0,003	0,012 dan - transf.
	0,027	0,027	0,027 std. dev. transf. k.
	0,433	0,114	0,429 std. popr.
	0,152	0,040	0,150 tau test
	4277912,241	1114240,391	4581277,770 dan
	4277912,250	1114240,395	4581277,761 transf.
	-0,009	-0,004	0,009 dan - transf.
	0,027	0,027	0,027 std. dev. transf. k.
	0,319	0,157	0,333 std. popr.
	0,112	0,055	0,117 tau test

PRIMERJAVA DANIH IN TRANSFORMIRANIH KOORDINAT VEZNIH TOČK V PROJ, RAVNINI KONČNEGA DATUMA

točka	x	y	H
100	114636,430	467211,810	326,230 dan
	114636,447	467211,745	326,285 transf.
	-0,017	0,065	-0,055 dan - transf.
90113	118057,580	465752,740	355,450 dan
	118057,523	465752,723	355,368 transf.
	0,057	0,017	0,082 dan - transf.
59	116112,170	465662,110	329,860 dan
	116112,160	465662,099	329,773 transf.
	0,010	0,011	0,087 dan - transf.
90148	117229,300	468811,860	356,250 dan
	117229,326	468811,869	356,178 transf.
	-0,026	-0,009	0,072 dan - transf.
90158	116273,760	468457,840	345,890 dan
	116273,800	468457,894	345,784 transf.
	-0,040	-0,054	0,106 dan - transf.
90209	118096,060	468019,170	357,750 dan
	118096,079	468019,182	357,699 transf.
	-0,019	-0,012	0,051 dan - transf.
90211	118474,140	468543,540	363,403 dan
	118474,135	468543,556	363,342 transf.
	0,005	-0,016	0,061 dan - transf.
90213	118825,400	468768,970	366,482 dan
	118825,383	468768,970	366,436 transf.
	0,017	0,000	0,046 dan - transf.
90223	118921,220	469071,260	369,621 dan
	118921,207	469071,262	369,578 transf.
	0,013	-0,002	0,043 dan - transf.

TRANSFORMACIJSKI PARAMETRI

deltaX	-478,62678 m
deltaY	-123,81801 m
deltaZ	-419,77944 m
alfa	3,688151 "
beta	2,139939 "
gama	-12,802594 "
merilo	-9,457417 ppm

Srednji stand. odklon (matrični racun): 0,020 m

Srednji stand. odklon (iz odstopanj): 0,027 m

Število iteracij: 2

Število veznih točk: 9

Število nadstevilčnosti: 20

Najmanjše in največje vrednosti odstopanj (v cm):

min	-4	-5,4	-5,5
max	5,7	6,5	10,6
sr.v.	0	0	5,5
sr.v.(abs)	2,3	2,1	6,7

PRILOGA G1: CERTIFIKAT GEODETSKEGA NA RTA*Lebeni nik, s.p.*

1. Naročnik geodetskega na RTA: *Janez Novak, Križ 78, Komenda*
2. Odgovorni geodet: *Alenka Lebeni nik, dipl. inž. geod., IZS Geo0001* potrjujem, da je geodetski na RT izdelan skladno s predpisi in z namenom uporabe, opredeljenim v točki 3. tega certifikata.
3. Namenski uporabe geodetskega na RTA:
 - ureditev okolice.
4. Podatki o vsebini geodetskega na RTA:

Podatki	Vir podatkov	Institucija	Datum	Natanost
Geodetske točke	Kombinirana metoda geodetske izmere	Lebeni nik, s.p.	avgust 2012	natanost horizontalnega položaja < 6 cm natanost višinskega položaja < 8,6 cm

5. Pogoji za uporabo geodetskega na RTA:

Osnova za geodetske meritve so bile z RTK metodo GNSS-izmere opazovane točke izmeritvene mreže, ki so služile za določitev prostih stojisk pri polarni detajlni izmeri. Ortometrične višine so pridobljene s pretvorbo elipsoidnih višin v ortometrične višine v spletni aplikaciji SiTraNet, z uporabo interpolirane geoidne višine iz absolutnega modela geoida Slovenije. Geodetski na RT je izdelan v koordinatnem sistemu D48, ki ga določata Besselov elipsoid, orientiran na fundamentalni točki Herrmannskogel in Gauß-Krügerjeve projekcije.

Uporabljeni transformacijski parametri:

deltaX	-478,62678 m
deltaY	-123,81801 m
deltaZ	-419,77944 m
alfa	3,688151 "
beta	2,139939 "
gama	-12,802594 "
merilo	-9,457417 ppm

15.9.2012

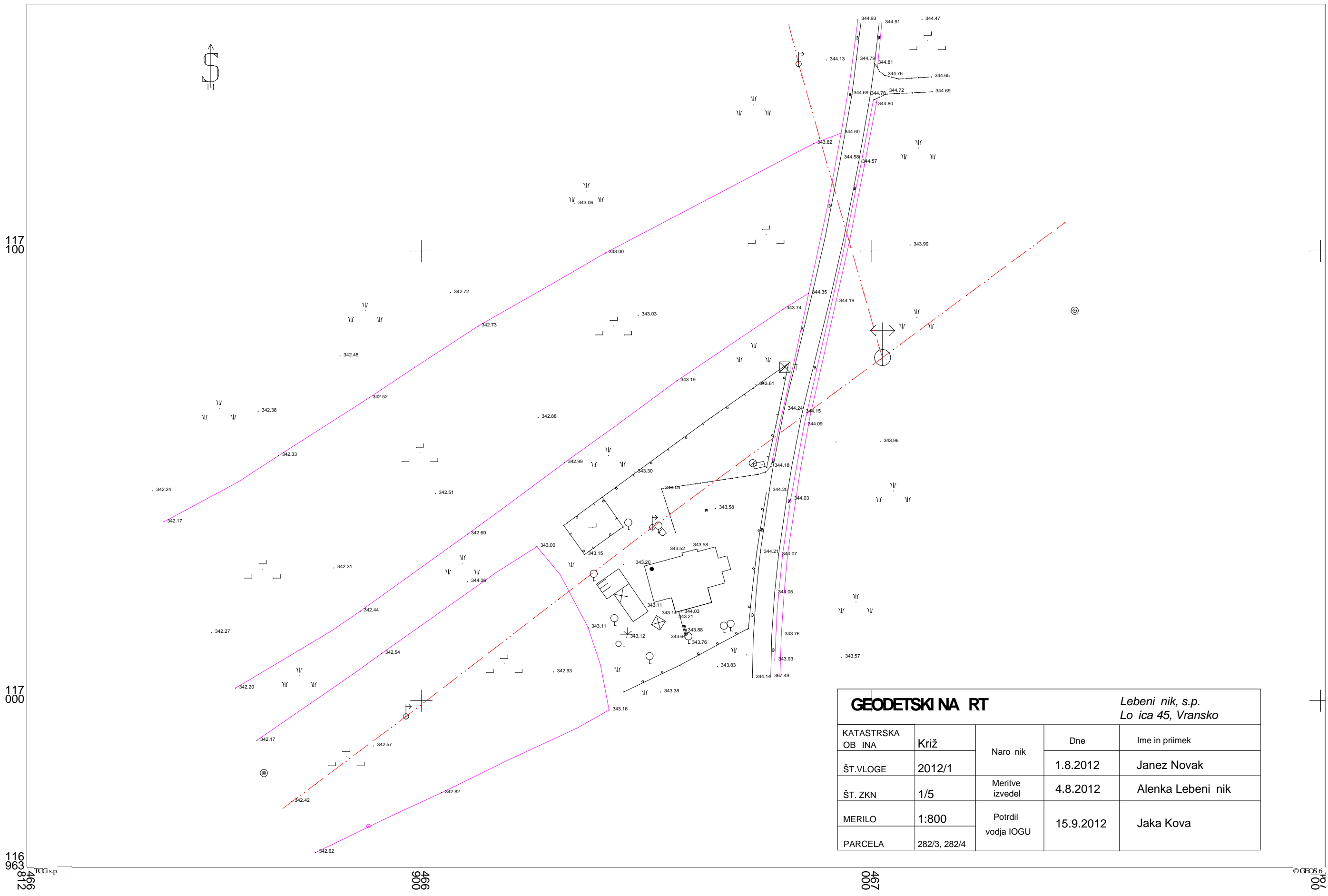
(kraj in datum)

Lebeni nik

(osebni žig in popis odgovornega geodeta)

Lebeni nik

(žig geodetskega podjetja, podpis
odgovorne osebe)



GEODETSKI NA RT			<i>Lebeni nik, s.p.</i> <i>Lo ica 45, Vransko</i>	
KATASTRSKA OB INA	Križ	Naro nik	Dne	Ime in priimek
ŠT.VLOGE	2012/1		1.8.2012	Janez Novak
ŠT. ZKN	1/5	Meritve izvedel	4.8.2012	Alenka Lebeni nik
MERILO	1:800	Potrdil vodja IOGU	15.9.2012	Jaka Kova
PARCELA	282/3, 282/4			